



**HAL**  
open science

# ALDEBARAN : un système de vérification par réduction de processus communicants

Jean-Claude Fernandez

► **To cite this version:**

Jean-Claude Fernandez. ALDEBARAN : un système de vérification par réduction de processus communicants. Modélisation et simulation. Université Joseph-Fourier - Grenoble I, 1988. Français. NNT : . tel-00326157

**HAL Id: tel-00326157**

**<https://theses.hal.science/tel-00326157>**

Submitted on 2 Oct 2008

**HAL** is a multi-disciplinary open access archive for the deposit and dissemination of scientific research documents, whether they are published or not. The documents may come from teaching and research institutions in France or abroad, or from public or private research centers.

L'archive ouverte pluridisciplinaire **HAL**, est destinée au dépôt et à la diffusion de documents scientifiques de niveau recherche, publiés ou non, émanant des établissements d'enseignement et de recherche français ou étrangers, des laboratoires publics ou privés.

**THESE**

présentée par

**Jean-Claude FERNANDEZ**

pour obtenir le titre de **DOCTEUR**  
de **L'UNIVERSITE JOSEPH FOURIER- GRENOBLE I**

*(arrêté ministériel du 5 juillet 1984)*

Spécialité : *INFORMATIQUE*

**ALDEBARAN :**  
**UN SYSTEME DE VERIFICATION PAR REDUCTION**  
**DE PROCESSUS COMMUNICANTS**

Thèse soutenue le 27 mai 1988

Composition du jury :

Président : S. Krakowiak

Examineurs : A. Arnold

G. Boudol

J. Sifakis

L. Trilling

J. Voiron

Thèse préparée au sein du laboratoire de Génie Informatique de Grenoble



# UNIVERSITE Joseph FOURIER (GRENOBLE I)

Président de l'Université :  
M. PAYAN Jean Jacques

Année Universitaire 1987 - 1988

## MEMBRES DU CORPS ENSEIGNANT DE SCIENCES ET DE GEOGRAPHIE

### PROFESSEURS DE 1ère Classe

ARNAUD Paul	Chimie Organique
ARVIEU ROBERT	Physique Nucléaire I.S.N.
AUBERT Guy	Physique C.N.R.S
AURIAULT Jean-Louis	Mécanique
AYANT Yves	Physique Approfondie
BARBIER Marie-Jeanne	Electrochimie
BARJON Robert	Physique Nucléaire ISN
BARNOUD Fernand	Biochimie Macromoléculaire Végétale
BARRA Jean-René	Statistiques-Mathématiques Appliquées
BECKER Pierre	Physique
BEGUIN Claude	Chimie Organique
BELORISKY Elie	Physique
BENZAKEN Claude	Mathématiques Pures
BERARD Pierre	Mathématiques Pures
BERNARD Alain	Mathématiques Pures
BERTRANDIAS Françoise	Mathématiques Pures
BERTRANDIAS Jean-Paul	Mathématiques Pures
BILLET Jean	Géographie
BOELHER Jean-Paul	Mécanique
BONNIER Jane Marie	Chimie Générale
BOUCHEZ Robert	Physique Nucléaire ISN
BRAVARD Yves	Géographie
CARLIER Georges	Biologie Végétale
CAUQUIS Georges	Chimie Organique
CHARDON Michel	Géographie
CHIBON Pierre	Biologie Animale
COHEN ADDAD Jean-Pierre	Physique
COLIN DE VERDIERE Yves	Mathématiques Pures
CYROT Michel	Physique du Solide
DEBELMAS Jacques	Géologie Générale
DEGRANGE Charles	Zoologie
DEMAILLY Jean-Pierre	Mathématiques Pures
DENEUVILLE Alain	Physique
DEPORTES Charles	Chimie Minérale
DOLIQUE Jean-Michel	Physique des Plasmas
DOUCE Roland	Physiologie Végétale
DUCROS Pierre	Cristallographie
FONTAINE Jean-Marc	Mathématiques Pures
GAGNAIRE Didier	Chimie Physique
GERMAIN Jean-Pierre	Mécanique,
GIRAUD Pierre	Géologie
HICTER Pierre	Chimie
IDELMAN Simon	Physiologie Animale
JANIN Bernard	Géographie
JOLY Jean-René	Mathématiques Pures
KAHANE André, détaché	Physique
KAHANE Josette	Physique
KRAKOWIAK Sacha	Mathématiques Appliquées

LAJZEROWICZ Jeanine  
LAJZEROWICZ Joseph  
LAURENT Pierre-Jean  
LEBRETON Alain  
DE LEIRIS Joël  
LHOMME Jean  
LLIBOUTRY Louis  
LOISEAUX Jean-Marie  
LUNA Domingo  
MACHE Régis  
MASCLE Georges  
MAYNARD Roger  
OMONT Alain  
OZENDA Paul  
PAYAN Jean-Jacques  
PEBAY-PEYROULA Jean-Claude  
PERRIER Guy  
PIERRARD Jean-Marie  
PIERRE Jean-Louis  
RENARD Michel  
RINAUDO Marguerite  
ROSSI André  
SAXOD Raymond  
SENGEL Philippe  
SERGERAERT Francis  
SOUCHIER Bernard  
SOUTIF Michel  
STUTZ Pierre  
TRILLING Laurent  
VALENTIN Jacques  
VAN CUTSEM Bernard  
VIALON Pierre

Physique  
Physique  
Mathématiques Appliquées  
Mathématiques Appliquées  
Biologie  
Chimie  
Géophysique  
Sciences Nucléaires I.S.N.  
Mathématiques Pures  
Physiologie Végétale  
Géologie  
Physique du Solide  
Astrophysique  
Botanique (Biologie Végétale)  
Mathématiques Pures  
Physique  
Géophysique  
Mécanique  
Chimie Organique  
Thermodynamique  
Chimie CERMAV  
Biologie  
Biologie Animale  
Biologie Animale  
Mathématiques Pures  
Biologie  
Physique  
Mécanique  
Mathématiques Appliquées  
Physique Nucléaire I.S.N.  
Mathématiques Appliquées  
Géologie

#### PROFESSEURS de 2<sup>ème</sup> Classe

ADIBA Michel  
ANTOINE Pierre  
ARMAND Gilbert  
BARET Paul  
BLANCHI J.Pierre  
BLUM Jacques  
BOITET Christian  
BORNAREL Jean  
BRUANDET J.François  
BRUGAL Gérard  
BRUN Gilbert  
CASTAING Bernard  
CERFF Rudiger  
CHIARAMELLA Yves  
COURT Jean  
DUFRESNOY Alain  
GASPARD François  
GAUTRON René  
GENIES Eugène  
GIDON Maurice  
GIGNOUX Claude  
GILLARD Roland  
GIORNI Alain  
GONZALEZ SPRINBERG Gérardo  
GUIGO Maryse  
GUMUCHAIN Hervé  
GUITTON Jacques

Mathématiques Pures  
Géologie  
Géographie  
Chimie  
STAPS  
Mathématiques Appliquées  
Mathématiques Appliquées  
Physique  
Physique  
Biologie  
Biologie  
Physique  
Biologie  
Mathématiques Appliquées  
Chimie  
Mathématiques Pures  
Physique  
Chimie  
Chimie  
Géologie  
Sciences Nucléaires  
Mathématiques Pures  
Sciences Nucléaires  
Mathématiques Pures  
Géographie  
Géographie  
Chimie

HACQUES Gérard  
HERBIN Jacky  
HERAULT Jeanny  
JARDON Pierre  
JOSELEAU Jean-Paul  
KERCKHOVE Claude  
LONGEQUEUE Nicole  
LUCAS Robert  
MANDARON Paul  
MARTINEZ Francis  
NEMOZ Alain  
OUDET Bruno  
PECHER Arnaud  
PELMONT Jean  
PERRIN Claude  
PFISTER Jean-Claude  
PIBOULE Michel  
RAYNAUD Hervé  
RICHARD Jean-Marc  
RIEDTMANN Christine  
ROBERT Gilles  
ROBERT Jean-Bernard  
SARROT-REYNAULD Jean  
SAYETAT Françoise  
SERVE Denis  
STOECKEL Frédéric  
SCHOLL Pierre-Claude  
SUBRA Robert  
VALLADE Marcel  
VIDAL Michel  
VIVIAN Robert  
VOTTERO Philippe

Mathématiques Appliquées  
Géographie  
Physique  
Chimie  
Biochimie  
Géologie  
Sciences Nucléaires I.S.N.  
Physique  
Biologie  
Mathématiques Appliquées  
Thermodynamique CNRS - CRTBT  
Mathématiques Appliquées  
Géologie  
Biochimie  
Sciences Nucléaires I.S.N.  
Physique du Solide  
Géologie  
Mathématiques Appliquées  
Physique  
Mathématiques Pures  
Mathématiques Pures  
Chimie Physique  
Géologie  
Physique  
Chimie  
Physique  
Mathématiques Appliquées  
Chimie  
Physique  
Chimie Organique  
Géographie  
Chimie

## MEMBRES DU CORPS ENSEIGNANT DE L' IUT 1

### PROFESSEURS de 1<sup>ère</sup> Classe

BUISSON Roger  
DODU Jacques  
NEGRE Robert  
NOUGARET Marcel  
PERARD Jacques

Physique IUT 1  
Mécanique Appliquée IUT 1  
Génie Civil IUT 1  
Automatique IUT 1  
EEA. IUT 1

### PROFESSEURS de 2<sup>ème</sup> classe

BOUTHINON Michel  
CHAMBON René  
CHEHIKIAN Alain  
CHENAVAS Jean  
CHOUTEAU Gérard  
CONTE René  
GOSSE Jean-Pierre  
GROS Yves  
KUHN Gérard, (Détaché)  
MAZUER Jean  
MICHOUILLER Jean  
MONLLOR Christian  
PEFFEN René  
PERRAUD Robert  
PIERRE Gérard  
TERRIEZ Jean-Michel  
TOUZAIN Philippe  
VINCENDON Marc

EEA. IUT 1  
Génie Mécanique IUT 1  
EEA. IUT 1  
Physique IUT 1  
Physique IUT 1  
Physique IUT 1  
EEA. IUT 1  
Physique IUT 1  
Physique IUT 1  
Physique IUT 1  
EEA. IUT 1  
Métallurgie IUT 1  
Chimie IUT 1  
Chimie IUT 1  
Génie Mécanique IUT 1  
Chimie IUT 1  
Chimie IUT 1

## PROFESSEURS DE PHARMACIE

AGNIUS-DELORD Claudine	Physique	Faculté La Tronche
ALARY Josette	Chimie Analytique	Faculté La Tronche
BERIEL Hélène	Physiologie et Pharmacologie	Faculté La Tronche
CUSSAC Max	Chimie Therapeutique	Faculté La Tronche
DEMENGE Pierre	Pharmacodynamie	Faculté La Tronche
FAVIER Alain	Biochimie	C.H.R.G.
JEANNIN Charles	Pharmacie Galénique	Faculté Meylan
LATURAZE Jean	Biochimie	Faculté La Tronche
LUU DUC Cuong	Chimie Générale	Faculté La Tronche
MARIOTTE Anne-Marie	Pharmacognosie	Faculté La Tronche
MARZIN Daniel	Toxicologie	Faculté Meylan
RENAUDET Jacqueline	Bactériologie	Faculté La Tronche
ROCHAT Jacques	Hygiène et Hydrologie	Faculté La Tronche
SEIGLE-MURANDI Françoise	Botanique et Cryptogamie	Faculté Meylan
VERAIN Alice	Pharmacie Galénique	Faculté Meylan

## MEMBRES DU CORPS ENSEIGNANT DE MEDECINE

### PROFESSEURS CLASSE EXEPTIONNELLE ET 1ère CLASSE

AMBLARD Pierre	Dermatologie	C.H.R.G.
AMBROISE-THOMAS Pierre	Parasitologie	C.H.R.G.
BEAUDOING André	Pédiatrie-Puericulture	C.H.R.G.
BEZEZ Henri	Orthopédie-Traumatologie	Hopital SUD
BONNET Jean-Louis	Ophthalmologie	C.H.R.G.
BOUCHET Yves	Anatomie	Faculté La Merci
	Chirurgie Générale et Digestive	C.H.R.G.
BUTEL Jean	Orthopédie-Traumatologie	C.H.R.G.
CHAMBAZ Edmond	Biochimie	C.H.R.G.
CHAMPETIER Jean	Anatomie-Topographique et Appliquée	C.H.R.G.
	O.R.L.	C.H.R.G.
CHARACHON Robert	Immunologie	Hopital sud
COLOMB Maurice	Anatomie-Pathologique	C.H.R.G.
COUDERC Pierre	Pneumophtisiologie	C.H.R.G.
DELORMAS Pierre	Cardiologie	C.H.R.G.
DENIS Bernard	Pharmacologie	Faculté La Merci
GAVEND Michel	Hématologie	C.H.R.G.
HOLLARD Daniel	Chirurgie Thoracique et Cardiovasculaire	C.H.R.G.
LATREILLE René	Bactériologie-Virologie	C.H.R.G.
	Gynécologie et Obstétrique	C.H.R.G.
LE NOC Pierre	Médecine du Travail	C.H.R.G.
MALINAS Yves	Clinique Médicale et Maladies Infectieuses	C.H.R.G.
MALLION Jean-Michel	Histologie	Faculté La Merci
MICOUD Max	Pneumologie	C.H.R.G.
	Neurologie	C.H.R.G.
MOURIQUAND Claude	Hépatogastro-Entérologie	C.H.R.G.
PARAMELLE Bernard	Neurochirurgie	C.H.R.G.
PERRET Jean	Clinique Chirurgicale	C.H.R.G.
RACHAIL Michel	Anesthésiologie	C.H.R.G.
DE ROUGEMONT Jacques	Physiologie	Faculté La Merci
SARRAZIN Roger	Biochimie	Faculté La Merci
STIEGLITZ Paul		
TANCHE Maurice		
VIGNAIS Pierre		

**PROFESSEURS 2ème CLASSE**

BACHELOT Yvan	Endocrinologie	C.H.R.G.
BARGE Michel	Neurochirurgie	C.H.R.G.
BENABID Alim Louis	Biophysique	Faculté La Merci
BENSA Jean-Claude	Immunologie	Hopital Sud
BERNARD Pierre	Gynécologie-Obstétrique	C.H.R.G.
BESSARD Germain	Pharmacologie	ABIDJAN
BOLLA Michel	Radiothérapie	C.H.R.G.
BOST Michel	Pédiatrie	C.H.R.G.
BOUCHARLAT Jacques	Psychiatrie Adultes	Hopital Sud
BRAMBILLA Christian	Pneumologie	C.H.R.G.
CHIROSEL Jean-Paul	Anatomie-Neurochirurgie	C.H.R.G.
COMET Michel	Biophysique	Faculté La Merci
CONTAMIN Charles	Chirurgie Thoracique et Cardiovasculaire	C.H.R.G.
CORDONNIER Daniel	Néphrologie	C.H.R.G.
COULOMB Max	Radiologie	C.H.R.G.
CROUZET Guy	Radiologie	C.H.R.G.
DEBRU Jean-Luc	Médecine Interne et Toxicologie	C.H.R.G.
DEMONGEOT Jacques	Biostatistiques et Informatique Médicale	Faculté La Merci
DUPRE Alain	Chirurgie Générale	C.H.R.G.
DYON Jean-François	Chirurgie Infantile	C.H.R.G.
ETERRADOSSI Jacqueline	Physiologie	Faculté La Merci
FAURE Claude	Anatomie et Organogénèse	C.H.R.G.
FAURE Gilbert	Urologie	C.H.R.G.
FOURNET Jacques	Hépto-Gastro-Entérologie	C.H.R.G.
FRANCO Alain	Médecine Interne	C.H.R.G.
GIRARDET Pierre	Anesthésiologie	C.H.R.G.
GUIDICELLI Henri	Chirurgie Générale et Vasculaire	C.H.R.G.
GUIGNIER Michel	Thérapeutique et Réanimation Médicale	C.H.R.G.
HADJIAN Arthur	Biochimie	Faculté La Merci
HALIMI Serge	Endocrinologie et Maladies Métaboliques	C.H.R.G.
HOSTEIN Jean	Hépto-Gastro-Entérologie	C.H.R.G.
HUGONOT Robert	Médecine Interne	C.H.R.G.
JALBERT Pierre	Histologie-Cytogénétique	C.H.R.G.
JUNIEN-LAVILLAUIROY Claude	O.R.L.	C.H.R.G.
KOLODIE Lucien	Hématologie Biologique	C.H.R.G.
LETOUBLON Christian	Chirurgie Générale	C.H.R.G.
MACHECOURT Jacques	Cardiologie et Maladies Vasculaires	C.H.R.G.
MAGNIN Robert	Hygiène	C.H.R.G.
MASSOT Christian	Médecine Interne	C.H.R.G.
MOUILLON Michel	Ophtalmologie	C.H.R.G.
PELLAT Jacques	Neurologie	C.H.R.G.
PHELIP Xavier	Rhumatologie	C.H.R.G.
RACINET Claude	Gynécologie-Obstétrique	Hopital Sud
RAMBAUD Pierre	Pédiatrie	C.H.R.G.
RAPHAEL Bernard	Stomatologie	C.H.R.G.
SCHAERER René	Cancérologie	C.H.R.G.
SEIGNEURIN Jean-Marie	Bactériologie-Virologie	Faculté La Merci
SELE Bernard	Cytogénétique	Faculté La Merci
SOTTO Jean-Jacques	Hématologie	C.H.R.G.
STOEBNER Pierre	Anatomie Pathologique	C.H.R.G.
VROUSOS Constantin	Radiothérapie	C.H.R.G.





Je tiens à remercier,

Monsieur Sacha Krakowiak, Professeur à l'Université Joseph Fourier (Grenoble 1), de m'avoir fait l'honneur de présider le jury de cette thèse,

Monsieur André Arnold, Professeur à l'Université de Bordeaux, pour avoir accepté de participer au jury,

Monsieur Gérard Boudol, Directeur de Recherches à l'INRIA, qui a accepté de juger ce travail. L'accueil qu'il m'a réservé constitue un encouragement à poursuivre ce travail,

Monsieur Joseph Sifakis, Directeur de Recherches au CNRS, qui m'a accueilli au sein du groupe Spécification et Analyse des Systèmes où j'ai bénéficié d'un excellent environnement de travail,

Monsieur Laurent Trilling, Professeur à l'Université Joseph Fourier, qui a patiemment relu le manuscrit et qui a bien voulu juger ce travail,

Monsieur Jacques Voiron, Maître de Conférences à l'Université Joseph Fourier, qui est le Directeur de cette thèse. Ses nombreux conseils et suggestions ont contribué à améliorer ce travail.

Je tiens également à remercier,

Pierre Berlioux, Fabienne Lagnier, Suzanne Graf, et Florence Maraninchi, qui ont relu et commenté certaines parties de la thèse,

les utilisateurs d'Aldébaran, notamment les membres du projet Lustre et H. Garavel qui ont contribué à l'amélioration du logiciel,

les membres du service reprographie pour le soin et l'efficacité qu'ils ont apporté au tirage de cette thèse.

Je remercie enfin Nicole, Juliette, Maud et Rémy qui ont supporté, avec patience, un compagnon et un père souvent distrait et parfois irascible.



## **ALDEBARAN : UN SYSTEME DE VERIFICATION PAR REDUCTION DE PROCESSUS COMMUNICANTS**

### **RESUME**

**ALDEBARAN est un système de vérification de processus communicants, représentés par des systèmes de transitions étiquetées. Il permet de réduire et de comparer des systèmes de transitions étiquetées en tenant compte d'une relation d'équivalence. Les relations d'équivalence que nous avons considérées sont la congruence forte, l'équivalence et la congruence observationnelles, et la congruence par modèle d'acceptation. Nous présentons dans ce travail les bases théoriques d'ALDEBARAN, des algorithmes efficaces pour la comparaison et les réductions de systèmes de transitions étiquetées, une réalisation en langage C et deux exemples d'utilisation d'ALDEBARAN par d'autres logiciels.**

### **MOTS CLES :**

**Parallélisme, Vérification de processus communicants, Systèmes de transitions étiquetées, relation d'équivalence, Efficacité.**

## **ALDEBARAN : A SYSTEM OF VERIFICATION OF COMMUNICATING PROCESSES BY USING REDUCTION ABSTRACT**

**ALDEBARAN is a system for verifying communicating processes, represented by transition systems whose arcs are labelled by action names. It allows the reduction and the comparison of labelled transition systems with respect to some equivalence relation. The following equivalences have been dealt with : strong congruence, both observational equivalence and congruence, and the congruence based on acceptance models. The first two chapters of this thesis present the theoretical basis of ALDEBARAN and the efficient algorithms which have been designed for comparing and reducing labelled transition systems. An implementation of these algorithms in C and various examples of uses of ALDEBARAN follow.**



## INTRODUCTION

La complexité des systèmes répartis a rendu nécessaire l'utilisation de logiciels d'aide à la conception et à la vérification de ces systèmes. Par système réparti, nous entendons ensemble de composants communiquant par l'intermédiaire de ports de communication. Un composant est soit un système réparti, soit un processus séquentiel. Vérifier un système c'est montrer qu'une implantation *IMP* de ce système est conforme à ses spécifications *SPEC*.

D'un point de vue formel, on distingue généralement deux approches pour effectuer cette vérification. La première consiste à montrer que l'implantation *IMP* est un modèle de la spécification *SPEC*, qui est un ensemble de formules d'une logique. Chaque formule exprime une propriété du programme. La logique peut être soit le calcul des prédicats, soit une logique temporelle linéaire [Pnu77], soit une logique temporelle arborescente [GS86b]. Dans la deuxième approche la spécification et l'implantation sont des termes d'un calcul. Un calcul est la donnée d'un langage de termes et d'une relation d'équivalence ; *IMP* et *SPEC* sont des termes du calcul. La vérification consiste à comparer les termes *IMP* et *SPEC* modulo cette relation d'équivalence. Nous nous intéressons dans ce travail à cette deuxième approche.

La vérification peut être déductive, c'est l'approche *système à règles d'inférence* ou sémantique. Dans ce cas, la relation d'équivalence est interprétée sémantiquement, c'est-à-dire qu'elle est définie sur un domaine sémantique. Nous avons étudié, dans ce travail, la vérification sémantique pour des raisons d'efficacité.

Nous nous intéressons à la sémantique opérationnelle d'un calcul : à chaque terme est associé un système de transitions étiquetées. Un système de transitions étiquetées est défini par un ensemble d'états, une relation de transitions étiquetées et un état initial. Une étiquette désigne un port de communication par lequel un composant du système peut communiquer avec son environnement ou bien une action interne à un processus.

Pour interpréter une relation d'équivalence définie sur un calcul, il faut

pouvoir comparer deux systèmes de transitions étiquetées. Cette comparaison peut être effectuée par le calcul de la plus grande bisimulation entre deux systèmes de transitions étiquetées. Intuitivement, deux systèmes de transitions étiquetées "se bisimulent" si, à partir des états initiaux respectifs des deux systèmes, ils évoluent vers des états équivalents via la relation de transitions étiquetées. La plus grande bisimulation est une relation d'équivalence sur la classe des systèmes de transitions étiquetées. On peut efficacement (cf. chapitre II) associer à tout système de transitions étiquetées, un système de transitions étiquetées équivalent, modulo la plus grande bisimulation, ayant un nombre minimal d'états.

Différentes algèbres de processus communicants sont définies ACP [BK85], CCS [Mil80], Meije [Bou85a], SCCS [Mil83], TCSP [HBR]. Pour chacune de ces algèbres, une sémantique opérationnelle a été définie.

Différentes relations d'équivalence peuvent être définies sur ces algèbres :

- la congruence forte [Mil80],
- l'équivalence de test [EB87],
- l'équivalence observationnelle [Mil80],
- l'équivalence par modèle d'acceptation, [GS86a],
- l'équivalence par modèle de refus [HBR] et
- l'équivalence de trace.

Ces relations, définies sur les termes d'une algèbre, peuvent être définies sur les systèmes de transitions étiquetées. Parmi ces relations, nous distinguons la congruence forte, dont l'interprétation sur les systèmes de transitions étiquetées est la plus grande bisimulation. Dans ce travail, nous nous intéressons aux relations d'équivalence qui ont les deux caractéristiques suivantes : étant donné une relation d'équivalence,

- pour chaque classe d'équivalence, il existe un représentant canonique que nous appelons, par abus de langage, forme normale. Pour décider si deux systèmes sont équivalents il suffit de montrer que les formes normales associées sont égales au nom des états près.

- elle est moins fine que la plus grande bisimulation. Ceci permet de choisir une forme normale ayant un nombre minimal d'états. Cette forme normale est obtenue en construisant le système quotient après le calcul de la plus grande bisimulation.

Plusieurs outils de vérification ont été développés pour manipuler les systèmes de transitions étiquetées associés aux termes d'un calcul [LMV87], [Sor87], [Hil87]. Ces logiciels permettent la réduction d'un système de transitions étiquetées modulo une relation d'équivalence ou la comparaison de deux systèmes de transitions étiquetées modulo une relation d'équivalence. Ces logiciels ont montré l'intérêt de l'approche adoptée dans ce travail pour vérifier les systèmes répartis.

Nous proposons, dans cette thèse, la conception et la réalisation d'un outil pour la vérification des systèmes de transitions étiquetées, ALDEBARAN, répondant aux contraintes suivantes :

- *efficacité* : nous mettons en œuvre des algorithmes performants pour effectuer les différentes transformations sur les systèmes de transitions étiquetées : le calcul d'une forme normale est de l'ordre de la minute pour un système de transitions étiquetées de quelques milliers d'états. Cette implantation est réalisée en langage C pour permettre de choisir au mieux les structures de données adaptées à ces algorithmes et de contourner les problèmes de temps d'exécution et de place mémoire liés à des environnements de programmation comme Prolog ou Lisp.

- *paramétrisation* : l'opérateur de composition parallèle que nous proposons est paramétré par une relation de communication. Cette relation définit une opération de synchronisation sur l'ensemble des étiquettes.

- *modularité* : le logiciel ALDEBARAN est conçu pour permettre de prendre en compte de nouvelles relations d'équivalence, en définissant pour chaque relation un nouveau module contenant les transformations réalisant le calcul de la forme normale.

- *facilité d'intégration* : nous avons expérimenté l'utilisation d'ALDEBARAN par un autre logiciel de deux manières différentes. Nous avons intégré une partie d'ALDEBARAN au système Vénus écrit en Prolog. Un interface a été écrit pour minimiser les automates produits par le compilateur Lustre ou par Cæsar. Lustre, [CPH87], est un langage "flot de données" de programmation synchrone. Cæsar [Gar87] produit des systèmes de transitions étiquetées à partir de programmes écrits en LOTOS.



Dans le premier chapitre de cette thèse, nous définissons la syntaxe et la sémantique opérationnelle d'un langage de *processus réguliers*. La sémantique opérationnelle d'un processus régulier est un système de transitions étiquetées ayant un nombre fini d'états et de transitions.

Nous rappelons ensuite la définition des relations d'équivalence auxquelles nous nous sommes intéressés. Ce sont la congruence forte, l'équivalence et la congruence observationnelles définies sur l'algèbre CCS et la congruence par modèle d'acceptation définie sur une algèbre de processus [GS86a]. Ces relations d'équivalence sont définies sur le langage des processus réguliers. Milner [Mil85] a donné une axiomatisation *consistante* et *complète* de la congruence forte, de l'équivalence et de la congruence observationnelles. S. Graf et J. Sifakis [GS86a] ont procédé de même pour la congruence par modèle d'acceptation. Nous rappelons, pour chacune de ces relations, sa définition sur le langage des processus réguliers, et la transformation qui calcule, pour chaque système de transitions étiquetées, sa forme normale.

Nous définissons sur les systèmes de transitions étiquetées un opérateur d'*abstraction* [BK85] et les opérateurs de *composition parallèle* et de *restriction*. L'opérateur d'abstraction, défini sur l'ensemble des étiquettes, permet de ne pas distinguer des étiquettes considérées comme internes. Cela se traduit par un renommage de ces étiquettes en une étiquette unique notée  $\tau$ .

L'opérateur de composition parallèle est paramétré par une relation de communication. Nous précisons les propriétés de cette relation pour exprimer les opérateurs de composition *synchrone* et *asynchrone*, le *rendez-vous à deux* ou le *rendez-vous multiple*.

L'opérateur de restriction est défini dans CCS pour permettre de supprimer certains comportements après composition.

La congruence forte et la congruence observationnelle sont des congruences pour les opérateurs de restriction, d'abstraction et de composition. La congruence par modèle d'acceptation n'est pas une congruence pour l'opérateur de composition parallèle.

Le deuxième chapitre est une étude des algorithmes mis en œuvre dans ALDEBARAN. Nous nous sommes particulièrement intéressés à un algorithme de partitionnement d'un ensemble d'états [PT86], permettant une mise en œuvre

du calcul de la plus grande bisimulation en un temps de l'ordre de  $m \log n$ , où  $m$  est le nombre de transitions et  $n$  le nombre d'états. Le calcul de la plus grande bisimulation est essentiel dans toutes les réductions effectuées par rapport à une relation d'équivalence : la comparaison des systèmes de transitions étiquetées, modulo une relation d'équivalence, est réalisée en "bisimulant" les formes normales de ces systèmes de transitions étiquetées. Les formes normales sont elles-même obtenues en minimisant le nombre des états par "autobisimulation". Nous présentons aussi la mise en œuvre du calcul des formes normales pour les différentes relations d'équivalence définies au chapitre I.

Un autre aspect important est la réduction de systèmes de transitions étiquetées composés. Lorsque plusieurs systèmes sont composés, nous proposons une méthode permettant de réduire progressivement le système résultat : étant donné un ensemble de systèmes à composer décrit par un terme de l'algèbre, et une relation de congruence, nous réarrangeons l'ordre des compositions lorsque c'est possible.

Le troisième chapitre est consacré à la description de l'outil ALDEBARAN, qui permet :

- la description de systèmes de transitions étiquetées et leur sauvegarde ;
- la réduction d'un système de transitions étiquetées modulo une relation d'équivalence, c'est-à-dire le calcul d'une forme normale ;
- la comparaison de deux systèmes de transitions étiquetées modulo une relation d'équivalence ;
- la composition de systèmes en tenant compte d'une relation de congruence ;
- la gestion d'environnements de travail.

Nous présentons à titre d'exemple l'utilisation de l'outil ALDEBARAN par le compilateur LUSTRE et par CÆSAR. Cette présentation est chaque fois suivie d'exemples.

Nous terminons ce chapitre en donnant quelques caractéristiques du logiciel réalisé.



**CHAPITRE I****SYSTEMES DE TRANSITIONS ETIQUETEES**

Dans ce chapitre, nous nous intéressons aux relations d'équivalence pouvant être définies sur les systèmes de transitions étiquetées et à la manière dont on peut composer ces systèmes.

Pour chaque relation d'équivalence étudiée dans ce chapitre, nous présentons sa définition syntaxique (i.e. sur un langage de processus réguliers) et sémantique (i.e. sur les systèmes de transitions étiquetées).

Un système de transitions étiquetées peut être défini de deux manières :

- par la description de sa relation de transition, et son état initial ; dans ces conditions, l'ensemble des états est constitué par tous les états atteignables à partir de l'état initial par la relation de transition.
- par composition de systèmes de transitions déjà construits.

Dans la première partie de ce chapitre, nous rappelons la syntaxe et la sémantique opérationnelle d'un langage de processus réguliers. Les opérateurs de ce langage sont nil (inaction), + (choix non-déterministe), préfixe par une action et rec (définition récursive). Les relations d'équivalence que nous avons étudiées sont définies sur ce langage.

La comparaison de deux systèmes de transitions étiquetées par une bisimulation a été développée par Park [Par81]. Elle est définie entre systèmes de transitions étiquetées sur le produit cartésien des ensembles d'états. L'ensemble des bisimulations entre systèmes de transitions étiquetées, ordonné par inclusion, possède un plus grand élément [Mil83] : la plus grande bisimulation est obtenue par un calcul de plus grand point fixe d'un opérateur monotone.

Lorsque les deux systèmes sont identiques, le calcul de la plus grande relation de bisimulation produit la partition sur les états, la moins fine compatible avec la relation de transitions étiquetées. Nous pouvons construire, à partir du système de transitions étiquetées et des classes d'équivalence, un système de transitions étiquetées quotient.

Le calcul de la plus grande relation de bisimulation peut être utilisé pour décider si deux systèmes de transitions étiquetées sont égaux aux noms des états près. Si deux systèmes ne se bisimulent pas par la plus grande bisimulation, ils ne se bisimulent par aucune autre.

Chaque relation d'équivalence étudiée dans ce travail est moins fine que la plus grande bisimulation et est caractérisée par la propriété suivante : pour chaque classe d'équivalence, il existe un représentant canonique appelé forme normale. Pour une relation d'équivalence, deux systèmes de transitions étiquetées sont équivalents si les formes normales associées sont identiques au nom des états près. Puisque ces relations d'équivalence contiennent la plus grande bisimulation, on peut définir une forme normale ayant un nombre minimal d'états. Pour comparer deux systèmes de transitions étiquetées modulo une relation d'équivalence nous appliquons l'algorithme suivant :

- calcul de la forme normale, modulo cette relation d'équivalence, de chaque système de transitions étiquetées,
- comparaison de ces formes normales. Ces formes normales sont identiques au renommage des états près.

De manière générale, pour toute relation d'équivalence moins fine que la congruence forte et pour laquelle il existe une forme normale nous pouvons réduire un système de transitions étiquetées modulo cette relation ou comparer deux systèmes de transitions étiquetées en appliquant l'algorithme précédent. Bergstra, Klop & Olderog, [BKO] ont proposé une congruence "par ensemble de refus", moins fine que la congruence forte, pour laquelle ils ont prouvé l'existence d'une forme normale.

Les relations d'équivalence étudiées dans ce chapitre sont :

- la *congruence forte*
- l'*équivalence observationnelle*,
- la *congruence observationnelle*,
- la *congruence par modèle d'acceptation* , telle qu'elle est définie par S.Graf et J. Sifakis.

La distinction entre action interne et port de communication est prise en compte par l'équivalence observationnelle, la congruence observationnelle et la congruence par modèle d'acceptation. Les actions internes ne sont pas

distinguées vis à vis de ces relations : elles sont étiquetées par une étiquette particulière  $\tau$ .

Nous définissons un *opérateur d'abstraction* [BK85] sur les systèmes de transitions étiquetées. Il est paramétré par un ensemble d'étiquettes  $E$  et définit une partition sur l'ensemble de toutes les étiquettes. Son effet sur les systèmes de transitions étiquetées est le renommage des étiquettes de l'ensemble  $E$  par l'étiquette  $\tau$ . La partition de l'ensemble de toutes les étiquettes, définie par cet opérateur, est un cas particulier des *critères d'abstraction* définis par G. Boudol [Bou85b] : un critère d'abstraction sur un ensemble d'étiquettes  $A$  est une partition partielle de  $A^*$ .

Dans la seconde partie de ce chapitre nous définissons un opérateur de composition parallèle et un opérateur de restriction. Ce qui différencie les opérateurs de composition parallèle des algèbres comme ACP, CCS, Meije, SCCS ou TCSP, ce sont les actions qui restent visibles après communication et le mode de composition *synchrone* ou *asynchrone*. De manière analogue à Winskel, [Win83], nous paramétrons un produit de systèmes de transitions étiquetées par une *algèbre de synchronisation*. Une algèbre de synchronisation est obtenue en structurant l'ensemble des étiquettes à l'aide d'un produit de synchronisation. Ce produit définit un mode de communication, *synchrone* ou *asynchrone*, ainsi que l'étiquette résultant de la communication. Il permet d'exprimer le *rendez-vous à deux* ou *multiple*. L'opérateur de restriction a été introduit dans CCS pour supprimer certains comportements après communication.

## 1. LANGAGE DES PROCESSUS REGULIERS

Dans ce paragraphe, nous définissons la syntaxe et la sémantique opérationnelle du langage des processus réguliers, qui nous permet de construire les systèmes de transitions étiquetées. Nous définissons la notion de bisimulation sur les systèmes de transitions étiquetées, qui est la base des relations d'équivalence définies dans ce chapitre. Nous introduisons l'opérateur d'abstraction.

## 1.1. Syntaxe et sémantique opérationnelle du langage des processus réguliers

### A Notations et syntaxe

Soient,

$P$ , un ensemble d'états, dont les éléments sont notés  $p, q, \dots$

$Act$ , un ensemble d'étiquettes, dont les éléments sont notés  $a, b, c, \dots$

$\tau \notin Act$ , une étiquette particulière représentant une action interne ou non observable,

$Act_\tau = Act \cup \{\tau\}$ ,

$V$ , un ensemble de variables, dont les éléments sont notés  $X, Y, Z, \dots$

un ensemble d'opérateurs  $nil, +, a, rec X$ . où,

$nil$  est un constante,

$+$  est un opérateur binaire,

$a \in Act_\tau$  est un opérateur unaire,

$rec X, X \in V$ , est l'opérateur de définition récursive.

La syntaxe des processus réguliers est définie de la manière suivante :

$$t ::= nil \mid X \mid a t \mid t + t \mid rec X . t$$

Le langage des processus réguliers, noté **Trans**, est caractérisée par les contraintes syntaxiques suivantes :

un terme  $t$  appartient à **Trans** si et seulement si

(i)  $t$  est *fermé* (i.e.  $t$  ne contient pas de variable libre),

(ii) si  $t$  est de la forme  $rec X.t'$ ,  $t$  est *bien gardé* (i.e. toute occurrence de  $X$  dans  $t'$  apparaît dans un sous-terme de la forme  $a t$ , pour  $a \in Act_\tau$ ).

### B Systèmes de transitions étiquetées

#### Définition 1.1.1

Un *système de transitions étiquetées* est défini par un quadruplet

$S = (Q, A, T, q_0)$  où :

- $Q$ , sous-ensemble de  $P$ , désigne l'ensemble des états atteignables à partir de  $q_0$ .

- $A$  est un sous-ensemble de  $\text{Act}_T$ ,
- $T$  est la relation de transitions étiquetées par des éléments de  $A$ , sous-ensemble de  $Q \times A \times Q$ ,
- $q_0$  est l'état initial du système.

### Définition 1.1.2

Soit  $S = (Q, A, T, q_0)$  un système de transitions étiquetées ; l'ensemble des états atteignables à partir de l'état initial peut être défini par induction de la manière suivante : c'est le plus petit sous-ensemble de  $P$  satisfaisant les conditions (i) et (ii) ci-dessous,

- (i)  $q_0$  est atteignable,
- (ii) si  $q$  est atteignable et  $(q, a, q') \in T$ , alors  $q'$  est atteignable

### Remarque

La notation **Trans** pour le langage des processus réguliers est justifiée par le fait qu'on peut associer à chaque processus régulier un système de transitions étiquetées ayant un nombre fini d'états. Réciproquement, tout système de transitions étiquetées ayant un nombre fini d'états peut être décrit par un terme de **Trans**.

### Notations

Il est souvent commode de considérer l'image  $T[q]$  d'un état  $q$  par la relation de transition  $T$ , l'ensemble  $T_a[q]$  des successeurs de l'état  $q$  par la relation de transition étiquetée par  $a$ . Ces notations sont étendues à la relation inverse, notée  $T^{-1}$ . Formellement, nous avons :

$$\begin{aligned} T[q] &= \{(a, q') \mid (q, a, q') \in T\} \\ T^{-1}[q'] &= \{(q, a) \mid (q, a, q') \in T\} \\ T_a[q] &= \{q' \mid (q, a, q') \in T\} \\ T_a^{-1}[q'] &= \{q \mid (q, a, q') \in T\} \end{aligned}$$

Ces notations sont étendues aux ensembles d'états; par exemple, si  $B$  désigne un ensemble d'états (i.e.  $B$  sous-ensemble de  $P$ ),

$$T[B] = \cup \{ T[p] \mid p \in B \}.$$



**Définition 1.1.3**

Deux systèmes de transitions étiquetées  $S_i = (Q_i, A_i, T_i, q_i)$ ,  $i = 1, 2$  sont *égaux* si et seulement si

- il existe une bijection  $f$  de  $Q_1$  dans  $Q_2$ ,
- $A_1 = A_2$ ,
- $T_2 = \{(f(p_1), a, f(p'_1)) \mid (p_1, a, p'_1) \in T_1\}$
- $f(q_1) = f(q_2)$ .

**C Règles de sémantique opérationnelle**

La sémantique opérationnelle de **Trans** est la plus petite relation, notée  $-->$ , incluse dans  $\text{Trans} \times \text{Act}_\tau \times \text{Trans}$  et satisfaisant les règles suivantes. Nous notons :

$t - a -> t'$  pour  $(t, a, t') \in -->$

Pour définir la sémantique des opérateurs de **Trans**, nous utilisons les notations proposées par Plotkin [Plot81] :

$\forall a \in \text{Act}_\tau \forall t, t' \in \text{Trans}$ ,

## 1) Préfixe

$a t - a -> t'$

## 2) somme

$$\frac{t_1 - a -> t'}{t_1 + t_2 - a -> t'} \qquad \frac{t_2 - a -> t'}{t_1 + t_2 - a -> t'}$$

## 3) Définition récursive

$$\frac{t [\text{rec } X.t / X] - a -> t'}{\text{rec } X. t - a -> t'}$$

### Exemple

Considérons le terme défini par l'expression suivante :

$$t = \text{rec } X. (a X) + b \text{ rec } X. (b X)$$

Nous construisons le système de transitions étiquetées associé. Pour cela, on associe à chaque sous-terme bien gardé et fermé, un entier qui le désigne :

à  $t$  est associé l'entier 0,

à  $\text{rec } X. a X$  est associé l'entier 1

à  $b \text{ rec } X. b X$  est associé l'entier 2

à  $\text{rec } X. b X$  est associé l'entier 3

Nous représentons l'ensemble de tous les états par l'ensemble des entiers naturels. Nous obtenons successivement, en appliquant la définition opérationnelle des opérateurs,

le système de transitions étiquetées  $S_1$  associé au terme  $\text{rec } X.aX$ ,

$$S_1 = (\{1\}, \{a\}, \{(1, a, 1)\}, 1)$$

le système de transitions étiquetées  $S_2$  associé au terme  $b \text{ rec } X.bX$ ,

$$S_2 = (\{2,3\}, \{b\}, \{(2, b, 3), (3, b, 3)\}, 2)$$

le système de transitions étiquetées  $S$  associé au terme  $t$ ,

$$S = (\{0, 1, 2, 3\}, \{a, b\},$$

$$\{(0,a,1), (0, b, 3), (1, a, 1), (3, b, 3)\}, 0)$$

La figure 1 est la représentation graphique du système de transitions étiquetées obtenu par application des règles de la sémantique opérationnelle au terme  $t$ .

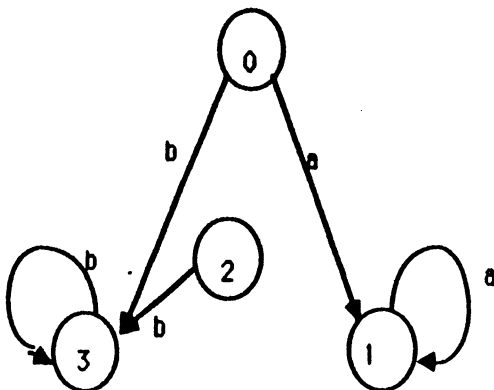


figure 1

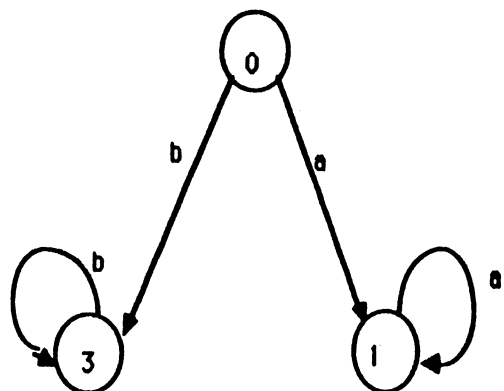


figure 2

Sur cet exemple, nous constatons que l'état 2 n'est pas atteignable à partir de l'état initial. Nous obtenons le système de transitions étiquetées (figure 2) après suppression de l'état 2.

Considérons le terme  $t' = \text{rec } X . (a X) + a \text{ rec } X . (a X)$ . Nous obtenons de la même manière le système de transitions étiquetées  $S'$  (figure 3).

Considérons le système de transitions étiquetées suivant (figure 4):

$$S'' = (\{0\}, \{a\}, \{(0, a, 0)\}, 0).$$

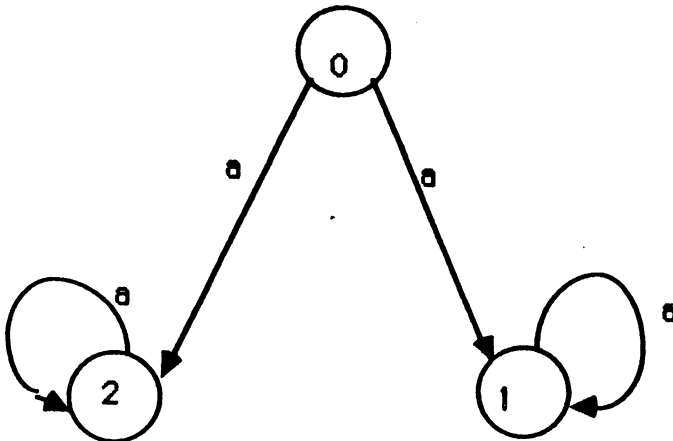


figure 3

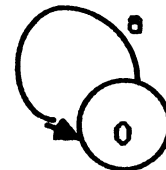


figure 4

Nous verrons au paragraphe 1.2., qu'il existe entre  $S''$  et  $S'$  une relation de bisimulation, et que  $S''$  est la forme normale de  $S'$ , modulo la congruence forte.

## 1.2. Relations de bisimulation

Pour comparer deux systèmes de transitions étiquetées, nous définissons la notion de bisimulation entre deux systèmes de transitions étiquetées. Deux états  $p$  et  $q$  se bisimulent si et seulement si, tout état  $p'$ , successeur de  $p$  par une transition étiquetée par  $a$ , se bisimule avec un état  $q'$ , successeur de  $q$  par une transition étiquetée par  $a$ , et inversement.

### Définition

Soient deux systèmes de transitions étiquetées  $S_i = (Q_i, A_i, T_i, q_i)$ ,  $i = 1, 2$  et soit une relation binaire  $\rho \subseteq Q_1 \times Q_2$ .

$\rho$  est une *bisimulation* si et seulement si

$$(i) (q_1, q_2) \in \rho,$$

$$(ii) \forall (p_1, p_2) \in \rho \text{ et } \forall a \in \text{Act}_\tau \Rightarrow$$

$$(\forall p_1'. p_1' \in T_a[p_1] \Rightarrow \exists p_2'. p_2' \in T_a[p_2] \text{ et } (p_1', p_2') \in \rho)$$

$$(\forall p_2'. p_2' \in T_a[p_2] \Rightarrow \exists p_1'. p_1' \in T_a[p_1] \text{ et } (p_1', p_2') \in \rho)$$

### Remarque

On peut définir une fonctionnelle  $\Psi$  sur les relations binaires sur l'ensemble  $P$  de tous les états :

$$\Psi(\rho) = \{ (p_1, p_2) \mid \forall a \in \text{Act}_\tau,$$

$$(\forall p_1'. p_1' \in T_a[p_1] \Rightarrow \exists p_2'. p_2' \in T_a[p_2] \text{ et } (p_1', p_2') \in \rho)$$

$$(\forall p_2'. p_2' \in T_a[p_2] \Rightarrow \exists p_1'. p_1' \in T_a[p_1] \text{ et } (p_1', p_2') \in \rho) \}$$

Soient deux systèmes de transitions étiquetés  $S_i = (Q_i, A_i, T_i, q_i)$ ,  $i = 1, 2$  et soit  $\rho \subseteq Q_1 \times Q_2$ .  $\rho$  est une bisimulation si et seulement si

$$(i) (q_1, q_2) \in \rho$$

$$(ii) \rho \subseteq \Psi(\rho).$$

### Exemple

1) Reprenons l'exemple figures 3 et 4 :

$$S' = (\{0, 1, 2\}, \{a\}, \{(0,a,1), (0, a, 2), (1, a, 1), (2, a, 2)\}, 0)$$

$$S'' = (\{0\}, \{a\}, \{(0, a, 0)\}, 0).$$

La seule relation de bisimulation existant entre  $\{0,1,2\}$  et  $\{0\}$  est :

$$\rho = \{(2, 0), (1, 0), (0, 0)\}$$

2) Considérons l'exemple de la figure 3. Remarquons que la relation  $\rho_1$  suivante vérifie la condition (ii) de la définition de la bisimulation. Pourtant ce n'est pas une bisimulation entre  $S'$  et lui-même car le couple  $(0, 0)$  n'appartient pas à la relation.

$$\rho_1 = \{(1, 2), (2, 1)\}$$

Par contre, les relations suivantes sont des bisimulations.

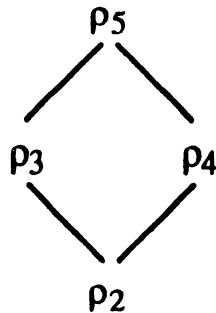
$$\rho_2 = \{(0, 0), (1, 2), (2, 1)\},$$

$$\rho_3 = \{(0, 0), (1, 1), (1, 2), (2, 1)\},$$

$$\rho_4 = \{(0, 0), (2, 2), (1, 2), (2, 1)\},$$

$$\rho_5 = \{(0, 0), (1, 1), (2, 2), (1, 2), (2, 1)\}.$$

Ces relations de bisimulation sont ordonnées par l'inclusion ensembliste (figure suivante). Remarquons que  $\rho_2$  n'est ni réflexive ni transitive.



### Proposition 1.2.2

Soient deux systèmes de transitions étiquetées,  $S_i = (Q_i, A_i, T_i, q_i)$ ,  $i = 1, 2$ .

L'opérateur  $\Psi$  est monotone croissant sur l'ensemble ordonné

$$(2(P \times P), \subseteq).$$

Il existe un plus grand point fixe de  $\Psi$  égal à :

$$\bigcup \{ \rho \mid \rho \subseteq \Psi(\rho) \}$$

**Preuve :**

Notons  $\rho_f = \bigcup \{ \rho \mid \rho \subseteq \Psi(\rho) \}$ .

Montrons que

(i)  $\rho_f$  est un point fixe (i.e.  $\rho_f = \Psi(\rho_f)$ )

(ii)  $\rho_f$  est le plus grand point fixe ( $\rho_g = \Psi(\rho_g) \Rightarrow \rho_g \subseteq \rho_f$ )

(i)  $\rho_f \subseteq \Psi(\rho_f)$

En effet, pour tout  $\rho' \in \{ \rho \mid \rho \subseteq \Psi(\rho) \}$ ,  $\rho' \subseteq \bigcup \{ \rho \mid \rho \subseteq \Psi(\rho) \} = \rho_f$ .

D'autre part,  $\Psi(\rho') \subseteq \Psi(\rho_f)$ , puisque  $\Psi$  est monotone croissant. On en déduit

$\rho' \subseteq \Psi(\rho_f)$ . Cette dernière propriété étant vraie pour tout  $\rho' \subseteq \Psi(\rho')$ , on déduit

$\bigcup \{ \rho \mid \rho \subseteq \Psi(\rho) \} \subseteq \Psi(\rho_f)$ , c'est-à-dire  $\rho_f \subseteq \Psi(\rho_f)$ .

Inversement,  $\Psi(\rho_f) \subseteq \rho_f$ . En effet,  $\Psi(\rho_f) \subseteq \Psi(\Psi(\rho_f))$ , donc

$\Psi(\rho_f) \in \{ \rho \mid \rho \subseteq \Psi(\rho) \}$  et  $\Psi(\rho_f) \subseteq \bigcup \{ \rho \mid \rho \subseteq \Psi(\rho) \} = \rho_f$ .

(ii) si  $\rho_g = \Psi(\rho_g)$  alors  $\rho_g \in \{ \rho \mid \rho \subseteq \Psi(\rho) \}$  et  $\rho_g \subseteq \rho_f$ .

□

### Proposition 1.2.3

Si  $Q_1 = Q_2$ , et si  $\rho$  est réflexive (resp. symétrique, transitive) alors  $\Psi(\rho)$  est réflexive (resp. symétrique, transitive).

**Preuve :**

soit  $\rho$  une relation binaire, sous-ensemble de  $Q \times Q$  ;

si  $\rho$  est une relation réflexive ou symétrique, il en est de même pour  $\psi(\rho)$

si  $\rho$  est transitive, soit  $(p, q), (q, r) \in \psi(\rho)$  ; montrons que  $(p, r) \in \psi(\rho)$ .

-si  $(p, q) \in \psi(\rho)$  alors  $\forall a \in \text{Act}_{\tau}$ ,

$$(\forall p'. p' \in T_a[p] \Rightarrow \exists q'. q' \in T_a[q] \text{ et } (p', q') \in \rho)$$

$$(\forall q'. q' \in T_a[q] \Rightarrow \exists p'. p' \in T_a[p] \text{ et } (p', q') \in \rho) ;$$

-si  $(q, r) \in \psi(\rho)$  alors  $\forall a \in \text{Act}_{\tau}$ ,

$$(\forall q'. q' \in T_a[q] \Rightarrow \exists r'. r' \in T_a[r] \text{ et } (q', r') \in \rho)$$

$$(\forall r'. r' \in T_a[r] \Rightarrow \exists q'. q' \in T_a[q] \text{ et } (q', r') \in \rho) ;$$

on en déduit, par transitivité de  $\rho$  :

$\forall a \in \text{Act}_{\tau}$ ,

$$(\forall p'. p' \in T_a[p] \Rightarrow \exists r'. r' \in T_a[r] \text{ et } (p', r') \in \rho)$$

$$(\forall r'. r' \in T_a[r] \Rightarrow \exists p'. p' \in T_a[p] \text{ et } (p', r') \in \rho) ;$$

Donc,  $(p, r) \in \psi(\rho)$  .

□

Soient deux systèmes de transitions étiquetées,  $S_i = (Q_i, A_i, T_i, q_i)$ ,  $i = 1, 2$ . Nous nous intéressons au plus grand point fixe de l'opérateur  $\Psi$ , i.e. la plus grande bisimulation.

Lorsque  $S_1 = S_2$ ,  $\Psi$  est définie sur le même ensemble d'états  $Q$ . Dans ce cas,  $\Psi$  détermine la plus grande relation d'équivalence sur  $Q$ , compatible avec la relation de transitions étiquetées considérée. Cela permet de construire un système de transitions étiquetées quotient ayant un nombre minimal d'états.

**Définition d'une relation d'équivalence sur les systèmes de transitions étiquetées.**

Deux systèmes de transitions étiquetées sont équivalents si et seulement si il existe une bisimulation entre ces deux systèmes.

Cette définition est correcte, la réflexivité et la symétrie sont facile à vérifier. La transitivité se déduit du fait que la composition de deux bisimulations est une bisimulation. Si deux systèmes sont équivalents, ils se bisimulent par la plus grande bisimulation. Nous notons  $S_1 \sim S_2$  s'il existe une (plus grande)

bisimulation entre  $S_1$  et  $S_2$ .

### Définition du système de transitions étiquetées quotient

Soit  $S = (Q, A, T, q_0)$  un système de transitions étiquetées,  $\rho$  une relation de bisimulation qui est une relation d'équivalence sur  $Q$  ; nous pouvons construire le système quotient de transitions étiquetées, noté  $S / \rho$ , de la manière suivante :

$S / \rho = (Q / \rho, A, T / \rho, [q_0])$  où :

-  $Q / \rho$  dénote l'ensemble des classes d'équivalence de la relation  $\rho$  :

$$Q / \rho = \{ B \mid B \subseteq Q \forall p, q \in B, (p, q) \in \rho \}$$

-  $(B, a, B') \in T / \rho$  si et seulement si  $T_a^{-1}[B'] \cap B \neq \emptyset$ .

La construction la relation de transitions étiquetées quotient est possible du fait que la relation  $\rho$  est *compatible* avec la relation de transitions (cf. chap. II) :

$$\forall a \in \text{Act}_\tau, \forall B, B' \in Q / \rho \Rightarrow (B' \subseteq T_a^{-1}[B] \text{ ou } B' \cap T_a^{-1}[B] = \emptyset).$$

### 1.3. Relations d'équivalence sur Trans

L'objet des paragraphes qui suivent est la définition, pour chaque relation d'équivalence, d'une transformation calculant la *forme normale* d'un système de transitions étiquetées.

R. Milner [Mil85] a défini un système formel pour la congruence forte, l'équivalence observationnelle et la congruence observationnelle. Le langage de ces systèmes formels est **Trans**, l'axiomatisation est donnée par un ensemble d'équations sur les termes de **Trans**. Pour chacune de ces relations il a montré la *consistance* et la *complétude* de l'axiomatisation pour une sémantique opérationnelle.

A. Soriano [Sor86] a défini, pour chacune des relations précédentes, un ensemble de transformations sur les systèmes de transitions étiquetées dont la composition calcule, pour chaque système de transitions étiquetées, sa forme normale.

S. Graf et J. Sifakis [GS86a] ont défini, pour la congruence par modèle

d'acceptation, un système formel dont le langage est **Trans**. Ils ont montré la consistance et la complétude de l'axiomatisation pour une sémantique opérationnelle. Ils ont défini une forme normale sur les systèmes de transitions étiquetées.

Chacune de ces relations d'équivalence définies sur **Trans**, peut être considérée comme une relation d'équivalence sur la classe des systèmes de transitions étiquetées. Cela provient du fait qu'il existe une bijection entre les systèmes de transitions étiquetées et les termes fermés et réguliers.

La forme normale d'un système de transitions étiquetées  $S = (Q, A, T, q_0)$  modulo la congruence forte est obtenue en calculant la plus grande bisimulation sur  $Q$  : c'est le système quotient de transitions étiquetées associé à  $S$ . Du fait que la plus grande bisimulation sur  $Q$  est la relation d'équivalence sur  $Q$ , la moins fine compatible avec la relation de transitions étiquetées, le système quotient a le plus petit nombre d'états (i.e. de classes) possible.

L'équivalence observationnelle, la congruence observationnelle et la congruence par modèle d'acceptation sont moins fines que la congruence forte. Cela permet de trouver, pour chaque système de transitions étiquetées, une forme normale, par rapport à l'une de ces relations, ayant le moins d'états possible : étant donné une forme normale pour une des relations d'équivalence précédentes, le système quotient pour la congruence forte de cette forme normale est encore une forme normale.

Enfin, deux systèmes de transitions étiquetées sont équivalents modulo une de ces relations si et seulement si ils ont le même représentant canonique (i.e. la même forme normale) aux noms des états près.

La structure des paragraphes est la suivante : pour chaque relation d'équivalence, nous rappelons son axiomatisation sur **Trans** et la définition de la forme normale pour un système de transitions étiquetées.



## 1.4. Congruence forte

### Définition axiomatique de la congruence forte

Les axiomes et les règles d'inférence sont ceux de la table 1 [Mil85].

#### TABLE 1:

Axiomes :

$$(+): (A1) : (t_1 + t_2) + t_3 = t_1 + (t_2 + t_3)$$

$$(A2) : t_1 + t_2 = t_2 + t_1$$

$$(A3) : t + t = t$$

$$(A4) : t + \text{nil} = t$$

$$(\mu) : (\mu_1) : \text{rec } X. t = t [ \text{rec } X.t / X ]$$

Règle d'inférence :

$$t = t' [ t / X ]$$

---


$$t = \text{rec } X. t'$$

### Forme normale sur les systèmes de transitions étiquetées pour la congruence forte

Milner [Mil85] a prouvé que le système de transitions étiquetées obtenu par application de l'algorithme suivant est une forme normale pour la congruence forte :

- 1) calcul de la plus grande bisimulation entre  $S$  et lui-même ; on obtient ainsi une partition de l'ensemble des états  $Q$  ;
- 2) construction du système de transitions étiquetées quotient  $S / \sim$ .

Nous notons  $ncf(S)$  la forme normale d'un système de transitions étiquetées  $S$  pour la congruence forte.

**Exemple**

Les systèmes de transitions sont décrits par les figures 5, 6 et 7.

Le calcul de la plus grande bisimulation appliqué à  $S_1$  (figure 5) produit les classes

$\{0, 1, 2\}$ ,  $\{4, 5\}$  et  $\{6\}$

Le système quotient est  $S_2$  (figure 6).

Le calcul de la plus grande bisimulation appliqué à  $S_3$  (figure 7) produit les classes

$\{0, 1\}$ ,  $\{2\}$ , et  $\{3\}$

Le système quotient est  $S_2$

$S_1$  et  $S_3$  sont fortement congrus ;  $S_2$  est la forme normale de  $S_1$  et de  $S_3$ .

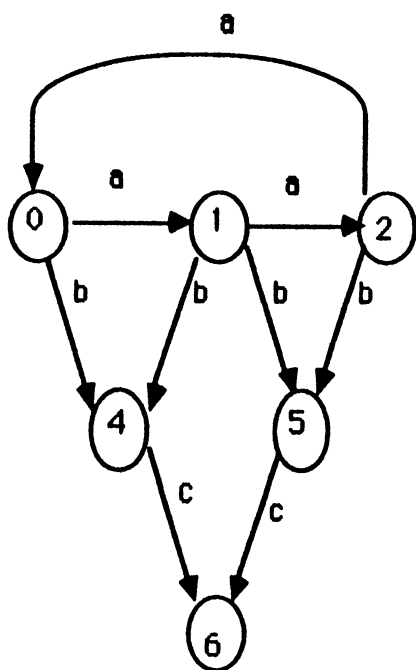


figure 5

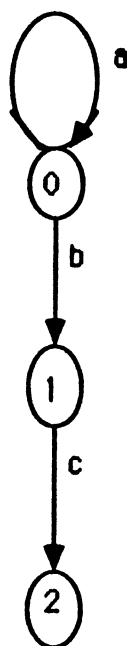


figure 6

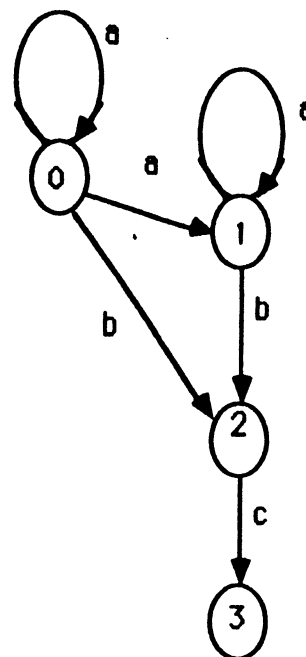


figure 7

## 1.5. Congruence observationnelle

### Définition axiomatique de la congruence observationnelle

Les axiomes et les règles d'inférence sont ceux de la table 1 et de la table 2 [Mil85].

#### TABLE 2:

Axiomes :

$$(\tau) : (\tau 1) : \tau + t = \tau$$

$$(\tau 2) : a (\tau t_1 + t_2) = a t_1 + a (\tau t_1 + t_2)$$

$$(\tau 3) : a \tau t = a t$$

$$(\text{rec } \tau 1) : \text{rec } X. (\tau X + t) = \text{rec } X. \tau t$$

$$(\text{rec } \tau 2) : \text{rec } X. (\tau (X + t) + t') = \text{rec } X. (\tau X + t + t')$$

### Définitions des transformations sur les systèmes de transitions étiquetées

Les transformations qui suivent interviennent dans le calcul de la forme normale d'un système de transitions étiquetées pour la congruence observationnelle. Elles ont été définies par A. Soriano [Sor86].

#### a) Transformation $\tau$ -chaîne (élimination des chaînes d'actions $\tau$ )

La validité de la transformation  $\tau$ -chaîne suivante peut être déduite de l'axiome  $(\tau 3)$  ; elle distingue l'état initial des autres états.

$$(\tau\text{-chaîne}) \frac{S = (Q, A, T, q_0), (q, \tau, q') \in T, q \neq q_0, |T[q]| = 1}{S' = (Q - \{q\}, A, T', q_0)}$$

$$\text{où } T' = T - \{(q, \tau, q')\} - (T^{-1}[q] \times \{q\}) \cup (T^{-1}[q] \times \{q'\})$$

$$(\tau\text{-chaîne}) \frac{S = (Q, A, T, q_0), T[q_0] = \{(\tau, q)\}}{S' = (Q, A, T', q_0)}$$

où  $T' = T \cup (T^{-1}[q_0] \times \{q\}) - T^{-1}[q_0] \times \{q_0\}$

### Exemple

Considérons le système de transitions étiquetées  $S_1$  (figure 8).

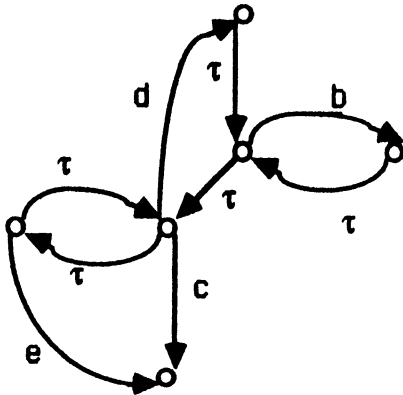


figure 8

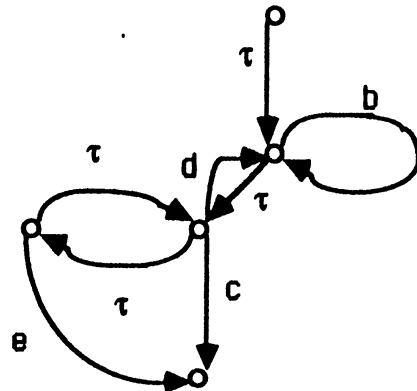


figure 9

$S_2$  (figure 9) est le transformé de  $S_1$  par l'application  $\tau$ -chaîne.

### b) Transformation $\tau$ -circuit :

La validité de la transformation suivante (élimination des circuits d'actions  $\tau$ ) peut être déduite des axiomes (rec  $\tau$  1) (rec  $\tau$  2).

$$S = (Q, A, T, q_0), (q_i, \tau, q_{i+1}) \in T, i = 1, \dots, n, q_{n+1} = q_1$$

( $\tau$ -circuit)

---


$$S' = (Q - \{q_2, \dots, q_n\}, A, T', q_0)$$

où  $T'$  est définie de la manière suivante :

si  $q_0 \notin \{q_1, \dots, q_n\}$

$$\begin{aligned} T' = T &- \{ \{q_i\} \times T[q_i] \mid i = 2, \dots, n \} \\ &- \{ T^{-1}[q_i] \times \{q_i\} \mid i = 2, \dots, n \} \\ &\cup \{ \{q_1\} \times T[q_i] \mid i = 1, \dots, n \} \\ &\cup \{ T^{-1}[q_i] \times \{q_1\} \mid i = 1, \dots, n \} \end{aligned}$$

si  $q_0 \in \{q_1, \dots, q_n\}$ , on considère  $q_0$  à la place de  $q_1$ .

### Exemple

Considérons le système de transitions étiquetées  $S_3$ , figure 10.

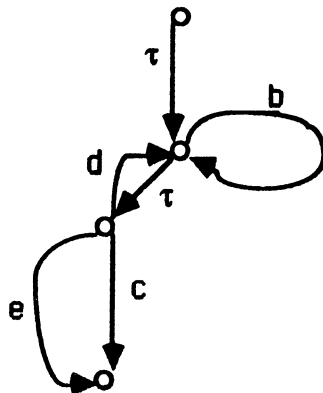


figure 10

$S_3$  est le transformé de  $S_2$  par application de la transformation  $\tau$ -circuit.

c) Transformation  $\tau$ -saturation :

La validité de la transformation suivante ( $\tau$ -saturation) peut être déduite des axiomes ( $\tau 1$ ) et ( $\tau 2$ ).

$$\begin{array}{c}
 S = (Q, A, T, q_0), (q_i, \tau, q_{i+1}) \in T \\
 \text{(\tau-saturation)} \quad \frac{\quad}{\quad} \\
 S' = (Q, A, T', q_0)
 \end{array}$$

où :

$$\begin{aligned}
 T' &= T \cup \{ \{q_i\} \times T[q_{i+1}] \} \\
 &\quad \cup \{ T^{-1}[q_i] \times \{q_{i+1}\} \}
 \end{aligned}$$

**Exemple**

Considérons le système de transitions étiquetées  $S_4$  figure 11. La notation

$$\begin{array}{c}
 \{a_i\}_{i \in I} \\
 p \rightarrow q
 \end{array}$$

représente l'ensemble des transitions

$$\left\{ p \xrightarrow{a_i} q \right\}_{i \in I}$$

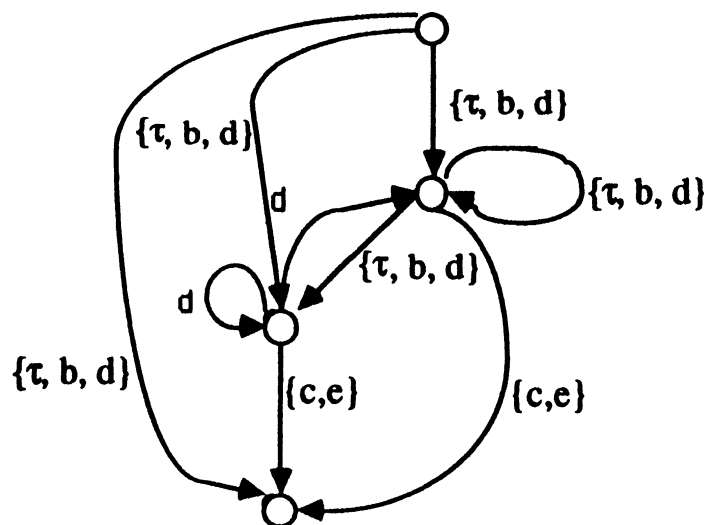


figure 11

$S_4$  est le transformé de  $S_3$  par application de la transformation  $\tau$ -saturation.

### Forme normale sur les systèmes de transitions étiquetées pour la congruence observationnelle

A. Soriano [Sor86] a prouvé que le système de transitions étiquetées obtenu par application de l'algorithme suivant est une forme normale pour la congruence observationnelle :

- 1) application exhaustive des transformations ( $\tau$ -chaîne), ( $\tau$ -circuit) et ( $\tau$ -saturation) et fermeture réflexive de la relation de transitions étiquetées par  $\tau$ .
- 2) calcul de la plus grande bisimulation ; on obtient ainsi une partition de l'ensemble des états.
- 3) construction du système de transitions étiquetées quotient et minimisation du nombre des transitions par application des transformations suivantes :

$$S = (Q, A, T, q_0), (q, \tau, q') \in T, (q, a, q'') \in T, (q', a, q'') \in T$$

---


$$S' = (Q, A, T - \{(q, a, q'')\}, q_0)$$

$$S = (Q, A, T, q_0), (q, a, q') \in T, (q', \tau, q'') \in T, (q, a, q'') \in T$$

---


$$S' = (Q, A, T - \{(q, a, q'')\}, q_0)$$

Commentaires : nous appelons *obs\_réduction* la transformation composée de ces deux dernières transformations.

Nous notons *nco* (S) la forme normale d'un système de transitions étiquetées S. Nous notons  $S_1 \sim_{co} S_2$  si les systèmes de transitions étiquetées  $S_1$  et  $S_2$  sont observationnellement congrus.

### Exemple

La forme normale de  $S_4$  est  $S_3$ .

## 1.6. Equivalence observationnelle

### Définition axiomatique de l'équivalence observationnelle

Les axiomes et les règles d'inférence sont ceux de la table 1, de la table 2 et l'axiome suivant [Mil85] :

$$(\tau 4) : \tau = t$$

L'équivalence observationnelle n'est pas une congruence pour l'opérateur +. Pour s'en convaincre, il suffit de considérer l'exemple suivant :

Les termes  $\tau a \text{ nil}$  et  $a \text{ nil}$

sont observationnellement équivalents (cf. définition ci-dessous) mais

$\tau a \text{ nil} + b \text{ nil}$  et  $a \text{ nil} + b \text{ nil}$

ne le sont pas.

### Forme normale sur les systèmes de transitions étiquetées pour l'équivalence observationnelle

A. Soriano [Sor86] a prouvé que le système de transitions étiquetées obtenu par application de l'algorithme suivant est une forme normale pour l'équivalence observationnelle.

- 1) application exhaustive des transformations ( $\tau$ -chaîne), ( $\tau$ -circuit) et ( $\tau$ -saturation) et fermeture réflexive de la relation de transitions étiquetées par  $\tau$ , où l'opération ( $\tau$ -chaîne) est modifiée en supprimant la condition  $q \neq q_0$ .
- 2) application de la bisimulation en considérant pour tous les états la relation  $T_\tau$  comme réflexive ; on obtient ainsi une partition de l'ensemble des états ;
- 3) construction du système de transitions étiquetées quotient et minimisation du nombre des transitions par application de la transformation *obs\_réduction*.

Nous notons *neo* (S) la forme normale d'un système de transitions étiquetées S. Nous notons  $S_1 \approx_{eo} S_2$  si les systèmes de transitions étiquetées  $S_1$  et  $S_2$  sont observationnellement équivalents.

### 1.7. Congruence par modèle d'acceptation

J.A. Bergstra, J.W. Klop et E.R. Olderog [BKO] ont défini une congruence par modèle d'acceptation sur l'algèbre ACP. Nous avons choisi la congruence par acceptation telle qu'elle a été définie par S. Graf et J. Sifakis, car elle est définie sur le même langage des processus réguliers **Trans**.

#### Définition axiomatique de la congruence par modèle d'acceptation

Les axiomes et les règles d'inférence sont ceux de la table 1 et de la table 3.

**TABLE 3:**

$$(\text{at}) : (\text{at } 1) : a \tau t = a t$$

$$(\text{at } 2) : a (\tau t + \sum a_i t_i) = a t + a (\sum a_i t_i)$$

$$(\text{at } 3) : \tau (b t + t') + b t'' = \tau (b t + b t'' + t') + b t + b t''$$

$$(\text{at } 4) : a (b t + t') + a (b t_1 + t_1') = a (b t + b t_1 + t') + a (b t + b t_1 + t_1')$$

$$(\text{rec } \tau) : (\text{rec } \tau 1) : \text{rec } X. (\tau X + t) = \text{rec } X. (\tau t + t)$$



### 1.7.2. Définition des transformations sur les systèmes de transitions étiquetées

Les transformations qui suivent interviennent dans le calcul de la forme normale d'un système de transitions étiquetées pour la congruence par modèle d'acceptation.

#### a) Transformation $\tau$ -chaîne

La transformation ( $\tau$ -chaîne) est identique à celle définie pour la congruence observationnelle.

#### b) Transformation $\tau$ -init

La validité de la transformation suivante ( $\tau$ -init) peut être déduite de l'axiome (rec  $\tau$ ) ; elle ne concerne que l'état initial.

$$S = (Q, A, T, q_0), (q_0, \tau, q) \in T, q' \notin Q$$


---

( $\tau$ -init)

$$S' = (Q \cup \{q'\}, A, T', q')$$

$$\text{où : } T' = T \cup \{q'\} \times T[q_0] - \{(q_0, \tau, q_1) \mid q_1 \in T_\tau[q_0]\}$$

#### Exemple

Le système de transitions étiquetées figure 13 est le transformé du système de transitions étiquetées figure 12, par la transformation  $\tau$ -init

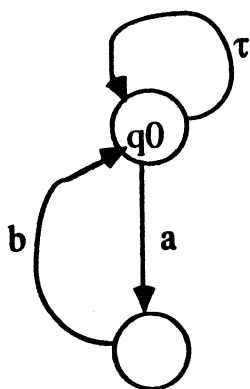


figure 12

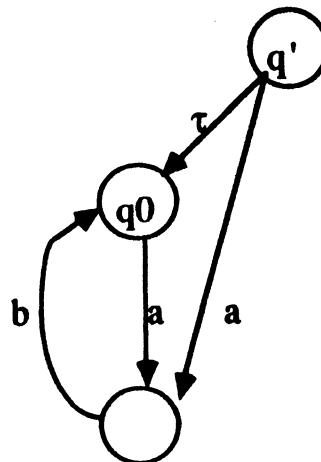


figure 13

c) Transformation  $\tau$ -élimination

La validité de la transformation suivante ( $\tau$ -élimination) peut être déduite de l'axiome ( $a\tau 2$ ).

$$(\tau\text{-élimination}) \frac{S = (Q, A, T, q_0), (q, \tau, q') \in T, q \neq q_0}{S' = (Q, A, T', q_0)}$$

$$\text{où : } T' = T - \{(q, \tau, q')\} \cup T^{-1}[q] \times \{q'\}$$

**Exemple**

Considérons le système de transitions étiquetées  $S_1$  (figure 14).

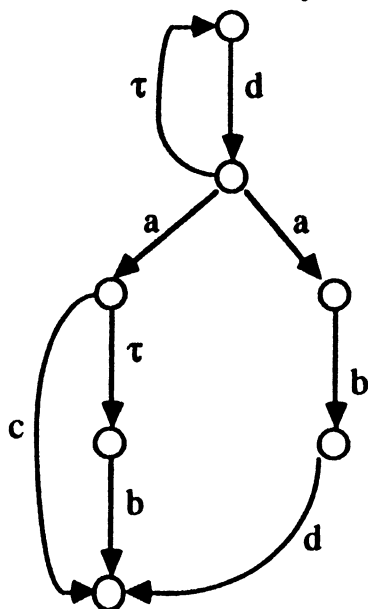


figure 14

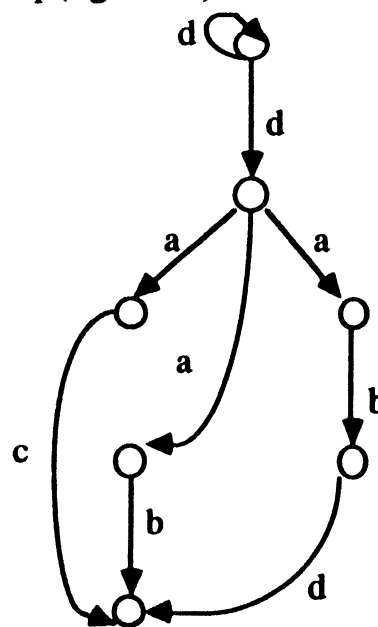


figure 15

Le système de transition étiquetées  $S_2$ , figure 15, est le transformé de  $S_1$  par la transformation  $\tau$ -élimination.

c) Transformation  $\tau$ -saturation-init

La validité de la transformation suivante ( $\tau$ -saturation init) peut être déduite de l'axiome ( $a\tau 3$ ).

$$S = (Q, A, T, q_0), (q_0, \tau, q) \in T, (q, b, q') \in T, (q_0, b, q'') \in T$$


---


$$(a \tau 3) \quad S' = (Q, A, T \cup \{(q_0, b, q'), (q, b, q'')\}, q_0)$$

d) Transformation saturation

La validité de la transformation suivante (saturation) peut être déduite de l'axiome (a  $\tau$ 4).

$$S = (Q, A, T, q_0), T_a^{-1}[q_1] \cap T_a^{-1}[q_2] \neq \emptyset, q_1' \in T_b[q_1], q_2' \in T_b[q_2]$$


---


$$(saturation) \quad S' = (Q, A, T \cup \{(q_1, b, q_2'), (q_2, b, q_1')\})$$

**Exemple**

Le système de transitions étiquetées  $S_3$ , figure 16, est le transformé du système de transitions étiquetées  $S_2$  par la transformation saturation.

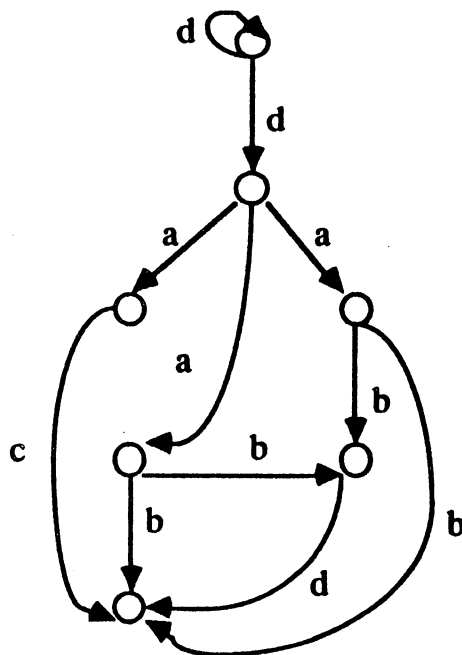


figure 16

## Forme normale sur les systèmes de transitions étiquetées pour la congruence par modèle d'acceptation

S. Graf et J. Sifakis [GS86a] ont prouvé que le système de transitions étiquetées obtenu par application de l'algorithme suivant est une forme normale pour la congruence par modèle d'acceptation :

- 1) application des transformations ( $\tau$ -init), ( $\tau$ -chaîne), ( $\tau$ -circuit), ( $\tau$ -élimination), ( $\tau$ -init-saturation) et (saturation) sur le système de transitions étiquetées.
- 2) Application de la bisimulation ; on obtient ainsi une partition de l'ensemble des états.
- 3) construction du système de transitions étiquetées quotient.

Nous notons  $nac(S)$  la forme normale d'un système de transitions étiquetées  $S$ . Nous notons  $S_1 \sim_{ac} S_2$  si les systèmes de transitions étiquetées  $S_1$  et  $S_2$  sont congrus pour la congruence par modèle d'acceptation.

### Exemple

Le système de transitions étiquetées  $S_4$ , figure 17, est la forme normale du système de transitions étiquetées  $S_1$ , figure 14.

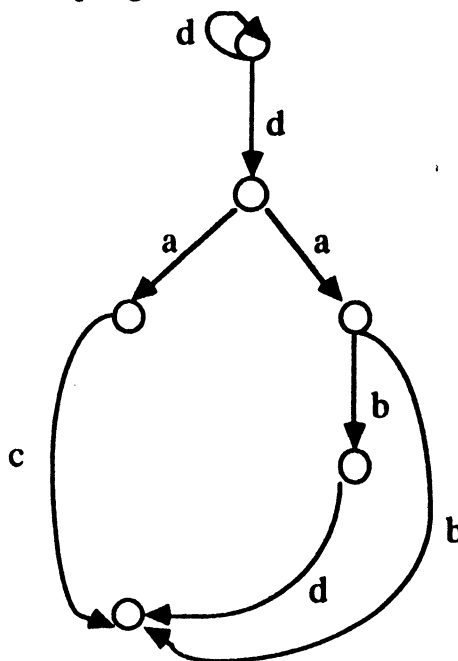


figure 17

Remarquons que le système de transitions étiquetées  $S_1$ , figure 14, est sous forme normale modulo la congruence ou l'équivalence observationnelles.

### 1.8. Opérateur d'abstraction

Dans ce paragraphe, nous étendons **Trans** en définissant un opérateur d'abstraction. Cette définition est inspirée de celle de l'algèbre ACP.

#### Définition

Nous définissons un opérateur *d'abstraction*, noté *abs*,

$$abs : \mathbf{Trans} \times 2^{Act} \rightarrow \mathbf{Trans}:$$

Soient  $t, t'$  deux termes de **Trans** et  $I$  un sous-ensemble de **Act**

$$t \xrightarrow{a} t', a \in I$$

$$t \xrightarrow{a} t', a \notin I$$

---


$$abs(I, t) \xrightarrow{\tau} abs(I, t')$$

---


$$abs(I, t) \xrightarrow{a} abs(I, t')$$

Cette définition engendre un opérateur *abs* sur les systèmes de transitions étiquetées.

$$S = (Q, A, T, q_0)$$

---


$$abs(I, S) = (Q, A', T', q_0)$$

où :

$$A' = A \cup \{\tau\} - I,$$

$$T' = \{(q, \tau, q') \mid (q, a, q') \in T \text{ et } a \in I\} \cup \\ \{(q, a, q') \mid (q, a, q') \in T \text{ et } a \notin I\}$$

La congruence forte, l'équivalence et la congruence observationnelles, et la congruence par modèle d'acceptation sont préservées par l'opérateur *abs*.

#### Exemple

Soit  $I = \{a, b\}$ , un ensemble "d'abstraction". Nous avons vu, dans l'exemple précédent, que  $S_1 \sim_{ac} S_4$ . Nous montrons, dans cet exemple, que  $abs(I, S_1) \sim_{ac} abs(I, S_4)$ . Soient,

$$S_5 = abs(I, S_1),$$

$$S_6 = abs(I, S_4),$$

$S_7 = nac(S_5)$ ,

$S_8 = nac(S_6)$ .

Les systèmes de transitions étiquetées  $S_5$  et  $S_6$  sont respectivement représentés, figure 18 et 19.

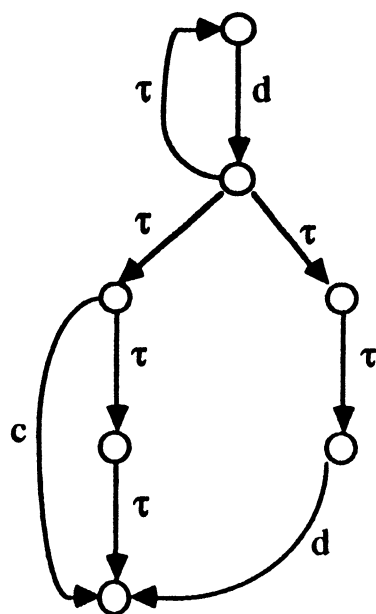


figure 18

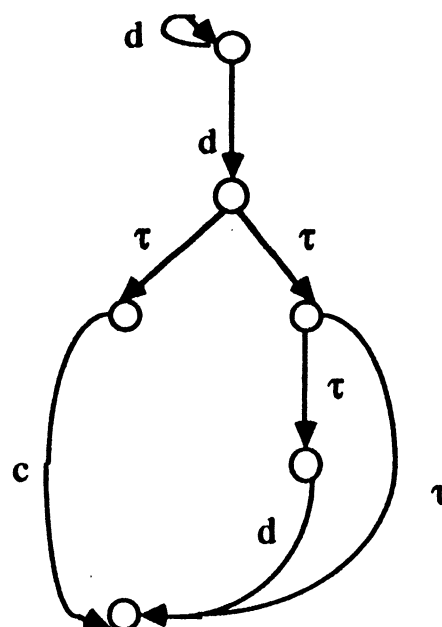


figure 19

Les systèmes de transitions étiquetées  $S_7$  et  $S_8$  sont identiques au système de transitions étiquetées, figure 20.

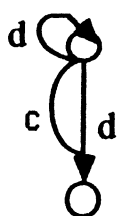


figure 20

## 2. Opérations de communication

Dans ce paragraphe, nous nous intéressons à la composition des systèmes de transitions étiquetées. Deux aspects de cette composition nous semblent importants :

- tout d'abord, l'opération de composition doit être générale pour permettre l'expression de différents modes de composition telle que la composition *synchrone* ou *asynchrone*, le *rendez-vous à deux* ou le *rendez-vous multiple* ;
- ensuite, il s'agit de déterminer si les relations d'équivalence définies au paragraphe précédent sont des congruences pour l'opérateur de composition. Lorsqu'une relation d'équivalence est une congruence pour l'opérateur de composition, on peut remplacer dans une composition un système de transitions étiquetées par sa forme normale (qui contient moins d'états). Cela permet de réduire en taille le calcul du système de transitions étiquetées produit.

Nous définissons deux opérateurs sur la classe des systèmes de transitions étiquetées : un *opérateur de composition* et un *opérateur de restriction*.

Nous adoptons une démarche analogue à celle de Winskel [Win83], pour définir un opérateur de composition. L'opérateur de composition est paramétré par une relation de communication. Cette relation est définie par un opérateur binaire sur l'ensemble des étiquettes, appelé par Winskel [Win83], *produit de synchronisation*. En modifiant les propriétés algébriques de cet opérateur, on peut décrire la composition synchrone, asynchrone, l'opération de communication par *rendez-vous à deux* ou par *rendez-vous multiple*.

L'opérateur de restriction [Mil80], noté  $\setminus$ , est défini pour indiquer à l'environnement les portes de communication qui ne peuvent pas communiquer.

Nous montrons que la congruence forte et la congruence observationnelle définies au paragraphe 1, sont *compatibles* avec les opérateurs de restriction et de composition : ce sont des congruences sur la classe des systèmes de transitions étiquetées munie des opérateurs de restriction et de composition. Ceci permet d'optimiser la génération d'un système de transitions étiquetées composé en tenant compte de la congruence forte ou de la congruence observationnelle.

Lorsque l'on compose plusieurs systèmes de transitions étiquetées à l'aide des opérateurs de composition et de restriction, l'ordre dans lequel s'effectue cette composition n'est pas indifférent. Le nombre de transitions "temporaires" peut être plus ou moins important suivant qu'un opérateur de restriction s'applique ou non. Nous proposons, au chapitre II, deux stratégies pour minimiser le nombre de transitions temporaires.

### 2.1. Définition d'un opérateur de composition sur les systèmes de transitions étiquetées

Avant de définir formellement la composition de deux systèmes de transitions étiquetées, nous illustrons sur un exemple les résultats possibles de cette composition. Considérons les systèmes de transitions étiquetées  $S_1$  (figure 1) et  $S_2$  (figure 2).

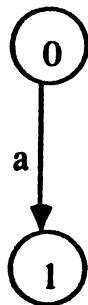


figure 1

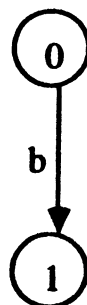


figure 2

Le résultat de la composition peut être le système de transitions étiquetées de la figure 3, si nous choisissons un opérateur de composition asynchrone ; le système de transitions étiquetées de la figure 4, si nous considérons l'opérateur d'entrelacement ; le système de transitions étiquetées de la figure 5, si nous considérons un opérateur synchrone. Pour exprimer ces différentes compositions avec un seul opérateur, nous définissons le *produit* de systèmes de transitions étiquetées. Intuitivement, l'ensemble des états est le produit cartésien des états et les transitions sont étiquetées par des couples d'étiquettes. Le produit des systèmes de transitions étiquetées de la figure 1 et 2 est représenté par la figure 6. Nous définissons un *produit de synchronisation*, noté  $\bullet$ , qui permet d'associer une étiquette à un couple d'étiquettes. A l'aide du produit de systèmes



de transitions étiquetées et du produit de synchronisation, nous pouvons définir la composition parallèle de systèmes de transitions étiquetées.

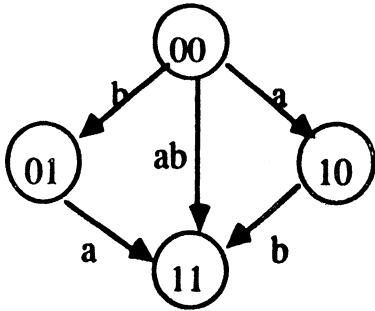


figure 3

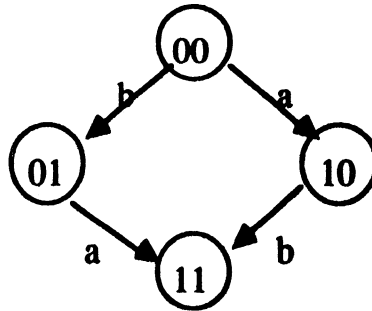


figure 4

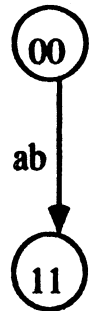


figure 5

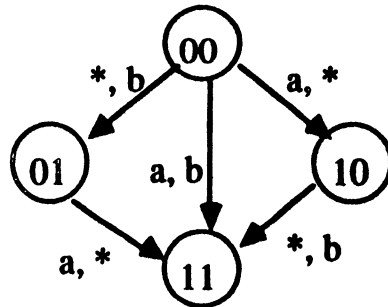


figure 6

Nous avons introduit le symbole  $*$  qui permet, à l'aide du produit de synchronisation  $\bullet$  de définir un opérateur de composition synchrone (figure 5) si  $a \bullet * = 0$  (i.e. 0 étiquette une transition vide) ou asynchrone (figures 3, 4) si  $a \bullet * = a$ .

Dans cet exemple le produit de synchronisation  $\bullet$  est commutatif,

La valeur du produit  $a \bullet b$  peut être soit 0 (figure 4) soit une étiquette de  $Act_{\tau}$  (figure 3).

### Notations

Nous étendons l'ensemble  $Act_{\tau}$ , en  $Act' = Act_{\tau} \cup \{0, *\}$ .

### Définition du produit de deux systèmes de transitions étiquetées

Soient deux systèmes de transitions  $S_i = (Q_i, A_i, T_i, q_i)$ ,  $i = 1, 2$ .

1) Nous définissons un produit entre sous-ensembles de  $Act'$ , noté  $\times_*$ , de la manière suivante : si  $A$  et  $B$  sont des sous-ensembles de  $Act'$ ,

$$A \times_* B = (A \times B) \cup (A \times \{*\}) \cup (\{*\} \times B).$$

2) Notons  $T_i^*$  l'ensemble  $T \cup \{(q, *, q) \mid q \in Q_i\}$  ; nous définissons le produit  $S_1 \times S_2$  des systèmes de transitions étiquetées  $S_1$ , et  $S_2$  de la manière suivante,

$$S_1 \times S_2 = (Q, A, T, q_0) \text{ où ,}$$

$$A = A_1 \times_* A_2,$$

$T$  et  $Q$  sont définis par la règle suivante :

$$(p_1, p_2) \in Q, (p_1, a, p'_1) \in T_1^*, (p_2, b, p'_2) \in T_2^*$$

---


$$T \leftarrow T \cup \{(p_1, p_2), (a, b), (p'_1, p'_2)\}, Q \leftarrow Q \cup \{(p'_1, p'_2)\}$$

Initialement  $T = \emptyset$  et  $Q = \{q_0\}$  où

$$q_0 = (q_1, q_2)$$

Le produit de synchronisation défini sur  $Act'$ , structure  $Act'$  en une *algèbre de synchronisation*.

### Définition de l'algèbre de synchronisation

Une *algèbre de synchronisation* [Win83]  $L = (Act', \bullet)$  vérifie les conditions suivantes :

- (i)  $(Act', \bullet)$  est un monoïde (i.e.  $\bullet$  est associatif),
- (ii)  $0$  est absorbant (i.e.  $\forall a \in Act', a \bullet 0 = 0$ ).
- (iii)  $* \bullet * = *$  et  $a \bullet b = *$  si et seulement si  $a = b = *$

Dans la suite de ce travail, nous nous intéressons aux algèbres de synchronisation respectant les contraintes suivantes :

- (1) le produit de synchronisation  $\bullet$  est commutatif,

(2)  $a \bullet \tau = 0$ , pour  $a \in Act_\tau$

(3)  $* \bullet \tau = \tau$

(4)  $* \bullet a = a$  ou  $* \bullet a = 0$ , pour  $a \in Act$ .

La condition (2) exprime qu'un événement interne ne peut être synchronisé avec un événement externe ; la condition (3) exprime que les événements internes apparaissent de manière asynchrone lors de la composition parallèle ; la condition (4) définit un produit de synchronisation asynchrone ou synchrone.

### Définition de l'opérateur de composition

Soient,

- une algèbre de synchronisation  $L$ ,
- deux systèmes de transitions étiquetées  $S_i = (Q_i, A_i, T_i, q_i)$ ,
- une bijection,  $\langle, \rangle : P \times P \rightarrow P$ .

On définit la composition  $S = (Q, A, T, q_0) = (S_1 \parallel_L S_2)$  de  $S_1$  et  $S_2$  à partir de  $S_1 \times S_2$  en remplaçant l'étiquette  $(a, b)$  par l'étiquette  $a \bullet b$  :

Si  $S_1 \times S_2 = (Q, A_1 \times_* A_2, T, q_0)$ ,

$S_1 \parallel_L S_2 = (Q', A, T', q_0)$  où :

$Q' = \{\langle p, q \rangle \mid (p, q) \in Q\}$

$A = \{a \bullet b \mid (a, b) \in A_1 \times_* A_2 \text{ et } a \bullet b \neq 0\}$

$T' = \{(\langle p_1, p_2 \rangle, a \bullet b, \langle q_1, q_2 \rangle) \mid a \bullet b \in A, \text{ et}$

$((p_1, p_2), (a, b), (q_1, q_2)) \in T\}$

### Propriétés de l'opérateur de composition

Soit  $L$  une algèbre de synchronisation vérifiant les contraintes (1)-(4) ci-dessus.  $\parallel_L$  est associatif et commutatif.

L'associativité et la commutativité de  $\parallel_L$  se déduisent de l'associativité et de la commutativité du produit de synchronisation.

### Exemples de quelques algèbres de synchronisation

1) Une algèbre  $L_1$  de synchronisation pour l'opérateur  $\mid$  de CCS sans passage de valeurs.

Cette algèbre est caractérisée par les propriétés suivantes :

- pour chaque étiquette,  $a$ , il existe une étiquette  $a'$ , appelée *complémentaire*,

telle que  $a \bullet a' = \tau$  ;

-  $a \bullet b = 0$  si et seulement si  $b \neq a'$  (les seules synchronisations possibles sont les communications) ;

-  $a \bullet * = a$  (cette propriété caractérise un opérateur asynchrone). La table suivante définit l'opérateur  $\bullet$  pour  $L_1$ .

$\bullet$	0	$\tau$	a	b	*
0	0	0	0	0	0
$\tau$	0	0	0	0	$\tau$
a'	0	0	$\tau$	0	a'
b'	0	0	0	$\tau$	b'
*	0	$\tau$	a	b	*

En composant les systèmes de transitions étiquetés  $S_1$  et  $S_2$  des figures 1 et 2, nous obtenons le système de transitions étiquetés de la figure 3 (resp. 4) si  $b = a'$  (resp.  $b \neq a'$ ).

2) Une algèbre  $L_2$  de synchronisation pour l'opérateur  $\parallel$  de SCCS [Mil 83] avec abstraction.

Cette algèbre est caractérisée par les propriétés suivantes :

- nous distinguons un élément de  $Act'$ , noté 1, élément neutre pour le produit de synchronisation  $\bullet$ , tel que le triplet  $(Act', \bullet, 1)$  a une structure de semi-groupe abélien (i.e. 1 est élément neutre) ;

-  $a \bullet * = 0$  (cette propriété caractérise un opérateur synchrone).

En composant les systèmes de transitions étiquetés  $S_1$  et  $S_2$  des figures 1 et 2, nous obtenons le système de transitions étiquetés de la figure 5.

Dans la table suivante, qui définit l'opérateur  $\bullet$ , la valeur du produit  $a \bullet b$  n'est pas précisée, lorsque ces étiquettes appartiennent à  $Act$ .

•	0	1	a	b	*
0	0	0	0	0	0
1	0	1	a	b	0
a	0	a	$a \bullet a$	$a \bullet b$	0
b	0	b	$a \bullet b$	$b \bullet b$	0
*	0	0	0	0	*

### 3) Une algèbre $L_3$ de synchronisation exprimant le *rendez-vous multiple*.

Dans cette algèbre, seules les transitions étiquetées par  $\tau$  peuvent apparaître de manière asynchrone. Les étiquettes de même nom sont synchronisées. A la différence de l'opérateur  $|$  de CCS, plusieurs composants d'un même système peuvent être synchronisés. Le produit est synchrone. Cette algèbre est donc caractérisée par :

- $a \bullet * = 0$ , pour  $a \neq \tau$ ,
- $a \bullet a = a$ , pour  $a \neq \tau$ ,
- $a \bullet b = 0$ , pour  $a \neq b$ .

•	0	$\tau$	a	b	*
0	0	0	0	0	0
$\tau$	0	0	0	0	$\tau$
a	0	0	a	0	0
b	0	0	0	b	0
*	0	$\tau$	0	0	*

En composant les systèmes de transitions étiquetées  $S_1$  et  $S_2$  des figures 1 et 2, nous obtenons le système de transitions étiquetées de la figure 5 si  $a = b$  et le système de transitions étiquetées vide (un état, une relation de transitions étiquetées vide) sinon.

#### 4) Une algèbre $L_4$ de synchronisation pour l'opérateur *d'entrelacement*

Opération *d'entrelacement* : aucune étiquette n'est synchronisée avec une autre lors de la composition :

- $a \bullet b = 0$  pour  $a$  et  $b$  différents de  $*$ ;
- $a \bullet * = a$ .

$\bullet$	0	$\tau$	a	b	*
0	0	0	0	0	0
$\tau$	0	0	0	0	$\tau$
a	0	0	0	0	a
b	0	0	0	0	b
*	0	$\tau$	a	b	*

En composant les systèmes de transitions étiquetées des figures 1 et 2, nous obtenons le système de transitions étiquetées de la figure 4.

Nous définissons un opérateur de restriction qui, étant donné un système de transitions étiquetées et un ensemble d'étiquettes, supprime les transitions étiquetées par un élément de cet ensemble.

#### Définition de l'opérateur de restriction

Nous définissons un opérateur de restriction  $\setminus$ , qui, à un système de transitions étiquetées  $S = (Q, A, T, q_0)$  et à un ensemble  $B$ , sous-ensemble de  $Act$ , associe un système de transitions étiquetées,  $S' = (Q', A', T', q_0)$  où :

-  $A' = A - B$ ,

-  $T'$  est définie par la règle suivante :

$$(q, a, q') \in T, a \notin B$$

---


$$(q, a, q') \in T'$$

-  $Q'$  est l'ensemble des états atteignables à partir de l'état initial.

Une propriété intéressante est la distributivité, sous certaines conditions, de l'opérateur de restriction par rapport à la composition.

### Notations

Soit  $L$  une algèbre de synchronisation.

(i) Nous étendons le produit de synchronisation aux ensembles :

Soient  $A$  et  $B$ , deux sous-ensembles de  $Act$ , nous notons

$$A \bullet B = \{a \bullet b \mid a \in A \text{ et } b \in B \text{ et } a \bullet b \neq 0 \text{ et } a \bullet b \neq \tau\}$$

(ii) Soit  $a$  un élément de  $Act$ . Nous définissons  $Com(a)$  de la manière suivante :

$$Com(a) = \{b \mid b \in Act \text{ et } a \bullet b \neq 0\}$$

Les propriétés suivantes se montrent facilement.

### Propriétés

Soient  $S_i = (Q_i, A_i, T_i, q_i)$   $i = 1, 2$  deux systèmes de transitions étiquetées et soit  $L$  une algèbre de synchronisation.

(i)  $(S_1 \setminus I_1) \setminus I_2 = S_1 \setminus I_1 \cup I_2$

(ii)  $(S_1 \setminus I_1) = S_1$  si  $I_1 \cap A_1 = \emptyset$ .

(iii)  $(S_1 \parallel_L S_2) \setminus \{a\} = (S_1 \setminus \{a\}) \parallel_L S_2$  si

$$(a \notin A_1 \bullet A_2 \text{ et } a \notin A_2 \text{ et } (a \in A_1 \Rightarrow Com(a) \cap A_2 = \emptyset)) \text{ ou}$$

$$(a \in A_1 \bullet A_2 \text{ et } ((a = b \bullet c) \Rightarrow a = b = c))$$

(iv)  $(S_1 \parallel_L S_2) \setminus \{a\} = (S_1 \setminus \{a\}) \parallel_L (S_2 \setminus \{a\})$  si

$$(a \notin A_1 \bullet A_2 \text{ et } (a \in A_1 \Rightarrow Com(a) \cap A_2 = \emptyset))$$

$$\text{et } (a \in A_2 \Rightarrow Com(a) \cap A_1 = \emptyset) \text{ ou}$$

$$(a \in A_1 \bullet A_2 \text{ et } ((a = b \bullet c) \Rightarrow a = b = c))$$

## 2.2. Congruences

Nous allons déterminer, pour chaque relation d'équivalence définie au paragraphe 1, celles qui sont des congruences sur la classe des systèmes de transitions étiquetées munies des opérateurs de composition et de restriction. Par abus de langage, nous notons  $\text{Trans}_L$  la classe des systèmes de transitions, munie des opérateurs  $\parallel_L$  et  $\setminus$ , pour une algèbre de synchronisation donnée  $L$ . Pour qu'une relation d'équivalence  $\sim_{\text{eq}}$  sur les systèmes de transitions étiquetées soit une congruence sur  $\text{Trans}_L$ , il faut et il suffit que les deux propriétés suivantes soient vérifiées :

$$(i) \forall S \in \text{Trans}_L \ S_1 \sim_{\text{eq}} S_2 \Rightarrow (S_1 \parallel_L S) \sim_{\text{eq}} (S_2 \parallel_L S)$$

$$(ii) \forall I \subseteq \text{Act} \ S_1 \sim_{\text{eq}} S_2 \Rightarrow (S_1 \setminus I) \sim_{\text{eq}} (S_2 \setminus I)$$

Les relations d'équivalence  $\sim$  et  $\sim_{\text{CO}}$  sont des congruences. Pour ces deux relations, nous montrons uniquement la propriété (i). La propriété (ii) est facile à montrer. Nous montrons sur un contre-exemple que la relation d'équivalence par modèle d'acceptation  $\sim_{\text{ac}}$  n'est pas une congruence.

### Proposition

La relation  $\sim$  est une congruence sur  $\text{Trans}_L$ .

### Principe de démonstration

Soient trois systèmes de transitions étiquetées  $S_i = (Q_i, A_i, T_i, q_i)$  pour  $i = 1, 2$  et  $S = (Q, A, T, q_0)$ .

Notons  $\rho_{12}$  la plus grande bisimulation entre  $S_1$  et  $S_2$ . Il suffit de montrer qu'il existe une bisimulation entre  $(S_1 \parallel_L S)$  et  $(S_2 \parallel_L S)$ . La relation

$$\rho = \{(\langle p_1, p \rangle, \langle p_2, p \rangle) \mid (p_1, p_2) \in \rho_{12} \text{ et } p \in Q\},$$

est une bisimulation entre  $S_1 \parallel_L S$  et  $S_2 \parallel_L S$ . En effet,

$$(i) \langle q_1, q_0 \rangle, \langle q_2, q_0 \rangle \in \rho,$$

(ii) si  $\langle p_1, p \rangle, \langle p_2, p \rangle \in \rho$  et  $a \in \text{Act}$  et  $q \in T_a[\langle p_1, p \rangle]$  alors trois cas sont possibles :

cas 1 :  $q$  est de la forme  $\langle r_1, p \rangle$  et  $a = a \bullet *$ .

$$r_1 \in T_a[p_1] \text{ et } (p_1, p_2) \in \rho_{12} \Rightarrow \exists r_2 \ r_2 \in T_a[p_2] \text{ et } (r_1, r_2) \in \rho_{12}.$$

Par conséquent,  $\langle r_1, p \rangle, \langle r_2, p \rangle \in \rho$ .

cas 2 :  $q$  est de la forme  $\langle p_1, r \rangle$  et  $a = * \bullet a$ .

Nous avons, par définition de  $\rho$ ,  $\langle p_1, r \rangle, \langle p_2, r \rangle \in \rho$ .

cas 3 :  $q$  est de la forme  $\langle r_1, r \rangle$  et  $a = b \bullet c$ .



$r_1 \in T_b [p_1]$  et  $(p_1, p_2) \in \rho_{12} \Rightarrow \exists r_2 \in T_b [p_2]$  et  $(r_1, r_2) \in \rho_{12}$ .

On déduit, de  $r_2 \in T_b [p_2]$  et  $r \in T_c [p]$ ,  $\langle r_2, r \rangle \in T_a [\langle p_2, p \rangle]$ . De plus,  $\langle r_1, r \rangle, \langle r_2, r \rangle \in \rho$ .

On procède de même pour la condition symétrique :

$\langle p_1, p \rangle, \langle p_2, p \rangle \in \rho$  et  $a \in Act$  et  $q \in T_a [\langle p_2, p \rangle]$ .

□

### Proposition

La congruence observationnelle  $\sim_{co}$  est une congruence sur  $Trans_L$ .

### Principe de démonstration :

Soient trois systèmes de transitions étiquetées  $S_i = (Q_i, A_i, T_i, q_i)$  pour  $i = 1, 2$  et  $S = (Q, A, T, q_0)$ .

1) Nous utilisons une autre caractérisation de la congruence observationnelle [Mil85] :

- Soit  $S = (Q, A, T, q_0)$  un système de transitions étiquetées. Nous définissons l'ensemble  $T_a^+ [p]$ , pour  $a \in Act$ , de la manière suivante :

$T_a^+ [p] = \{q \mid \exists q_1, \dots, q_n, r_1, \dots, r_m \text{ avec } p = q_1 \text{ et } q = r_m \text{ vérifiant :}$

$q_{i+1} \in T_\tau [q_i]$  pour  $i < n$ ,  $r_1 \in T_a [q_n]$  et  $r_{j+1} \in T_\tau [q_j]$  pour  $j < m\}$

$T_\varepsilon [p] = T_\tau^+ [p] \cup \{p\}$ .

- Soient deux systèmes de transitions étiquetées  $S_i = (Q_i, A_i, T_i, q_i)$  pour  $i = 1, 2$ .  $S_1 \sim_{co} S_2$  si et seulement si il existe une relation  $\rho_{co}$  vérifiant :

(i)  $(q_1, q_2) \in \rho_{co}$

(ii)  $\forall (p_1, p_2) \in \rho_{co}$  et  $\forall a \in Act \Rightarrow$

$(\forall r_1 \in T_a [p_1] \Rightarrow \exists r_2 \in T_a^+ [p_2] \text{ et } (r_1, r_2) \in \rho_{co})$

(iii)  $\forall (p_1, p_2) \in \rho_{co}$  et  $\forall a \in Act \Rightarrow$

$(\forall r_2 \in T_a [p_2] \Rightarrow \exists r_1 \in T_a^+ [p_1] \text{ et } (r_1, r_2) \in \rho_{co})$

(iv)  $\forall (p_1, p_2) \in \rho_{co} \Rightarrow (\forall r_1 \in T_\tau [p_1] \Rightarrow \exists r_2 \in T_\varepsilon [p_2] \text{ et } (r_1, r_2) \in \rho_{co})$

(v)  $\forall (p_1, p_2) \in \rho_{co} \Rightarrow (\forall r_2 \in T_\tau [p_2] \Rightarrow \exists r_1 \in T_\varepsilon [p_1] \text{ et } (r_1, r_2) \in \rho_{co})$

(vi)  $(q_1, q_2) \in \rho_{co} \Rightarrow (\forall r_1 \in T_\tau [q_1] \Rightarrow \exists r_2 \in T_\tau^+ [q_2] \text{ et } (r_1, r_2) \in \rho_{co})$

(vii)  $(q_1, q_2) \in \rho_{co} \Rightarrow (\forall r_2 \in T_\tau [q_2] \Rightarrow \exists r_1 \in T_\tau^+ [q_1] \text{ et } (r_1, r_2) \in \rho_{co})$

Nous appelons  $\rho_{co}$  " $\tau^*$ -bisimulation".

2) Nous procédons de la même manière que pour la démonstration de la congruence forte en remplaçant bisimulation par " $\tau^*$ -bisimulation".

□

La congruence par acceptation définie au premier paragraphe, n'est pas une congruence sur  $\text{Trans}_L$ . Pour s'en convaincre, il suffit de considérer le contre-exemple suivant :

Soit  $L$  une algèbre de synchronisation asynchrone (i.e.  $a \bullet * = a$ ). Considérons les systèmes de transitions étiquetées  $S_1$  (figure 7),  $S_2$  (figure 8) et  $S$  (figure 9).  $S_1 \sim_{ac} S_2$  mais  $S_1 \parallel_L S$  n'est pas congru à  $S_2 \parallel_L S$ . En effet, la forme normale de  $S_1 \parallel_L S$  (figure 10) et la forme normale de  $S_2 \parallel_L S$  (figure 11) sont distinctes. Nous pouvons trouver un contre-exemple pour une algèbre de synchronisation synchrone.

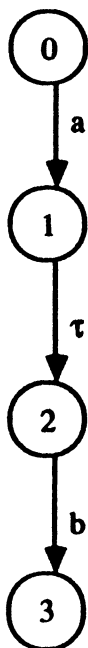


figure 7



figure 8

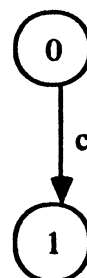


figure 9

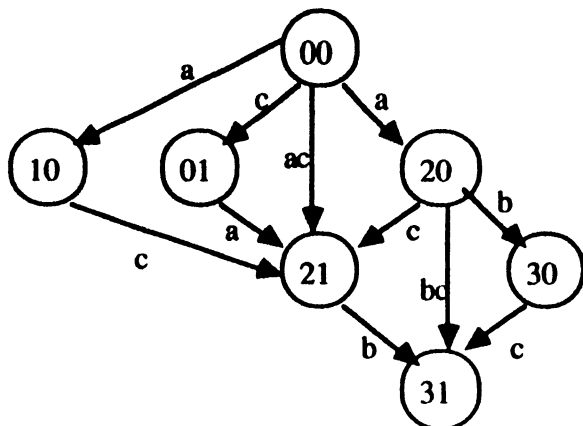


figure 10

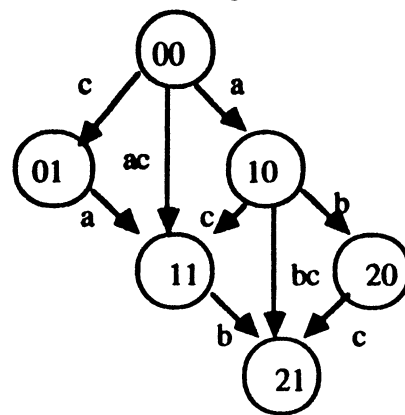


figure 11

### 3 Conclusion

Nous nous sommes intéressés dans ce chapitre à des relations plus grossières que la plus grande bisimulation et telles que, pour chaque classe d'équivalence, il existe un représentant canonique. Du fait que ces relations d'équivalence contiennent la plus grande bisimulation, le représentant canonique, ou forme normale, peut être choisi de telle sorte que le nombre de ses états soit minimal.

Nous avons défini un opérateur d'abstraction sur les systèmes de transitions étiquetées. Cet opérateur d'abstraction, combiné avec la congruence observationnelle, l'équivalence observationnelle ou la congruence par modèle d'acceptation, permet de comparer deux systèmes de transitions étiquetées "modulo un ensemble d'actions".

L'opérateur de composition parallèle sur les systèmes de transitions étiquetées est paramétré par une algèbre de synchronisation. Il permet de décrire la composition synchrone ou asynchrone, l'opération de communication par "rendez-vous" à deux ou multiple.

La mise en œuvre efficace d'un calcul de forme normale repose sur la mise en œuvre efficace du calcul de la plus grande bisimulation. Nous présentons, au chapitre II, un algorithme dont le coût en temps est quasi-linéaire par rapport à la taille de la relation de transitions étiquetées.

Les relations de congruence forte et observationnelle sont compatibles avec les opérateurs de composition et de restriction. Nous pouvons définir des stratégies de composition, en utilisant cette propriété de manière à réduire les résultats intermédiaires. Il s'agit de minimiser le nombre d'états et le nombre de transitions temporaires engendrés par la composition. Nous pouvons, de plus, utiliser certaines propriétés algébriques des opérateurs de composition et de restriction pour réduire encore le nombre d'états et le nombre de transitions temporaires. Nous développons ce point au chapitre II.

## CHAPITRE II

### TRANSFORMATIONS SUR LES SYSTEMES DE TRANSITIONS ETIQUETEES

Dans ce chapitre, nous décrivons la mise en œuvre des transformations définies au chapitre I. Ce sont, d'une part les transformations sur les systèmes de transitions étiquetées permettant le calcul d'une forme normale modulo une relation d'équivalence, d'autre part les transformations utilisées pour réduire le nombre d'états et le nombre de transitions temporaires engendrés par la composition de systèmes de transitions étiquetées.

Nous nous intéressons dans ce chapitre à une mise en œuvre efficace des transformations sur les systèmes de transitions étiquetées. Nous distinguons deux sortes de transformations sur les systèmes de transitions étiquetées intervenant dans le calcul des formes normales :

- une *transformation globale*, c'est le calcul de la plus grande bisimulation,
- les *transformations locales*, qui interviennent dans l'algorithme de calcul d'une forme normale modulo une relation d'équivalence. Nous rappelons quelles sont les relations d'équivalence considérées : ce sont la congruence forte, la congruence et l'équivalence observationnelles, et la congruence par modèle d'acceptation.

L'algorithme choisi pour le calcul de la plus grande bisimulation est inspiré de celui décrit par [PT86] pour résoudre le problème de la partition la moins fine compatible avec une relation binaire. C'est à l'heure actuelle l'algorithme le plus performant du point de vue du temps d'exécution pour calculer la plus grande bisimulation : la complexité de cet algorithme est de l'ordre de  $m \log n$  où  $m$  (resp.  $n$ ) désigne le cardinal de la relation de transition (resp. de l'ensemble des états).

Les algorithmes décrivant une transformation locale sont des algorithmes sur les graphes et sont construits selon le principe suivant :

- parcours de la relation de transition,
- pour chaque transition vérifiant une certaine propriété, transformation

de la relation de transition. Par exemple, pour la mise en œuvre de la transformation  $\tau$ -chaîne, la propriété qui permet la transformation de la relation de transitions est "l'état courant a un et un seul successeur par une transition étiquetée par  $\tau$ ".

Ce chapitre est divisé en trois parties :

Tout d'abord, nous présentons le problème de la partition la moins fine compatible avec une relation binaire, et la mise en œuvre de sa solution par Paige et Tarjan [PT86]. Nous étendons cet algorithme aux systèmes de transitions étiquetées, ce qui permet de calculer le système de transitions étiquetées quotient modulo la plus grande bisimulation. Le calcul de la bisimulation entre deux systèmes de transitions étiquetées est une conséquence de cette solution.

La deuxième partie est consacrée à la présentation des algorithmes décrivant les transformations locales sur les systèmes de transitions étiquetées.

Nous présentons ensuite la mise en œuvre de la génération d'un système de transitions étiquetées composé.

## 1. Transformation globale

Avant d'énoncer le problème de la partition la moins fine compatible avec une relation de transition, nous rappelons les définitions et notations utiles dans la suite de ce paragraphe.

### Rappel et notations

Un système de transitions  $(Q, R)$  est la donnée d'un ensemble fini d'états  $Q$  et d'une relation de transition sur les états  $R \subseteq Q \times Q$ . A la différence d'un système de transitions étiquetées, il n'a pas d'état initial et les transitions ne sont pas étiquetées. Un système de transitions étiquetées  $(Q, A, T, q_0)$  est un système de transitions  $(Q, R)$  où :

$$R = \bigcup_{a \in A} \{(q, q') \mid (q, a, q') \in T\}$$

Nous adoptons les mêmes notations qu'au chapitre I :

$$R[p] = \{q \mid (p, q) \in R\} ;$$

$$R^{-1}[q] = \{p \mid (p, q) \in R\};$$

Dans toute la suite,  $Q$  désigne un ensemble d'états ayant  $n$  éléments ; pour plus de commodité, ces éléments sont identifiés aux  $n$  premiers entiers.

Une *partition*  $\rho$  de  $Q$  est une famille  $\{E_i \mid i \in I\}$  de sous-ensembles de  $Q$  vérifiant  $\forall i, j \in I. i \neq j \Rightarrow E_i \cap E_j = \emptyset$  et  $Q = \cup \{E_i \mid i \in I\}$  ; toute partition d'un ensemble  $Q$  définit une *relation d'équivalence* sur  $Q$  et inversement ; dans toute la suite, nous employons indifféremment les termes relation d'équivalence ou partition ; un élément d'une partition est appelé *classe d'équivalence*.

Soient  $\rho$  et  $\rho'$  deux partitions de  $Q$ ,  $\rho'$  est un *raffinement* de  $\rho$ , et on note  $\rho' \subseteq \rho$  si et seulement si :  $\forall X \in \rho' \exists Y \in \rho. X \subseteq Y$

Etant donné un système de transition  $(Q, R)$  et une relation d'équivalence  $\rho = \{B_j \mid j \in J\}$ ,  $\rho$  est *compatible* avec la relation  $R$  ssi

$$\forall i, j \in J \forall x, y \in B_i. R[x] \cap B_j \neq \emptyset \text{ si et seulement si } R[y] \cap B_j \neq \emptyset$$

## 1.1. Présentation du problème

L'énoncé du problème est le suivant :

" Etant donné un système de transition  $(Q, R)$  et une relation d'équivalence  $\rho$  sur  $Q$ , trouver la relation d'équivalence  $\rho'$  la moins fine qui soit un raffinement de  $\rho$  compatible avec  $R$ ."

### Exemple 2.1:

On considère le système de transition  $(Q, R)$  où,  $Q = \{1, 2, 3, 4, 5, 6\}$  et la relation  $R$  est représentée graphiquement par la figure 1.

$$R[1] = \{2, 4\},$$

$$R[2] = \{3, 4, 5\},$$

$$R[3] = \{5, 1\},$$

$$R[4] = \{5, 6\},$$

$$R[5] = \{4, 6\},$$

$$R[6] = \emptyset.$$

Considérons les relations d'équivalence suivantes :

$$\rho_1 = \{\{1, 2, 3\}, \{4, 5\}, \{6\}\},$$

$$\rho_2 = \{\{1, 2, 3\}, \{4, 5, 6\}\};$$

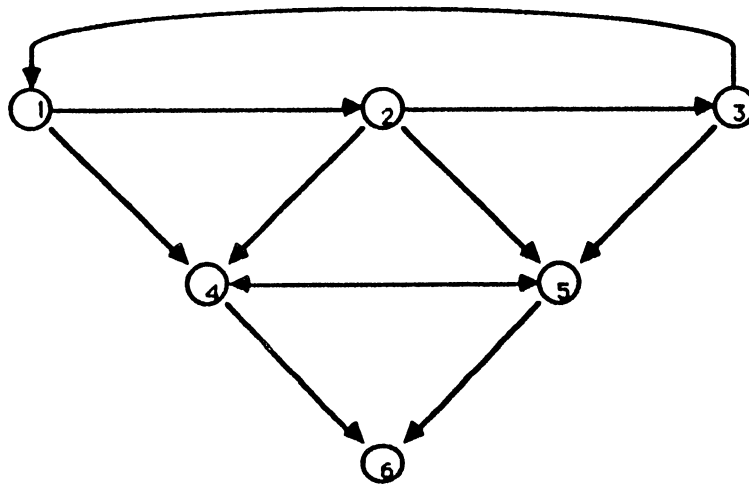


Figure 1

$\rho_1$  est compatible avec R, en effet,  
pour chaque élément p de la classe  $\{1, 2, 3\}$ ,

$$R[p] \cap \{1, 2, 3\} \neq \emptyset,$$

$$R[p] \cap \{4, 5\} \neq \emptyset \text{ et}$$

$$R[p] \cap \{6\} = \emptyset;$$

pour chaque élément p de la classe  $\{4, 5\}$ ,

$$R[p] \cap \{1, 2, 3\} = \emptyset,$$

$$R[p] \cap \{4, 5\} \neq \emptyset \text{ et}$$

$$R[p] \cap \{6\} \neq \emptyset;$$

pour chaque élément p de la classe  $\{6\}$ ,

$$R[p] \cap \{1, 2, 3\} = \emptyset,$$

$$R[p] \cap \{4, 5\} = \emptyset \text{ et}$$

$$R[p] \cap \{6\} = \emptyset.$$

$\rho_2$  n'est pas compatible avec R, en effet,

$$R[4] \cap \{4, 5, 6\} \neq \emptyset \text{ et}$$

$$R[6] \cap \{4, 5, 6\} = \emptyset;$$

$\rho_1$  est un raffinement de  $\rho_2$ , les classes  $\{4, 5\}$  et  $\{6\}$  de  $\rho_1$  sont incluses dans la classe  $\{4, 5, 6\}$  de  $\rho_2$ .

**Proposition 2.1.1. Caractérisation de la compatibilité :**

Etant donné un système de transition  $(Q, R)$  et une relation d'équivalence  $\rho$ ,  
 $\rho$  est compatible avec R si et seulement si

$$\forall B, B' \in \rho, B' \subseteq R^{-1}[B] \text{ ou } B' \cap R^{-1}[B] = \emptyset.$$

**Preuve :**

La propriété

$$\forall B, B' \in \rho, B' \subseteq R^{-1}[B] \text{ ou } B' \cap R^{-1}[B] = \emptyset$$

est logiquement équivalente à la propriété

$$\forall B, B' \in \rho, B' \cap R^{-1}[B] \neq \emptyset \Rightarrow B' \subseteq R^{-1}[B].$$

$\Rightarrow$  : Soit  $\rho$  une relation d'équivalence compatible avec  $R$ , nous avons  $\forall B, B' \in \rho$ ,

$$\begin{aligned} B' \cap R^{-1}[B] \neq \emptyset &\Rightarrow \exists p \in B', R[p] \cap B \neq \emptyset \\ &\Rightarrow \forall q \in B', R[q] \cap B \neq \emptyset \\ &\Rightarrow \forall q \in B', q \in R^{-1}[B] \neq \emptyset \\ &\Rightarrow B' \subseteq R^{-1}[B] \end{aligned}$$

$\Leftarrow$  : Réciproquement, si  $\rho$  est une relation d'équivalence vérifiant la propriété de la proposition, soient  $B, B' \in \rho$ ,  $p, q \in B'$

$$\begin{aligned} R[p] \cap B \neq \emptyset &\Rightarrow B' \cap R^{-1}[B] \neq \emptyset \\ &\Rightarrow B' \subseteq R^{-1}[B] \\ &\Rightarrow R[q] \cap B \neq \emptyset \end{aligned}$$

□

Soit  $(Q, R)$  un système de transitions, nous établissons maintenant le lien entre relation de bisimulation sur  $(Q, R)$  et relation d'équivalence sur  $Q$  compatible avec  $R$ . Pour cela, nous rappelons la définition de la bisimulation sur les systèmes de transitions étiquetées, pour l'adapter aux systèmes de transitions.

Soit  $S = (Q, A, T, q_0)$  un système de transitions étiquetées et  $\rho \subseteq Q \times Q$ ,

$\rho$  est une bisimulation si et seulement si

(i)  $(q_0, q_0) \in \rho$ ,

(ii)  $\forall (p_1, p_2) \in \rho, \forall a \in \text{Act}_\tau, \Rightarrow$

$$(\forall p_1' . p_1' \in T_a[p_1] \Rightarrow \exists p_2' . p_2' \in T_a[p_2] \text{ et } (p_1', p_2') \in \rho)$$

$$(\forall p_2' . p_2' \in T_a[p_2] \Rightarrow \exists p_1' . p_1' \in T_a[p_1] \text{ et } (p_1', p_2') \in \rho).$$

Un système de transitions n'a pas d'état initial. Nous définissons la notion de bisimulation sur les systèmes de transitions en supprimant la condition (i).

$\rho$  est une bisimulation si et seulement si

$$\forall (p_1, p_2) \in \rho \Rightarrow$$

$$(\forall p_1' . p_1' \in R[p_1] \Rightarrow \exists p_2' . p_2' \in R[p_2] \text{ et } (p_1', p_2') \in \rho)$$

$$(\forall p_2' . p_2' \in R[p_2] \Rightarrow \exists p_1' . p_1' \in R[p_1] \text{ et } (p_1', p_2') \in \rho).$$



La proposition suivante énonce que, étant donné un système de transitions  $(Q, R)$ , une relation d'équivalence  $\rho$  est une bisimulation si et seulement si elle est compatible avec  $R$ .

### Proposition 2.1.2

Soient  $(Q, R)$  un système de transition et  $\rho$  une relation d'équivalence définie sur  $Q$ ,

$\rho$  est une bisimulation si et seulement si  $\rho$  est compatible avec  $R$ .

La preuve se fait en comparant les définitions de la compatibilité et de la bisimulation.

□

La plus grande bisimulation sur  $Q$  est une relation d'équivalence, donc elle est plus petite que la relation d'équivalence la moins fine compatible avec  $R$ , raffinement de la partition universelle d'après la proposition précédente. Réciproquement, la relation d'équivalence la moins fine compatible avec  $R$  est une bisimulation, donc elle est contenue dans la plus grande bisimulation. Il revient au même de calculer la plus grande bisimulation sur  $Q$  ou la relation d'équivalence la moins fine compatible avec  $R$ , raffinement de la partition universelle.

### Exemple 2.2

Considérons le système de transitions de la figure 1. La plus grande bisimulation est  $\rho_1 = \{\{1, 2, 3\}, \{4, 5\}, \{6\}\}$ ; cette relation d'équivalence est la plus grande compatible avec  $R$  : elle est incluse dans  $\rho_2 = \{\{1, 2, 3\}, \{4, 5, 6\}\}$  qui n'est pas compatible avec  $R$  et elle est incluse dans la relation universelle qui n'est pas compatible avec  $R$ .

## 1.2 Existence et unicité de la solution

Etant donné un système de transitions  $(Q, R)$  et une relation d'équivalence initiale  $\rho_0$ , l'existence et l'unicité de la solution proviennent du fait que l'ensemble des relations d'équivalence sur  $Q$ , muni de la relation d'ordre  $\subseteq$ , forme un treillis complet. Nous allons calculer le plus grand point fixe d'un opérateur  $\Phi$  défini sur l'ensemble des relations d'équivalence sur  $Q$ , qui, étant donné une relation d'équivalence  $\rho$ , décompose chaque classe  $B'$  de  $\rho$  en utilisant une classe  $B$ . Cet opérateur  $\Phi$  est défini à partir d'un opérateur  $\Phi'$ .

### Définition 2.1.2 de l'opérateur $\Phi'$

Soient  $\rho$  une relation d'équivalence sur  $Q$  et  $B$  un sous-ensemble de  $Q$ .  
 $\Phi'(\rho, B) = \{ B' \cap R^{-1}[B] \mid B' \in \rho \} \cup \{ B' - R^{-1}[B] \mid B' \in \rho \}$ .

L'opérateur  $\Phi'$  vérifie les propriétés suivantes :

### Propriété de l'opérateur $\Phi'$

Soient  $B, B_1$  et  $B_2$  des sous-ensembles de  $Q$  et soient  $\rho, \rho_1$  et  $\rho_2$  trois partitions de  $Q$ .

(i)  $\Phi'(\rho, B)$  est une partition.

(ii) *monotonie* :  $\rho_1 \subseteq \rho_2 \Rightarrow \Phi'(\rho_1, B) \subseteq \Phi'(\rho_2, B)$ ,

(iii)  $\Phi'(\rho, B) \subseteq \rho$ ,

(iv)  $\Phi'(\Phi'(\rho, B_1), B_2) = \Phi'(\Phi'(\rho, B_2), B_1)$ ,

(v)  $\Phi'(\Phi'(\rho, B_1), B_2) \subseteq \Phi'(\rho, B_1 \cup B_2)$ ,

(vi)  $\forall B' \in \Phi'(\rho, B), B' \cap R^{-1}[B] = \emptyset$  ou  $B' \subseteq R^{-1}[B]$ ,

(vii) Si  $B = B_1 \cup B_2$  alors  $\Phi'(\Phi'(\Phi'(\rho, B), B_1), B_2) = \Phi'(\Phi'(\rho, B_1), B_2)$ .

Nous déduisons de la propriété (iv) que, quel que soit l'ordre dans lequel s'effectue la décomposition de la partition, le résultat est le même. Nous définissons l'opérateur  $\Phi$  en tenant compte de cette propriété.

### Définition 2.1.3 de l'opérateur $\Phi$

Soit  $\rho = \{B_i \mid 1 \leq i \leq n\}$  une partition de  $Q$ .

$\Phi(\rho) = \Phi'(\Phi'(\dots \Phi'(\Phi'(\rho, B_1), B_2), \dots), B_n)$ .

### Propriété de l'opérateur $\Phi$

Soit  $B$  un sous-ensemble de  $Q$  et soient  $\rho$ ,  $\rho_1$  et  $\rho_2$  trois partitions de  $Q$ . Les propriétés suivantes se déduisent des propriétés de l'opérateur  $\Phi$ .

- (i)  $\Phi(\rho)$  est une partition.
- (ii) *monotonie* :  $\rho_1 \subseteq \rho_2 \Rightarrow \Phi(\rho_1) \subseteq \Phi(\rho_2)$ ,
- (iii)  $\Phi(\rho) \subseteq \rho$ ,
- (iv)  $\forall B' \in \Phi(\rho) \forall B \in \rho, B' \cap R^{-1}[B] \neq \emptyset$  ou  $B' \subseteq R^{-1}[B]$ .

Soient  $(Q, R)$  un système de transitions et  $\rho$  une relation d'équivalence sur  $Q$ .  $\rho$  est compatible avec  $R$  si et seulement si  $\rho$  est un point fixe de  $\Phi$ . L'opérateur  $\Phi$  est monotone sur l'ensemble des relations d'équivalence sur  $Q$  ; la relation d'équivalence la moins fine compatible avec  $\rho_0$  est obtenue en calculant la limite de la suite :

$$\rho_{r+1} = \Phi(\rho_r).$$

Soient  $(Q, R)$  un système de transitions et  $\rho$  une relation d'équivalence sur  $Q$  ; nous présentons deux algorithmes pour calculer le plus grand point fixe de l'opérateur  $\Phi$ .

La première solution montre le processus de raffinement de la relation d'équivalence  $\rho$  pour la rendre compatible avec la relation de transition  $R$  : étant donné une classe d'équivalence  $B$ , on produit un raffinement de la partition courante en décomposant chaque élément de la partition suivant l'inverse de la classe  $B$  par la relation  $R$ . La complexité de cet algorithme est la suivante : la taille mémoire est proportionnelle à  $m$ , le cardinal de la relation, et le temps d'exécution est proportionnel à  $m n$ ,  $n$  étant le cardinal de l'ensemble des états. Le deuxième algorithme que nous présentons est une extension du premier ; la taille mémoire est proportionnelle à  $m$  et le temps d'exécution est proportionnel à  $m \log n$ .

### 1.3 Solution 1 : un algorithme en $O(m n)$

Nous définissons un opérateur  $\Phi''$ , pour calculer la suite  $(\rho_r)$  en un temps proportionnel à  $m n$ . La propriété (vii) fait apparaître que si  $B_j$  décompose  $B_j$  en  $B_{j1}$  et  $B_{j2}$  au pas  $r$ , alors il n'est pas nécessaire de décomposer les éléments de  $\rho_r$

suisant  $B_j$  : en effet, les éléments de  $\rho_{r+1}$  sont décomposés suisant  $B_{j1}$  et suisant  $B_{j2}$ .

Nous considérons deux sortes de classes : celles qui sont décomposées et celles qui seruent à décomposer. Nous appelons *partitionneur* une classe qui sert à décomposer et nous notons  $W$  l'ensemble des partitionneurs. La décomposition d'une classe  $B'$  suisant un partitionneur  $B$  est *effective* si et seulement si

$$B' \not\subseteq R^{-1}[B] \text{ et } B' \cap R^{-1}[B] \neq \emptyset.$$

Nous notons  $eff(B, B')$  cette propriété. Dans la suite, si la décomposition de  $B'$  suisant  $B$  est effective, nous notons :

$$X_1 = B' \cap R^{-1}[B] \text{ et}$$

$$X_2 = B' - X_1.$$

L'opérateur  $\Phi''$  est défini de la manière suisante :

$$(\rho', W') = \Phi''(\rho, W, B) \text{ où :}$$

$$\rho' = \Phi'(\rho, B) \text{ et}$$

$$W' = \{ B' \cap R^{-1}[B] \mid B' \in W \} \cup \{ B' - R^{-1}[B] \mid B' \in W \} \cup \\ \{ B' \cap R^{-1}[B] \mid B' \in \rho \text{ et } B' \notin W \text{ et } eff(B, B') \} \cup \\ \{ B' - R^{-1}[B] \mid B' \in \rho \text{ et } B' \notin W \text{ et } eff(B, B') \} - \{ B \}.$$

Nous définissons une suite  $(\rho_r, W_r)$  :

$$W_0 = \rho_0,$$

...

$$(\rho_{r+1}, W_{r+1}) = \Phi''(\rho_r, W_r, B), \text{ pour } B \in W_r.$$

Le principe de l'algorithme de calcul de  $\Phi''$  est le suisant : calcul de la limite de la suite  $(\rho_r, W_r)$  par itérations. La condition d'arrêt est  $W_r = \emptyset$ , elle exprime que  $\rho_r$  vérifie la propriété de compatibilité avec  $R$  (proposition 2.1.1). Soit  $B$  le partitionneur ayant servi au raffinement de  $\rho_r$ . Remarquons que :

- la propriété suisante est vérifiée :

$$\forall B' \in \rho_{r+1}, B' \subseteq R^{-1}[B] \text{ ou } B' \cap R^{-1}[B] = \emptyset ;$$

de plus, tout raffinement ultérieur  $\rho_k$ ,  $k > r$ , de la partition  $\rho_r$ , vérifie encore cette propriété. Cette dernière propriété permet de supprimer de  $W_r$  le partitionneur  $B$  ayant servi au raffinement de  $\rho_r$  :  $B \notin W_{r+1}$ .

- Soit  $B' \in \rho_r$  ; nous pouvons distinguer trois cas :

1) si  $B' \in W_r$  et si  $B'$  a été décomposée par  $B$  en

$$X_1 = B' \cap R^{-1}[B] \text{ et}$$

$$X_2 = B' - X_1,$$

alors  $X_1, X_2 \in \rho_{r+1}$ , et  $X_1, X_2 \in W_{r+1}$  ;

2) si  $B' \notin W_r$  et si  $B'$  a été décomposée par  $B$  en

$$X_1 = B' \cap R^{-1} [B] \text{ et}$$

$$X_2 = B' - X_1,$$

alors  $X_1, X_2 \in \rho_{r+1}$ , et  $X_1, X_2 \in W_{r+1}$  ;

3) si  $B'$  n'a pas été décomposée par  $B$ , alors  $B' \in \rho_{r+1}$  ; de plus, si  $B' \in W_r$  alors  $B' \in W_{r+1}$ .

### 1.3.1 Algorithme 1

---

Soient,  $(Q, R)$  un système de transitions,

$\rho = \{B_i \mid B_i \subseteq Q, i \in [0, \dots, k - 1]\}$ , la relation d'équivalence initiale sur  $Q$ ,

$n = |Q|$ ,

$m = |R|$ ,

$W$  l'ensemble des partitionneurs,

interprète l'ensemble des couples  $(B', X_1)$  pour lesquels la décomposition suivante est *effective* :

$$X_1 = B' \cap R^{-1} [B]$$

$$X_2 = B' - X_1.$$

1.  $W = \rho$  ;
  2. **tant-que**  $W \neq \emptyset$
  3.     choisir (arbitrairement) et supprimer  $B$  dans  $W$  ;
  4.     calculer l'ensemble *interprète* =  
        $\{(B', X_1) \mid \text{eff}(B, B') B' \in \rho \text{ et } X_1 = B' \cap R^{-1} [B]\}$
  5.     **pour tout**  $(B', X_1) \in \text{interprète}$
  6.          $X_2 \leftarrow B' - X_1$  ;
  7.         remplacer  $B'$  par  $X_1$  et  $X_2$  dans  $\rho$  ;
  8.         **si**  $B' \in W$
  9.             **alors** remplacer  $B'$  par  $X_1$  et  $X_2$  dans  $W$  ;
  10.         **sinon** ajouter  $X_1$  et  $X_2$  dans  $W$  ;
  - fsi**
  - fin\_pour**
  - fin\_tant-que**
  - fin**
-

**Exemple 2.3**

Nous calculons par cet algorithme la plus grande bisimulation pour le système de transitions défini à la figure 2. Nous donnons les pas de calcul de l'exécution de l'algorithme 1 .

Tout d'abord, rappelons la définition de la relation inverse :

$$R^{-1} [1] = \{3\},$$

$$R^{-1} [2] = \{1\},$$

$$R^{-1} [3] = \{1, 2\},$$

$$R^{-1} [4] = \{1, 2\},$$

$$R^{-1} [5] = \{2, 3, 4\},$$

$$R^{-1} [6] = \{4, 5\}.$$

Nous désignons respectivement par  $\rho_r$  et  $W_r$  la partition courante et l'ensemble des partitionneurs au pas  $r$ .

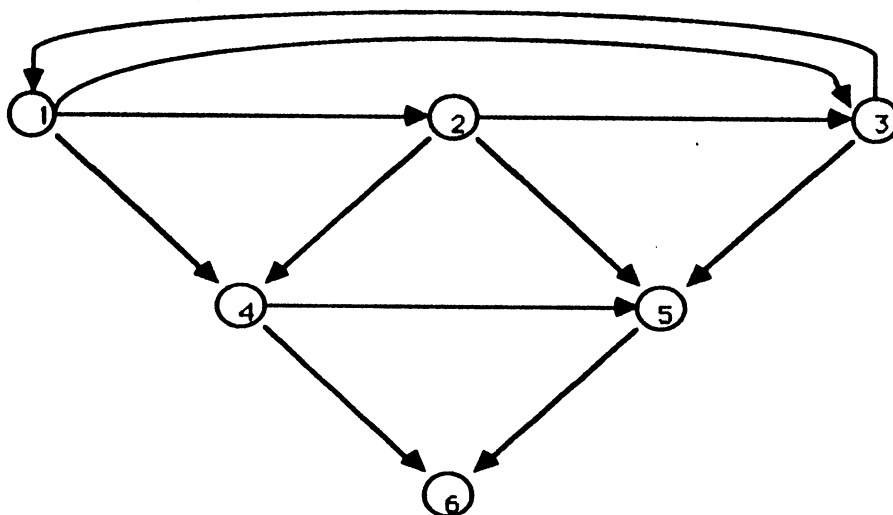


figure 2

Initialement

$$B_0 = \{1, 2, 3, 4, 5, 6\}$$

$$\rho_0 = \{B_0\}$$

$$W_0 = \{B_0\}$$

pas 1 :

-la décomposition est faite suivant  $B_0$

$R^{-1} [B_0] = \{1, 2, 3, 4, 5\}$ ,  $B_0$  est décomposée en  $B_1$  et  $B_2$

-  $B_1 = \{1, 2, 3, 4, 5\}$

-  $B_2 = \{6\}$

$$\rho_1 = \{B_1, B_2\}$$

$$W_1 = \{B_1, B_2\}$$

pas 2 :

-la décomposition est faite suivant  $B_1$  ;  $\rho$  reste inchangée :

$$R^{-1} [B_1] = \{1, 2, 3, 4, 5\}$$

$$- B_1 = \{1, 2, 3, 4, 5\}$$

$$- B_2 = \{6\}$$

$$\rho_2 = \{B_1, B_2\}$$

$$W_2 = \{B_2\}$$

remarquons que la partition courante n'a pas été décomposée par  $B_1$  et que  $B_1$  est supprimée de  $W_2$ .

pas 3 :

-la décomposition est faite suivant  $B_2$

$$R^{-1} [B_2] = \{4, 5\}, B_1 \text{ est décomposée en } B_3 \text{ et } B_4$$

$$- B_3 = \{4, 5\}$$

$$- B_2 = \{6\}$$

$$- B_4 = \{1, 2, 3\}$$

$$\rho_3 = \{B_2, B_3, B_4\}$$

$$W_3 = \{B_3, B_4\}$$

pas 4 :

-la décomposition est faite suivant  $B_3$

$$R^{-1} [B_3] = \{1, 2, 3, 4\}, B_3 \text{ est décomposée en } B_5 \text{ et } B_6$$

$$- B_2 = \{6\}$$

$$- B_4 = \{1, 2, 3\}$$

$$- B_5 = \{4\}$$

$$- B_6 = \{5\}$$

$$\rho_4 = \{B_2, B_4, B_5, B_6\}$$

$$W_4 = \{B_4, B_5, B_6\}$$

pas 5 :

-la décomposition est faite suivant  $B_4$  ;  $\rho$  reste inchangée :

$$R^{-1} [B_4] = \{1, 2, 3\}$$

$$\rho_5 = \{B_2, B_4, B_5, B_6\}$$

$$W_5 = \{B_5, B_6\}$$

**pas 6 :**

- la décomposition est faite suivant  $B_5$

$R^{-1}[B_5] = \{1, 2\}$ ,  $B_4$  est décomposée en  $B_7$  et  $B_8$

-  $B_2 = \{6\}$

-  $B_5 = \{4\}$

-  $B_6 = \{5\}$

-  $B_7 = \{1, 2\}$

-  $B_8 = \{3\}$

$\rho_6 = \{B_2, B_5, B_6, B_7, B_8\}$

$W_6 = \{B_6, B_7, B_8\}$

**pas 7 :**

- la décomposition est faite suivant  $B_6$

$R^{-1}[B_6] = \{2, 3, 4\}$ ,  $B_7$  est décomposée en  $B_9$  et  $B_{10}$

-  $B_2 = \{6\}$

-  $B_5 = \{4\}$

-  $B_6 = \{5\}$

-  $B_8 = \{3\}$

-  $B_9 = \{1\}$

-  $B_{10} = \{2\}$

$\rho_6 = \{B_2, B_5, B_6, B_8, B_9, B_{10}\}$

$W_6 = \{B_8, B_9, B_{10}\}$  ( $B_7$  est remplacée dans  $W$  par  $B_9$  et  $B_{10}$ ).

Aux pas 8, 9 et 10, la décomposition est faite respectivement suivant  $B_8$ ,  $B_9$  et  $B_{10}$ ; nous constatons que :

-  $\rho_6$ ,  $\rho_7$ ,  $\rho_8$ ,  $\rho_9$  et  $\rho_{10}$  sont identiques ;

-  $W_7 = \{B_9, B_{10}\}$ ,  $W_8 = \{B_{10}\}$  et  $W_9 = \emptyset$ .

Nous obtenons le même résultat quel que soit l'ordre dans lequel sont choisis les éléments de  $W$ .

Nous présentons la preuve de l'algorithme, une réalisation de l'algorithme et enfin l'évaluation de cette réalisation.

**1.3.2 Correction**

L'itération se termine : la condition de terminaison  $W = \emptyset$  est vérifiée après un nombre fini d'exécutions du corps de l'itération. En effet, à chaque pas,



l'élément partitionneur est supprimé de  $W$  (ligne 3) et les classes rajoutées (ligne 10 ou 11), proviennent de la décomposition stricte d'une classe en deux sous-classes. Une classe a au plus  $n$  éléments, elle est au plus décomposée  $n$  fois.

Nous définissons la notion de *compatibilité* d'une relation d'équivalence avec la relation de transitions pour un sous-ensemble d'états  $X$  de  $Q$  :

Etant donné un système de transitions  $(Q, R)$ , une relation d'équivalence  $\rho$  est *compatible* avec  $R$  pour  $X$  si et seulement si :

$$\forall B \in \rho, B \subseteq R^{-1}(X) \text{ ou } B \cap R^{-1}(X) = \emptyset$$

L'invariant de l'itération est la condition suivante (cf. proposition 2.1.5) :  
 " $W \subseteq \rho$  et  $\rho$  est compatible pour chaque élément de  $\rho$  n'appartenant pas à  $W$ ".

La correction partielle de l'algorithme revient à montrer la propriété suivante : si l'algorithme se termine, la partition obtenue  $\rho_r$  est compatible avec la relation de transition pour chacun des éléments de  $\rho_r$ .

Cette correction partielle est établie par la proposition 2.1.6.

#### Proposition 2.1.4.

Soient  $(Q, R)$  un système de transitions et  $\rho$  une relation d'équivalence sur  $Q$ . Désignons par  $\rho_r$  la relation obtenue après  $r$  pas d'itération. Si  $\rho_r$  est compatible avec  $R$  pour  $X$ , alors  $\rho_{r+1}$  est compatible avec  $R$  pour  $X$ .

**preuve :**

La preuve découle de la décomposition de  $B'$  en deux sous-classes  $X_1$  et  $X_2$  aux lignes 4 et 6 de l'algorithme, en remarquant que toute classe de  $\rho_{r+1}$  est incluse dans une classe de  $\rho_r$ .

□

#### Proposition 2.1.5

Soit  $\rho_r$  et  $W_r$  désignant respectivement la partition obtenue et l'ensemble des partitionneurs obtenu après  $r$  pas d'itération.

$$B \in \rho_r \text{ et } B \notin W_r \Rightarrow \forall B' \in \rho_r, B' \subseteq R^{-1}[B] \text{ ou } B' \cap R^{-1}[B] = \emptyset$$

**Preuve :**

La preuve se fait par induction sur  $r$ , le nombre de pas de l'itération :

- soit  $r = 0$ , la propriété est vérifiée, tous les éléments de  $\rho_0$  étant dans  $W_0$ ,
- soit  $r > 0$ , remarquons que la propriété suivante est vérifiée :

$$B \in \rho_r \text{ et } B \notin W_r \Rightarrow B \in \rho_{r-1}.$$

En effet, supposons qu'il existe  $B$  vérifiant :  $B \in \rho_r$  et  $B \notin W_r$  et  $B \notin \rho_{r-1}$  ; dans ce cas,  $B$  est issue de la décomposition d'une classe de  $\rho_{r-1}$  et  $B \notin \rho_r$ , ce qui contredit l'hypothèse  $B \in \rho_r$ .

Soit  $B \in \rho_r$  et  $B \notin W_r$  après le  $r$ -ième pas, nous avons deux cas possibles :

cas 1  $B \in W_{r-1}$  avant le  $r$ -ième pas, alors  $B$  est le partitionneur au  $r$ -ième pas, et

$$\forall B' \in \rho_r . B' \subseteq R^{-1} [B] \text{ ou } B' \cap R^{-1} [B] = \emptyset ;$$

cas 2  $B \notin W_{r-1}$  avant le  $r$ -ième pas, alors par hypothèse d'induction,

$$\forall B' \in \rho_{r-1} . B' \subseteq R^{-1} [B] \text{ ou } B' \cap R^{-1} [B] = \emptyset ;$$

de plus, chaque classe  $B''$  de  $\rho_r$  est incluse dans une classe  $B'$  de  $\rho_{r-1}$  ;

d'où :

$$B' \subseteq R^{-1} [B] \Rightarrow B'' \subseteq R^{-1} [B] \text{ et}$$

$$B' \cap R^{-1} [B] = \emptyset \Rightarrow B'' \cap R^{-1} [B] = \emptyset ; \text{ on déduit :}$$

$$\forall B'' \in \rho_r . B'' \subseteq R^{-1} [B] \text{ ou } B'' \cap R^{-1} [B] = \emptyset.$$

□

### Proposition 2.1.6

$$W_r = \emptyset \Rightarrow \forall B, B' \in \rho_r . B' \subseteq R^{-1} [B] \text{ ou } B' \cap R^{-1} [B] = \emptyset.$$

**Preuve :** La preuve est une conséquence de la proposition 2.1.5

□

### 1.3.3 Réalisation de l'algorithme.

Nous présentons dans ce paragraphe les structures de données choisies pour respecter les contraintes que nous nous sommes fixées :

- complexité en temps de l'algorithme :  $m n$ ,
- complexité en espace mémoire :  $m$ .

Ces contraintes nous ont conduits à choisir des structures de données de telle sorte que l'exécution d'un pas de l'itération soit proportionnel à  $|R^{-1} [B]|$  où  $B$  est le partitionneur choisi (ligne 2).

1) Un état est représenté par un entier.

2) Chaque classe  $B_i$  est représentée par une *liste d'entiers*. Nous considérons les deux primitives suivantes de manipulation de liste : *élément* et *suivant*, qui étant donné une liste  $l$ , retournent respectivement le premier élément et le reste de la liste  $l$ . Par convention,  $\emptyset$  désigne la liste vide. Pour déterminer si la décomposition d'une classe est effective (ligne 4) en un temps constant, à chaque classe est associé son cardinal. Nous utilisons un tableau *bloc*  $[0 .. n - 1]$  pour représenter les classes : le  $i$ -ième élément désigne un couple  $(c', B')$  où  $c'$  est le cardinal de la classe  $B'$ . Ce tableau est initialisé avec la partition initiale.

3) Nous utilisons un tableau *prédécesseur*  $[0 .. n - 1]$  dont le  $p$ -ième élément désigne le prédécesseur de l'état  $p$  dans la classe de  $p$ . Ceci permet le transfert de chaque élément de  $B'$  vers  $X_2$  (ligne 6), en un temps constant. Ce tableau est mis à jour pendant le calcul de *interpréd*.

4) A chaque état nous associons la classe qui le contient : c'est l'indice dans le tableau *bloc* de la liste contenant cet état, ce qui permet de calculer *interpréd* à la ligne 4 en un temps proportionnel à  $|R^{-1}[B]|$  ; nous considérons un tableau *inclasse*  $[0 .. n - 1]$ , dont le  $p$ -ième élément désigne l'indice de la classe contenant  $p$ .

5) Pour calculer *interpréd* (ligne 4) en un temps proportionnel à  $|R^{-1}[B]|$ , nous utilisons les structures suivantes :

- *premier*, l'indice de la première classe élément de *interpréd*,

- *interpréd<sub>0</sub>*  $[0 .. n - 1]$ , un tableau dont le  $j$ -ième élément est soit une valeur appartenant à l'intervalle  $[0, n - 1]$ , soit une valeur n'appartenant pas à cet intervalle et notée par convention *null*. Si la valeur appartient à cet intervalle alors elle désigne un élément de *interpréd*. Initialement, *premier* = *null* et *interpréd<sub>0</sub>*  $[j] = null$  pour tout  $j$ .

- *interpréd<sub>1</sub>*  $[0 .. n - 1]$ , un tableau dont le  $j$ -ième élément désigne un couple  $(c', X')$  où  $c' = |X'|$ . Initialement, *interpréd<sub>1</sub>*  $[j] = (0, \emptyset)$  pour tout  $j$ . Soit  $B$  le partitionneur de la partition courante. A la fin du calcul de *interpréd*, *interpréd<sub>1</sub>*  $[j] = (c', X')$  où  $X' = B' \cap R^{-1}[B]$ .

Pour chaque état de  $R^{-1}[B]$ , le temps nécessaire à la mise à jour de *interpréd* est constant (cf. procédure *maj\_interpred*, ci-dessous).

6) La substitution de la ligne 7 est réalisée comme suit :

- création d'une nouvelle classe d'indice *nb\_classe* contenant  $(|X_1|, X_1)$ ,
- *bloc*  $[j] = (|X_2|, X_2)$  par construction.

L'entier  $nb\_classe$  désigne le cardinal de la partition courante.

7) L'ensemble des partitionneurs  $W$  est représenté par une liste d'entiers. Un entier de cette liste désigne un indice du tableau  $bloc$ .

8) Pour effectuer le test de la ligne 8, nous considérons un tableau  $in\_W$   $[0 .. n - 1]$ , dont le  $j$ -ième élément vaut 1 si  $j$  est dans  $W$ , 0 sinon. La substitution (ligne 9) consiste alors à insérer l'indice  $nb\_classe$  dans  $W$ .

9) La relation de transition est représentée par son inverse : c'est un tableau  $R^{-1}$   $[0 .. n - 1]$ , dont le  $p$ -ième élément désigne  $R^{-1}$   $[p]$ .

Nous proposons une réalisation de l'algorithme 1. Nous conservons sa numérotation pour montrer comment ont été réalisées ses différentes actions.

Soient  $nb\_classe$   $i, j$  et  $premier$  des entiers,

$bloc$   $[0 .. n - 1]$  un tableau de couples  $(c', B')$  où  $c'$  est un entier,  $B$  une liste d'entiers et  $c' = |B'|$ ,

$W$  l'ensemble des partitionneurs,

$interpret_0$   $[0 .. n - 1]$  un tableau d'entiers,

$interpret_1$   $[0 .. n - 1]$  un tableau de couples  $(x, X)$  où  $x$  est un entier,  $X$  une liste d'entiers et  $x = |X|$ ,

$prédécesseur$   $[0 .. n - 1]$  un tableau d'entiers,

$inclasse$   $[0 .. n - 1]$  un tableau d'entiers,

$in\_W$   $[0 .. n - 1]$  un tableau d'entiers.

1. initialisations ;
  2. **tant-que**  $W \neq \emptyset$
  3.      $i \leftarrow \text{élément}(W)$  ;  $W \leftarrow \text{suivant}(W)$  ;  $(c, B) \leftarrow bloc[i]$  ;
  4.     calcul\_interpred  $(B)$  ;
  5.      $j \leftarrow interpret_0[premier]$  ;  $interpret_0[premier] \leftarrow null$  ;  
        **tant-que**  $j \neq premier$   
            décomposer\_majw  $(j)$  ;  
             $j \leftarrow interpret_0[j]$  ;  $interpret_0[j] \leftarrow null$  ;  
        **fin\_tant-que**  
        décomposer\_majw  $(premier)$   
    **fin\_tant-que**
- fin**

**procédure calcul\_interpred (B)**

Soit,

pre la liste d'entiers désignant l'ensemble des prédécesseurs du partitionneur.

**tant-que**  $B \neq \emptyset$

$p \leftarrow \text{élément}(B)$  ;  $B \leftarrow \text{suivant}(B)$  ;  $\text{pre} \leftarrow R^{-1}[p]$  ;

**tant-que**  $\text{pre} \neq \emptyset$

$q \leftarrow \text{élément}(\text{pre})$  ;  $\text{pre} \leftarrow \text{suivant}(\text{pre})$  ;

$\text{maj\_interpred}(q)$  ;

**fin\_tant-que**

**fin\_tant-que**

**fin\_procedure**

**procédure maj\_interpred (q)**

Soient,

$x, j, c$  des entiers,

$X$  une liste d'entiers.

$j \leftarrow \text{inclasse}[q]$  ;

**si**  $\text{interpred}_0[j] = \text{null}$

**alors si**  $\text{premier} = \text{null}$

**alors**

$\text{premier} \leftarrow j$  ;  $\text{interpred}_0[j] \leftarrow j$

**sinon**

$\text{interpred}_0[j] \leftarrow \text{interpred}_0[\text{premier}]$  ;

$\text{interpred}_0[\text{premier}] \leftarrow j$  ;

**fsi**

$X \leftarrow \text{insérer}(q, \emptyset)$  ;  $\text{interpred}_1[j] \leftarrow (1, X)$  ;

**sinon**

$(c, X) \leftarrow \text{interpred}_1[j]$  ;

$X \leftarrow \text{insérer}(q, X)$  ;  $\text{interpred}_1[j] \leftarrow (c+1, X)$  ;

**fsi**

**fin\_procedure**

**fonction insérer (q, X)**

Soit e une liste d'entiers.

```

e ← suivant (prédécesseur[q]) ;
suivant (prédécesseur [q]) ← suivant (e) ;
prédécesseur [élément (suivant (e))] ← prédécesseur [q] ;
si X = ∅
alors suivant (e) ← e ; prédécesseur [q] ← e ;
sinon suivant (e) ← suivant (X) ;
    prédécesseur [élément (suivant (X))] ← e ;
    suivant (X) ← e ; prédécesseur [q] ← X
fsi
retourner (e)

```

**fin\_fonction**

**procédure décomposer\_majw (j)**

Soient, x, c' des entiers,

X, B' une liste d'entiers.

si c = x -- la décomposition n'est pas effective

alors bloc [j] ←  $\text{interpréd}_1 [j]$  ;  $\text{interpréd}_1 [j] \leftarrow (0, \emptyset)$

sinon (x, X) ←  $\text{interpréd}_1 [j]$  ;

6. (c', B') ← bloc [j] ;
  7. nb\_classe ← nb\_classe + 1 ;  
 bloc [nb\_classe] ←  $\text{interpréd}_1 [j]$  ;  $\text{interpréd}_1 [j] \leftarrow (0, \emptyset)$  ;  
 bloc [j] ← (c' - x, B') ; maj\_classe (nb\_classe) ;
  8. si in\_W [j] = 1
  9. alors insérer\_W (nb\_classe) ;
  10. sinon insérer\_W (nb\_classe) ; insérer\_W (j) ;
- fsi

**fin\_procédure**

**procédure insérer\_W (j)**

Soit l une liste d'entiers.

l ← *allouer\_liste* (1) ; -- alloue un élément de type liste d'entiers

élément (l) ← j ; suivant (l) ← W ; W ← l ;

**fin\_procédure**

**procédure** maj\_classe (nb\_classe)

Soient  $B'$ ,  $B''$  deux listes d'entiers,

$x'$  un entier.

$(x', B') \leftarrow \text{bloc} [\text{nb\_classe}] ; B'' \leftarrow B' ;$

inclasse [élément ( $B'$ )]  $\leftarrow$  nb\_classe ;

$B' \leftarrow$  suivant ( $B'$ ) ;

**tant-que**  $B' \neq B''$

    inclasse [élément ( $B'$ )]  $\leftarrow$  nb\_classe ;

$B' \leftarrow$  suivant ( $B'$ ) ;

**fin\_tant-que**

**fin\_procedure**

---

### 1.3.4 Evaluation de l'algorithme

#### **Evaluation de la taille mémoire nécessaire pour exécuter l'algorithme 1.**

La taille mémoire nécessaire à l'exécution de cet algorithme est proportionnelle à  $m$ . En effet, outre la représentation de la relation, nous utilisons les tableaux de dimension  $n$  : *classe*, *inclasse*, *in\_W*, *bloc*, *interpret<sub>0</sub>* et *interpret<sub>1</sub>*. La somme des tailles des classes de la partition courante est égale à  $n$ . La liste  $W$  a au plus  $n$  éléments.

#### **Evaluation du temps nécessaire pour exécuter l'algorithme 1**

Avant d'évaluer le temps nécessaire à l'exécution de l'algorithme nous montrons les deux propositions suivantes :

##### **Proposition 2.1.7**

Le corps de l'itération est exécuté en un temps proportionnel à  $|R^{-1}[B]|$ , où  $B$  est le partitionneur servant à décomposer la partition.

##### **Principe de démonstration :**

Nous évaluons le temps nécessaire à l'exécution de la procédure *calcul\_interpred* et à l'exécution de l'itération (ligne 5).

1) *Temps d'exécution de la procédure calcul\_interpred*

Le temps nécessaire à l'exécution de la procédure maj\_interpred est constant quelle que soit la valeur du paramètre  $q$ . Ceci provient du fait que le temps nécessaire à l'exécution de la procédure insérer est constant : les instructions de cette procédure sont des instructions d'affectation (6 au plus) et une instruction de comparaison. L'évaluation du coût de la procédure calcul\_interpred consiste à dénombrer les appels de la procédure maj\_interpred et les affectations pour chaque élément de l'ensemble  $R^{-1}[B]$ .

2) *Temps d'exécution de l'itération (ligne 5)*

Soient  $B_j$  la suite de bloc  $[j]$ ,  $X_j$  la suite de  $\text{interpred}_1[j]$  et  $\text{interpred}$  l'ensemble des indices  $j$  vérifiant  $\text{interpred}_0[j] \neq \text{null}$ . Le temps nécessaire à l'exécution de la procédure décomposer\_majw est proportionnel au temps nécessaire à l'exécution de la procédure maj\_classe. Celui-ci dépend de  $j$ , puisque l'exécution de la procédure maj\_classe consiste, pour chaque élément  $q$  de  $X_j$ , à mettre à jour *inclasse*  $[q]$ . Le temps nécessaire à l'exécution de la procédure décomposer\_majw est proportionnel à  $|X_j|$ . Le temps nécessaire à l'exécution de l'itération (ligne 5) est proportionnel à  $\sum_{j \in \text{interpred}} |X_j|$ . La famille d'ensemble  $(X_j)_{j \in \text{interpred}}$  est une partition de l'ensemble  $R^{-1}[B]$ . On en déduit que  $\sum_{j \in \text{interpred}} |X_j| = |R^{-1}[B]|$ .

□

**Proposition 2.1.8**

Le temps total d'exécution de l'itération est proportionnel à

$$\sum_{q \in Q} |R^{-1}[q]| * \text{nb}_w(q)$$

où :  $\text{nb}_w(q)$  est le nombre de fois où l'état  $q$  appartient à une classe insérée dans  $W$ .

**Preuve :**

- la partie initialisation est exécutée en un temps proportionnel à  $n \leq m$ .
- la partie **tant-que** (ligne 2) est exécutée en un temps proportionnel à  $|R^{-1}[B]|$  (proposition 2.1.7), où  $B$  est le partitionneur. On en déduit que toutes les opérations sont effectuées relativement aux éléments de  $R^{-1}[q]$ , chaque fois qu'un état  $q$  est élément de  $B$ .

□



**Proposition 2.1.9**

$$\text{nb}_w(p) \leq n$$

**Preuve**

Soit  $p$  un état de  $Q$ . Initialement,  $p$  appartient à un élément de  $W$  dont la taille est inférieure ou égale à  $n$ . Lorsque cet élément de  $W$  est sélectionné pour raffiner la partition courante, il est extrait de  $W$  (ligne 3). Si la classe contenant  $p$  est insérée dans  $W$  (ligne 9 ou 10), sa taille est strictement inférieure à la taille de la classe qui contenait précédemment  $p$ . Il y a au plus  $n$  classes contenant  $p$  et insérées dans  $W$ .

□

Des propositions 2.1.7. et 2.1.8., et du fait que  $\sum_{q \in Q} |R^{-1}[q]| = m$ , on déduit que le temps total d'exécution de l'algorithme 1 est proportionnel à  $m n$ .

**1.4 Solution 2 : un algorithme en  $O(m \log n)$** 

L'objet de ce paragraphe est de modifier l'opérateur  $\Phi$  et l'algorithme précédent de telle sorte que le temps d'exécution soit de l'ordre de  $m \log n$ . Pour cela, il suffit de majorer la fonction  $\text{nb}_w(p)$  définie à la proposition 2.1.8 par  $\log n$ , pour tout état  $p$ . L'idée est de procéder de manière analogue au cas où  $R$  est une fonction [AHU74] : après décomposition d'une classe n'appartenant pas à  $W$  en deux sous-classes, il suffit de rajouter dans  $W$  (ligne 10, algorithme 1) la plus petite des deux sous-classes. Malheureusement, lorsque  $R$  est une relation quelconque, on ne peut pas procéder de la sorte, comme le montre l'exemple 2.4 ci-dessous. Nous montrons qu'il n'est pas possible de remplacer dans l'algorithme 1, la ligne 10 par :

"sinon soit  $X$  la plus petite des classes  $X_1$  et  $X_2$ , ajouter  $X$  dans  $W$ ".

**Exemple 2.4**

Reprenons le système de transitions de l'exemple 2.3, en appliquant l'algorithme 1 modifié : lorsqu'une classe n'appartenant pas à  $W$  est décomposée, on ajoute la plus petite des deux sous-classes dans  $W$ . Nous obtenons :

pas 1 :

-la décomposition est faite suivant  $B_0$

$B_0$  est décomposée en  $B_1$  et  $B_2$

$$- B_1 = \{1, 2, 3, 4, 5\}$$

$$- B_2 = \{6\}$$

$$\rho_1 = \{B_1, B_2\}$$

$$W_1 = \{B_2\}$$

pas 2 :

-la décomposition est faite suivant  $B_2$

$B_1$  est décomposée en  $B_3$  et  $B_4$

$$- B_3 = \{4, 5\}$$

$$- B_4 = \{1, 2, 3\}$$

$$\rho_2 = \{B_2, B_3, B_4\}$$

$$W_2 = \{B_3\}$$

pas 3 :

-la décomposition est faite suivant  $B_3$

$B_3$  est décomposée en  $B_5$  et  $B_6$

$$- B_5 = \{4\}$$

$$- B_6 = \{5\}$$

$$\rho_3 = \{B_2, B_4, B_5, B_6\}$$

$$W_3 = \{B_5\} \text{ ou } W_3 = \{B_6\}$$

Nous considérons en parallèle les deux "valeurs" de  $W_3$ .

pas 4 : ( $W_3 = \{B_5\}$ )

-la décomposition est faite suivant  $B_5$

$B_4$  est décomposée en  $B_7$  et  $B_8$

$$- B_7 = \{1, 2\}$$

$$- B_8 = \{3\}$$

$$\rho_4 = \{B_2, B_5, B_6, B_7, B_8\}$$

$$W_4 = \{B_8\}$$

pas 5 :

-la décomposition est faite suivant  $B_8$

$\rho_4$  est inchangée

$$\rho_5 = \{B_2, B_5, B_6, B_7, B_8\}$$

$$W_5 = \emptyset$$

pas 4 : ( $W_3 = \{B_6\}$ )

-la décomposition est faite suivant  $B_6$

$B_4$  est décomposée en  $B_7$  et  $B_8$

$$- B_7 = \{2, 3\}$$

$$- B_8 = \{1\}$$

$$\rho_4 = \{B_2, B_5, B_6, B_7, B_8\}$$

$$W_4 = \{B_8\}$$

pas 5 :

-la décomposition est faite suivant  $B_8$

$B_7$  est décomposée en  $B_9$  et  $B_{10}$

$$- B_9 = \{2\}$$

$$- B_{10} = \{3\}$$

$$\rho_5 = \{B_2, B_5, B_6, B_8, B_9, B_{10}\}$$

$$W_5 = \{B_9\}$$

pas 6 :

-la décomposition est faite suivant  $B_9$

$\rho_5$  est inchangée

$\rho_6 = \{B_2, B_5, B_6, B_8, B_9, B_{10}\}$

$W_6 = \emptyset$

Nous remarquons sur cet exemple que, suivant l'élément ajouté dans  $W_3$ , le résultat de l'algorithme n'est pas le même. De plus, en insérant  $B_5$  dans  $W_3$ , la partition obtenue n'est pas compatible avec  $R : (B_7 = \{1, 2\})$

$R[1] \cap B_7 = \{2\}$  et  $R[2] \cap B_7 = \emptyset$ .

Paige et Tarjan [PT86] ont considéré deux sortes d'éléments dans  $W$  : les partitionneurs représentant une classe, appelés *blocs simples*, et les partitionneurs représentant une union de classes, appelés *blocs arbres*. Lorsqu'une classe  $B$  n'appartenant pas à  $W$  est décomposée en  $B_1$  et  $B_2$ , on rajoute dans  $W$  l'arbre binaire ayant  $B_1$  et  $B_2$  pour fils. Lorsqu'un arbre est sélectionné dans  $W$  pour raffiner la partition courante, la décomposition de chaque classe est réalisée par rapport au plus petit des fils du partitionneur.

Nous utilisons les notations et les définitions du paragraphe précédent :

- $(Q, R)$  désigne un système de transitions,
- $\rho = \{B_j \mid B_j \subseteq Q, j \in [0, \dots, k-1]\}$  désigne une relation d'équivalence sur  $Q$ ,
- nous considérons la suite  $\rho_r, W_r$  définie au paragraphe précédent,

$$(\rho_0, W_0) = (\rho, \rho)$$

...

$$(\rho_{r+1}, W_{r+1}) = \Phi''(\rho_r, W_r, B_i)$$

$B_i$  désigne le partitionneur au pas  $r : (\rho_{r+1}, W_{r+1}) = \Phi''(\rho_r, W_r, B_i)$

$\rho_r$  désigne la partition courante au pas  $r$ ,

$W_r$  désigne l'ensemble courant des partitionneurs au pas  $r$ ,

$n = |Q|$ ,

$m = |R|$ .

### Proposition 2.1.10

Soit  $B_i \in \rho_r$  le partitionneur au pas  $r$  ; si la classe  $B_i$  est elle-même décomposée en  $B_{i1}$  et  $B_{i2}$ , toutes les autres classes  $B_j$  de la partition  $\rho_{r+1}$  sont décomposables en :

$$X_1 = B_j \cap (R^{-1}[B_{i1}] - R^{-1}[B_{i2}])$$

$$X_2 = B_j \cap (R^{-1}[B_{i2}] - R^{-1}[B_{i1}])$$

$$X_3 = B_j \cap R^{-1}[B_{i1}] \cap R^{-1}[B_{i2}]$$

**Preuve :**

Ceci provient du fait qu'un partitionneur ayant servi au raffinement de la partition vérifie la propriété suivante :

$\forall B_j \in \rho_{r+1} \ B_j \subseteq R^{-1} [B_i]$  ou  $B_j \cap R^{-1} [B_i] = \emptyset$  ;  
la décomposition d'un élément  $B_j$  de  $\rho_{r+1}$  en  $X_1$ ,  $X_2$  et  $X_3$  est effective uniquement dans le cas où  $B_j \subseteq R^{-1} [B_i]$ .

□

Remarquons que, lorsque  $R$  est une fonction,  $X_3 = \emptyset$  et la décomposition d'une classe  $B_j$  peut être réalisée uniquement en fonction de la plus petite des deux sous-classes  $B_{i1}$  ou  $B_{i2}$  [AHU74]. En effet,

$$X_1 = B_j \cap R^{-1} [B_{i1}] = B_j - R^{-1} [B_{i2}]$$

$$X_2 = B_j - R^{-1} [B_{i1}] = B_j \cap R^{-1} [B_{i2}]$$

Dans ce cas, la suite  $(B_i)$  des partitionneurs contenant un état  $p$ , utilisés pour raffiner la partition, vérifie la propriété suivante :

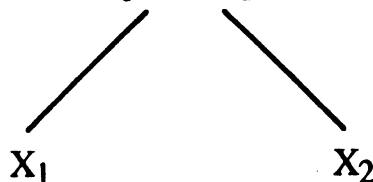
$$|B_{i+1}| \leq \frac{|B_i|}{2}$$

Ce qui permet de justifier, dans le cas d'une fonction, une complexité de l'ordre de  $m \log n$ .

L'idée de Paige et Tarjan consiste à considérer deux sortes de partitionneurs appelés *blocs simples* (i.e. classes d'équivalence) et *blocs arbres* (i.e. union de classes d'équivalence).

Pour représenter la décomposition de la classe  $B'$  en  $X_1$  et  $X_2$ , à l'aide d'un arbre  $t_i$  (figure 3), on associe à la racine une fonction qui, pour chaque état  $p$ , retourne le nombre de ses successeurs dans  $B'$ .

$$\text{nb\_succ} (B', p) = |R [p] \cap B'|,$$



**figure 3**

Si la feuille  $X_1$  (resp.  $X_2$ ) est décomposée, elle est remplacée dans l'arbre par un

nœud  $n_1$  (resp.  $n_2$ ) représentant cette décomposition (figure 3-bis).

$$\text{nb\_succ}(B', p) = |\mathbb{R}[p] \cap B'|,$$

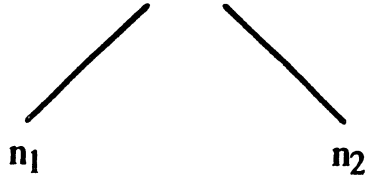


figure 3-bis

L'information associée à un nœud qui n'est pas la racine est le cardinal de l'union des ses feuilles.

La fonction  $\text{nb\_succ}$  est étendue aux nœuds de la manière suivante :

si  $B_{i1}, \dots, B_{ik}$  désignent les feuilles d'un nœud  $n_i$ , alors

$$\text{nb\_succ}(n_i, p) = \text{nb\_succ}(B_{i1}, p) + \dots + \text{nb\_succ}(B_{ik}, p).$$

Lorsque un bloc simple  $B_i$  est sélectionné pour raffiner la partition, la fonction  $\lambda p.\text{nb\_succ}(B_i, p)$  peut être calculée en un temps proportionnel à  $|\mathbb{R}^{-1}[B_i]|$  (cf. 1.4.6 évaluation de l'algorithme).

Lorsque un bloc arbre  $t_i$  est sélectionné pour raffiner la partition, les fonctions  $\lambda p.\text{nb\_succ}(n_{i1}, p)$  et  $\lambda p.\text{nb\_succ}(n_{i2}, p)$  peuvent être calculées en un temps proportionnel au plus petit des deux sous-arbres  $n_{i1}$  ou  $n_{i2}$ . Un arbre  $t$  est plus petit qu'un arbre  $t'$  si le cardinal de l'union des feuilles de  $t$  est inférieur au cardinal de l'union des feuilles de  $t'$ . Par conséquent, la décomposition d'une classe  $B_j$  de  $\rho_{r+1}$  telle qu'elle est définie dans la proposition 2.1.10, peut être réalisée en un temps proportionnel au plus petit des deux sous-arbres en appliquant les règles suivantes :

$$\text{nb\_succ}(n_{i1}, p) > 0, \text{nb\_succ}(n_{i2}, p) > 0$$


---

$$X_3 = X_3 \cup \{p\}$$

$$\text{nb\_succ}(n_{i1}, p) > 0, \text{nb\_succ}(n_{i2}, p) = 0$$


---

$$X_1 = X_1 \cup \{p\}$$

$$\text{nb\_succ}(n_{i1}, p) = 0, \text{nb\_succ}(n_{i2}, p) > 0$$


---

$$X_2 = X_2 \cup \{p\}$$

Nous décrivons, l'opérateur  $\Phi''$  en considérant deux cas :

**cas 1** : le partitionneur est un bloc simple  $B$  ;  $(\rho', W') = \Phi''(\rho, W, B)$  où :

$\rho' = \Phi'(\rho, B)$  et

$W'$  est construit de la manière suivante : soit  $B' \in \rho$ .

1) Si  $B' \in W$  et  $B'$  n'est pas décomposée, alors  $B' \in W'$ .

2) Si  $B' \in W$  et  $B'$  est décomposée en  $X_1$  et  $X_2$ , alors  $X_1, X_2 \in W'$ .

3) Si  $B' \notin W$  et  $B'$  est décomposée et  $B'$  n'est pas une feuille, alors l'arbre représentant cette décomposition (figure 3) appartient à  $W'$ .

4) Si  $n' \in W$ , alors  $n'' \in W'$  où  $n''$  est obtenu à partir de  $n'$  en remplaçant les feuilles de  $n'$ , pour lesquelles la décomposition suivant  $B$  est effective, par les nœuds représentant cette décomposition (figure 3-bis).

**cas 2** : le partitionneur est un bloc arbre  $n$  ;  $(\rho', W') = \Phi''(\rho, W, n)$  où :

$\rho'$  est construite de la manière suivante :

1) si  $B' \in \rho$  et  $B'$  n'est pas décomposée, alors  $B' \in \rho'$ .

2) Si  $B' \in \rho$  et  $B'$  est décomposée en  $X_1, X_2$  et  $X_3$  (proposition 2.1.10), alors  $X_1, X_2$  et  $X_3 \in \rho'$ .

$W'$  est construit de la manière suivante :

1) Soient  $n_1$  et  $n_2$  les fils gauche et droit de  $n$ . Si  $n_i$  n'est pas une feuille, alors  $n_i \in W'$ , pour  $i = 1, 2$ .

2) Si  $B' \in W$  et  $B'$  n'est pas décomposée, alors  $B' \in W'$ .

3) Si  $B' \in W$  et  $B'$  est décomposée en  $X_1, X_2$  et  $X_3$  (proposition 2.1.10), alors  $X_1, X_2$  et  $X_3 \in W'$ .

4) Si  $B' \notin W$  et  $B'$  est décomposée en  $X_1, X_2$  et  $X_3$  (proposition 2.1.10) et  $B'$  n'est pas une feuille, alors l'arbre représentant cette décomposition appartient à  $W'$  (figure 3-ter ou figure 3 si un  $X_i = \emptyset$ ).

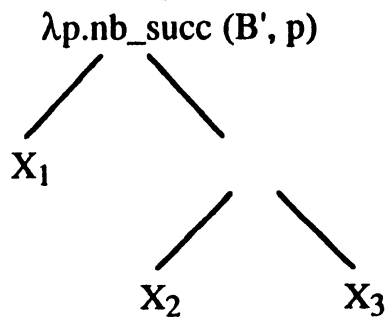


figure 3-ter

5) si  $n' \in W$ , alors  $n'' \in W'$  où  $n''$  est obtenu à partir de  $n'$  en remplaçant les feuilles de  $n'$ , décomposées en  $X_1, X_2$  et  $X_3$  (proposition 2.1.10), par

les nœuds représentant cette décomposition (figure 3-ter, sans l'information associée à la racine, ou figure 3-bis, si un  $X_i = \emptyset$ ).

Nous présentons l'algorithme qui calcule la suite  $(\rho_r, W_r)$  pour les systèmes de transitions, son extension aux systèmes de transitions étiquetées, la correction de l'algorithme étendu, sa réalisation et enfin son évaluation.

La fonction *nb\_succ* est représentée par son graphe et nous considérons, pour un partitionneur  $B$ , l'ensemble *incluspred* des classes  $B'$  telles que  $B' \subseteq R^{-1}[B]$ .

### 1.4.1 Algorithme 2

---

Soient,  $(Q, R)$  un système de transitions,

$\rho = \{B_i \mid B_i \subseteq Q, i \in [0, \dots, k - 1]\}$ , la relation d'équivalence initiale sur  $Q$ ,

$n = |Q|$ ,

$m = |R|$ ,

$W$  l'ensemble des partitionneurs,

$x$  un élément de  $W$ ,

interpréter l'ensemble des couples  $(B', X_1)$  pour lesquels la décomposition suivante est *effective* :

$$X_1 = B' \cap R^{-1}[B],$$

$$X_2 = B' - X_1,$$

*nb\_succ* l'ensemble des triplets  $(p, B, |B \cap R[p]|)$ , où  $B$  désigne soit une classe, soit une union de classes,

*incluspred* l'ensemble des classes  $B_j \subseteq R^{-1}[B_i]$ ,

pour un *bloc arbre*  $t_i$  *fil\_gauche*( $t_i$ ) (resp. *fil\_droit*( $t_i$ )) l'accès au fils gauche (resp. au fils droit),

(nous prenons la convention suivante :  $| \text{fil\_gauche}(t_i) | \leq | \text{fil\_droit}(t_i) |$ ).

$W = \rho$

**tant-que**  $W \neq \emptyset$

    choisir et supprimer  $x$  de  $W$

    si  $x$  est un *bloc simple*  $B_i$

    alors raffiner\_simple( $B_i$ )

    sinon raffiner\_arbre( $t_i$ ) --  $x$  est un *bloc arbre*  $t_i$

**fin\_tant-que**

**fin**

```

procédure raffiner_simple ( $B_i$ )
  pour tout  $p \in B_i$ 
    pour tout  $q \in R^{-1}[B_i]$ 
      maj_interpred ( $q$ ) ; maj_nb_succ ( $B_i, q$ ) ;
    fin_pour
  fin_pour
  pour tout  $(B', X_1) \in \text{interpred}$ 
    maj_bloc ( $B', X_1$ )
  fin_pour
fin_procedure

```

```

procédure maj_interpred ( $q$ )
  soit  $B'$  la classe contenant  $q$  supprimer  $q$  de  $B'$  ;
  si il existe  $(B', X_1) \in \text{interpred}$ 
    alors insérer  $q$  dans  $X_1$ 
  sinon ajouter  $(B', \{q\})$  dans  $\text{interpred}$ 
  fsi
fin_procedure

```

```

procédure maj_nb_succ ( $B_i, q$ )
  si il existe  $(p, B_i, n) \in \text{nb\_succ}$ 
    alors remplacer  $n$  par  $n+1$ 
  sinon ajouter  $(p, B_i, 1)$  dans  $\text{nb\_succ}$ 
  fsi
fin_procedure

```

```

procédure maj_bloc ( $B', X_1$ )
  si  $|X_1| \neq |B'|$ 
    alors  $X_2 = B' - X_1$  ;
    remplacer  $B'$  par  $X_1$  et  $X_2$  dans  $\rho$  ;
    si  $B' \in W$ 
      alors remplacer  $B'$  par  $X_1, X_2$  dans  $W$  ;
    sinon si  $B' \notin W$  et  $B'$  n'est pas une feuille
      alors créer un arbre  $t'$  ayant pour fils_gauche  $X_1$  et fils_droit  $X_2$  ;
      -- on suppose  $|X_1| \leq |X_2|$ , sinon on intervertit les rôles

```



```

    -- de  $X_1$  et  $X_2$ 
    ajouter t' dans W ;
    sinon remplacer la feuille B' par un nœud ayant pour fils_gauche  $X_1$  et
    fils_droit  $X_2$  ;
    -- on suppose  $|X_1| \leq |X_2|$ , sinon on intervertit les rôles
    -- de  $X_1$  et  $X_2$ 
  fsi
fsi
fin_procedure

```

```

procédure raffiner_arbre ( $t_j$ )
  calcul_nb_succ ( $t_j$ , fils_gauche ( $t_j$ )) -- on en déduit , nb_succ (fils_droit ( $t_j$ ))
  -- incluspred est mis à jour
  si fils_gauche ( $t_j$ ) n'est pas une feuille, alors l'insérer dans W ; fsi
  si fils_droit ( $t_j$ ) n'est pas une feuille, alors l'insérer dans W ; fsi

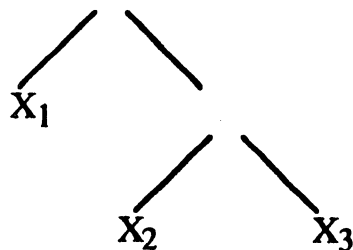
  pour tout  $B_j \in$  incluspred
    décomposer_majw ( $B_j$ , fils_gauche ( $t_j$ ), fils_droit ( $t_j$ ))
  fin_pour
fin_procedure

```

```

procédure décomposer_majw ( $B_j$ ,  $n_{i1}$ ,  $n_{i2}$ )
  calculer  $X_1$ ,  $X_2$ ,  $X_3$  par le procédé de la proposition 2.1.10 ;
  remplacer  $B_j$  par  $X_1$ ,  $X_2$  et  $X_3$  dans  $\rho$  ;
  mettre à jour W de façon analogue à la procédure raffinement_simple, en
  remarquant que si  $X_1 \neq \emptyset$ ,  $X_2 \neq \emptyset$  et  $X_3 \neq \emptyset$ , les arbres ou les nœuds sont de
  la forme :

```



```

fin_procedure

```

---

### 1.4.2. Extension aux systèmes de transitions étiquetées

Soit  $S = (Q, A, T, q_0)$  un système de transitions étiquetées. La relation de transition  $T$  est considérée ici comme une union de relations de transition indicées par les éléments de  $A$ . Le raffinement de la partition courante est réalisé suivant un partitionneur donné et suivant une étiquette. Nous modifions la définition 2.1.2 de l'opérateur  $\Phi'$  en introduisant un opérateur  $\Phi^{(3)}$ .

#### Définition 2.1.4 de l'opérateur $\Phi^{(3)}$

Soient  $\rho$  une relation d'équivalence sur  $Q$  et  $B$  un sous-ensemble de  $Q$ .

$$\Phi^{(3)}(\rho, B, a) = \{ B' \cap T_a^{-1}[B] \mid B' \in \rho \} \cup \{ B' - T_a^{-1}[B] \mid B' \in \rho \}.$$

L'opérateur  $\Phi^{(3)}$  vérifie les propriétés suivantes :

#### Propriété de l'opérateur $\Phi^{(3)}$

Soient  $a, a_1$  et  $a_2$  des éléments de  $A$ , soit  $B$  un sous-ensemble de  $Q$  et soient  $\rho, \rho_1$  et  $\rho_2$  trois partitions de  $Q$ .

(i)  $\Phi^{(3)}(\rho, B, a)$  est une partition.

(ii) *monotonie* :  $\rho_1 \subseteq \rho_2 \Rightarrow \Phi^{(3)}(\rho_1, B, a) \subseteq \Phi^{(3)}(\rho_2, B, a)$ ,

(iii)  $\Phi^{(3)}(\rho, B, a) \subseteq \rho$ ,

(iv)  $\Phi^{(3)}(\Phi^{(3)}(\rho, B, a_1), B, a_2) = \Phi^{(3)}(\Phi^{(3)}(\rho, B, a_2), B, a_1)$ ,

(v)  $\forall B' \in \Phi^{(3)}(\rho, B, a), B' \cap T_a^{-1}[B] = \emptyset$  ou  $B' \subseteq T_a^{-1}[B]$ .

L'opérateur  $\Phi'$  devient, si  $A = \{a_1, \dots, a_n\}$  :

$$\Phi'(\rho, B) = \Phi^{(3)}(\Phi^{(3)}(\dots \Phi^{(3)}(\Phi^{(3)}(\rho, B, a_1), B, a_2), \dots), B, a_n).$$

Les propriétés (i)-(v) et la propriété (vii) de la définition 2.1.2 sont conservées. La propriété (vi) devient :

(vi)  $\forall a \in A \forall B' \in \Phi'(\rho, B), B' \cap T_a^{-1}[B] = \emptyset$  ou  $B' \subseteq T_a^{-1}[B]$ .

Les propriétés (i)-(iii) de la définition 2.1.3 sont conservées. La propriété (iv) devient :

(iv)  $\forall a \in A \forall B' \in \Phi(\rho) \forall B \in \rho, B' \cap T_a^{-1}[B] = \emptyset$  ou  $B' \subseteq T_a^{-1}[B]$ .

L'algorithme 2 est modifié de la manière suivante :

-  $(Q, A, T, q_0)$  désigne un système de transitions étiquetées,

- $a$  désigne un élément de  $A$ ,
- $T_a^{-1}[q]$  désigne l'ensemble  $\{(p, a) \mid (p, a, q) \in T\}$ .
- $\text{incluspred}$  désigne les couples  $(B_j, a)$  tels que  $B_j \subseteq T_a^{-1}[B_i]$
- $\text{nb\_succ}$  désigne les triplets  $(a, p, B_i, |B_i \cap T_a[p]|)$ .

Les procédures `raffiner_simple`, `raffiner_arbre`, `maj_nb_succ` et `décomposer_majw` sont modifiées de la manière suivante :

---

**procédure** `raffiner_simple` ( $B_i$ )

```

Ci ← Bi           -- sauvegarde de Bi
pour tout a ∈ A
  pour tout p ∈ Ci
    pour q ∈ Ta-1 [Ci]
      maj_interpred (q) ;
      maj_nb_succ (Bi, a, q) ;
    fin_pour
  fin_pour
  pour (B', X1) ∈ interpred
    maj_bloc (B', X1).
  fin_pour
fin_pour
fin_procedure

```

**procédure** `raffiner_arbre` ( $t_i$ )

```

calcul_nb_succ (ti, fils_gauche (ti)) -- on en déduit nb_succ (fils_droit (i))
                                         -- mise à jour de incluspred
si fils_gauche (ti) n'est pas une feuille alors l'insérer dans W fsi
si fils_droit (ti) n'est pas une feuille alors l'insérer dans W fsi
pour tout a ∈ A
  pour (Bj, a) ∈ incluspred
    décomposer_majw (a, Bj, fils_gauche (ti), fils_droit (ti))
  fin_pour
fin_pour
fin

```

**procédure maj\_nb\_succ** ( $B_j, a, q$ )  
 si il existe  $(a, p, B_j, n) \in \text{nb\_succ}$   
 alors remplacer  $n$  par  $n+1$   
 sinon ajouter  $(a, p, B_j, 1)$  dans  $\text{nb\_succ}$   
 fsi  
**fin\_procedure**

**procédure décomposer\_majw** ( $a, B_j, n_{i1}, n_{i2}$ )  
 calculer  $X_1, X_2, X_3$  par le procédé de la proposition 2.1.10 en remplaçant  $R$   
 par  $T_a$  :  
 $X_1 = B_j \cap (T_a^{-1}[n_{i1}] - T_a^{-1}[n_{i2}])$   
 $X_2 = B_j \cap (T_a^{-1}[n_{i2}] - T_a^{-1}[n_{i1}])$   
 $X_3 = B_j \cap T_a^{-1}[n_{i1}] \cap T_a^{-1}[n_{i2}]$  ;  
 remplacer  $B_j$  par  $X_1, X_2$  et  $X_3$  dans  $\rho$  ;  
 mettre à jour  $W$  de la même manière que dans l'algorithme 2  
**fin\_procedure**

---

### 1.4.3. Exemple

Considérons le système de transitions étiquetées décrit à la figure 4 suivante:

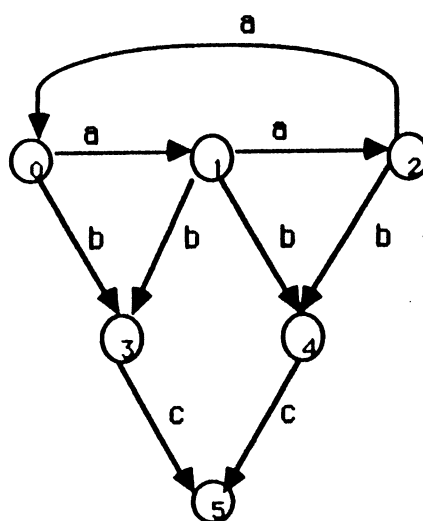


figure 4

Initialement, tous les états sont dans la même classe. Nous allons montrer que la partition la moins fine compatible avec cette relation de transitions étiquetées est  $\{\{0, 1, 2\}, \{3, 4\}, \{5\}\}$ . Nous montrons les pas de calcul du programme faisant apparaître le résultat de la procédure `raffiner_simple` ou `raffiner_arbre`. Les classes sont représentées par  $B_i$  au lieu de classe  $[i]$ . Soit  $t$  un *bloc\_arbre* et  $a$  une étiquette. Nous représentons, à la racine de l'arbre,  $nb\_succ$  par une liste de couples  $(p, k)$  où  $k$  désigne le nombre de successeurs de l'état  $p$  par  $T_a$ .

Initialement,

$$B_0 = \{0, 1, 2, 3, 4, 5\}$$

$$\rho_0 = \{B_0\}$$

$$W_0 = \{B_0\}$$

- raffinement\_simple ( $B_0$ )

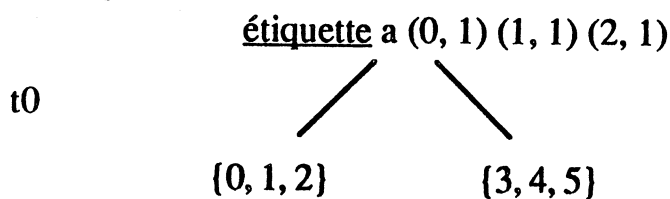
- étiquette a :

$$B_1 = \{0, 1, 2\}$$

$$B_2 = \{3, 4, 5\}$$

$$\rho_1 = \{B_1, B_2\}$$

$$W_1 = \{t_0\} \text{ où}$$



- étiquette b :

$$B_1 = \{0, 1, 2\}$$

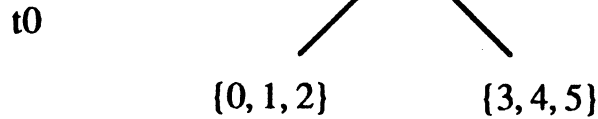
$$B_3 = \{3, 4\}$$

$$B_4 = \{5\}$$

$$\rho_1 = \{B_1, B_3, B_4\}$$

$$W_1 = \{t_0\} \text{ où } t_0 \text{ est modifié de la manière suivante :}$$

étiquette a (0, 1) (1, 1) (2, 1); étiquette b : (0, 1) (1, 2) (2, 1)

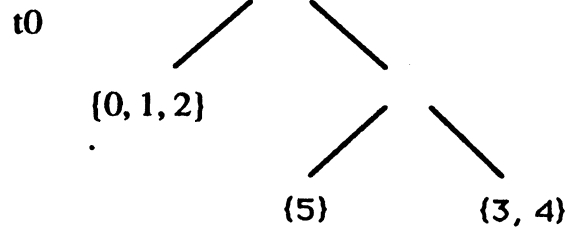


- étiquette c :

$W_1$  et  $\rho_1$  ne sont pas modifiés.  $t_0$  est modifié de la manière suivante :

étiquette a (0, 1) (1, 1) (2, 1); étiquette b (0, 1) (1, 2) (2, 1);

étiquette c (3, 1) (4, 1)



raffinement\_arbre ( $t_0$ )

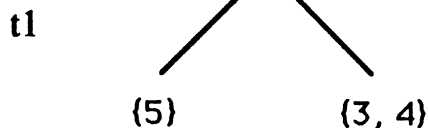
Le fils gauche de  $t_0$  est  $B_1$ , le fils droit est  $t_1$ .

$\lambda_p \cdot \text{nb\_succ}(B_1, p)$  est définie de la manière suivante :

étiquette a (0, 1) (1, 1) (2, 1); étiquette b  $\emptyset$ ; étiquette c  $\emptyset$ . On en déduit :

$W_2 = \{t_1\}$  où

étiquette b : (0, 1) (1, 2) (2, 1); étiquette c (3, 1) (4, 1)



la partition n'est pas modifiée ;

$\rho_2 = \{B_1, B_3, B_4\}$

$W_2 = \{t_1\}$  où

raffinement\_arbre ( $t_1$ )

Le fils gauche de  $t_1$  est  $B_4$ , le fils droit est  $t_1$ .

$\lambda_p \cdot \text{nb\_succ}(B_4, p)$  est définie de la manière suivante :

étiquette a  $\emptyset$ ; étiquette b  $\emptyset$ ; étiquette c (3, 1) (4, 1). On en déduit :

$\lambda p . nb\_succ (B_3, p)$

étiquette a  $\emptyset$ ; étiquette b (0, 1) (1, 2) (2, 1); étiquette c  $\emptyset$ .

$W_3 = \emptyset$

la partition n'est pas modifiée ; donc  $W_3$  reste vide.

#### 1.4.4. Correction

Soit  $S = (Q, A, T, q_0)$  un système de transitions étiquetées. Désignons par  $W_r$  l'ensemble des *blocs simples* ou *blocs arbres* après  $r$  exécutions de la procédure raffiner simple ou raffiner\_arbre. Désignons par  $\rho_r$  la relation obtenue après  $r$  exécutions de la procédure raffiner\_simple ou raffiner\_arbre. Nous modifions la définition de la compatibilité d'une relation d'équivalence avec la relation de transition pour un sous-ensemble d'états  $X$  :

Une relation d'équivalence  $\rho$  sur  $Q$  est compatible avec  $R$  pour  $X \subseteq Q$  si et seulement si :

$\forall a \in A \forall B \in \rho \Rightarrow B \subseteq T_a^{-1} [X] \text{ ou } B \cap T_a^{-1} [X] = \emptyset$

L'argument de terminaison est identique à l'argument de terminaison de l'algorithme 1.

L'invariant de l'itération de l'algorithme 2 est la condition suivante :

" $\rho$  est compatible avec  $T$  pour les classes  $B$  vérifiant :

$B \in \rho$  et  $B \notin W$  et  $B$  n'est pas une feuille".

La correction partielle :

$W_r = \emptyset \Rightarrow \forall a \in A \forall B' \in \rho_r (B' \subseteq T_a^{-1} [B] \text{ ou } B' \cap T_a^{-1} [B] = \emptyset)$ ,  
est une conséquence de la proposition 2.1.14.

#### Proposition 2.1.11

Si  $\rho_r$  est compatible avec  $T$  pour  $X$ , alors  $\rho_{r+1}$  est compatible avec  $T$  pour  $X$ .

**preuve :**

La preuve découle de la décomposition d'une classe  $B'$  en deux sous-classes  $X_1$  et  $X_2$  (procédure maj\_bloc ou procédure décomposer\_majw) ou trois sous-classes  $X_1$ ,  $X_2$  et  $X_3$  (procédure décomposer\_majw) en remarquant que

toute classe de  $\rho_r$  est incluse dans une classe de  $\rho_{r+1}$ .

□

### Proposition 2.1.12

Soit  $t_i$  le partitionneur au  $r$ -ième pas ; après l'exécution de la procédure décomposer\_majw, la propriété suivante est vérifiée :

$(\forall B' \in \rho_{r+1}. B' \subseteq T_a^{-1} [\text{fils\_gauche}(t_i)] \text{ ou } B' \cap T_a^{-1} [\text{fils\_gauche}(t_i)] = \emptyset)$  et  
 $(\forall B' \in \rho_{r+1}. B' \subseteq T_a^{-1} [\text{fils\_droit}(t_i)] \text{ ou } B' \cap T_a^{-1} [\text{fils\_droit}(t_i)] = \emptyset)$

### Preuve

Par construction, la fonction nb\_succ permet de réaliser la décomposition précédente pour chaque classe.

□

### Proposition 2.1.13

Soit  $t_i$  le partitionneur au  $r$ -ième pas ; après exécution de la procédure raffiner arbre, la propriété de la proposition précédente est vérifiée pour tout  $a$  de  $A$  :

$\forall a \in A$

$(\forall B' \in \rho_{r+1}. B' \subseteq T_a^{-1} [\text{fils\_gauche}(t_i)] \text{ ou } B' \cap T_a^{-1} [\text{fils\_gauche}(t_i)] = \emptyset)$  et  
 $(\forall B' \in \rho_{r+1}. B' \subseteq T_a^{-1} [\text{fils\_droit}(t_i)] \text{ ou } B' \cap T_a^{-1} [\text{fils\_droit}(t_i)] = \emptyset)$ .

□

### Proposition 2.1.14

$B \in \rho_r$  et  $B \notin W_r$  et  $B$  n'est pas une feuille  $\Rightarrow$

$\forall a \in A \forall B' \in \rho_r. B' \subseteq T_a^{-1} [B] \text{ ou } B' \cap T_a^{-1} [B] = \emptyset.$

### Preuve :

La preuve se fait par induction sur  $r$ , le nombre de pas de l'itération.

- soit  $r = 0$ , la propriété est vérifiée, tous les éléments de  $\rho_0$  étant dans  $W_0$ ,

- soit  $r > 0$ , remarquons que,

$B \in \rho_r$  et  $B \notin W_r$  et  $B$  n'est pas une feuille  $\Rightarrow B \in \rho_{r-1}$  ;

Par l'absurde, supposons que  $B \notin \rho_{r-1}$ , alors  $B$  provient de la décomposition d'un élément  $B''$  de  $\rho_{r-1}$ . Trois cas sont possibles :



cas 1  $B'' \in W_{r-1}$ ,

$B \in W_r$  (cf procédure maj\_bloc), ce qui contredit l'hypothèse  $B \notin W_r$  ;

cas 2 :  $B'' \notin W_r$  et  $B''$  est une feuille,

$B$  est une feuille du nœud remplaçant la feuille  $B''$  (cf procédure maj\_bloc) ce qui contredit l'hypothèse que  $B$  n'est pas une feuille ;

cas 3 :  $B \notin W_r$  et  $B''$  n'est pas une feuille,

$B$  est une feuille de l'arbre représentant la décomposition de  $B''$  (cf procédure maj\_bloc) ce qui contredit l'hypothèse que  $B$  n'est pas une feuille.

Soit  $B$  tel que  $B \in \rho_r$  et  $B \notin W_r$  et  $B$  n'est pas une feuille ; montrons que la propriété suivante est vérifiée :

$B \in \rho_r$  et  $B \notin W_r$  et  $B$  n'est pas une feuille  $\Rightarrow$

$\forall a \forall B' \in \rho_r. B' \subseteq T_a^{-1}[B]$  ou  $B' \cap T_a^{-1}[B] = \emptyset$  ;

trois cas sont possibles :

cas 1 :  $B \in W_{r-1}$ ,

$B$  est le partitionneur au  $r$ -ième pas, puisque  $B \notin W_r$  ;

$B$  n'est pas décomposé, puisque  $B \in \rho_r$  ; la propriété est vérifiée ;

cas 2 :  $B \notin W_{r-1}$  et  $B$  est une feuille avant le  $r$ -ième pas,

soit  $t_i$  le bloc arbre dont  $B$  est une feuille ; puisque  $B$  n'est pas une feuille après le  $r$ -ième pas,  $B$  est le fil\_gauche ou le fils\_droit de  $t_i$  ; la propriété est vérifiée, d'après les propositions 2.1.12 et 2.1.13 ;

cas 3 :  $B \notin W_{r-1}$  et  $B$  n'est pas une feuille avant le  $r$ -ième pas,

par hypothèse d'induction,

$\forall a \in A \forall B' \in \rho_{r-1}. B' \subseteq T_a^{-1}[B]$  ou  $B' \cap T_a^{-1}[B] = \emptyset$  ;

puisque toute classe de  $\rho_r$  est incluse dans une classe de  $\rho_{r-1}$ , la propriété précédente est vérifiée en remplaçant  $\rho_{r-1}$  par  $\rho_r$ .

□

### 1.4.5 Réalisation de l'algorithme

Nous supposons l'existence d'une constante  $c$  telle que, pour chaque état  $p$  et chaque étiquette  $a$ ,  $|T_a[p]| \leq c$ . L'analyse des protocoles en César a montré qu'un état avait généralement au plus 5 successeurs par la relation de transitions étiquetées. La représentation de la relation de transitions (cf. §2.2) et celle de la

fonction  $nb\_succ$  sont choisies en tenant compte de cette hypothèse. Nous présentons uniquement les structures de données choisies pour réaliser l'algorithme 2. L'algorithme lui-même n'est pas décrit.

1) Nous reprenons les structures de données de l'algorithme 1 en modifiant le tableau  $bloc$  de la manière suivante : soit  $nb\_classe$  le nombre de classes de la partition courante,

$classe [0 .. n - 1]$  est un tableau dont le  $j$ -ième élément désigne une classe de la partition courante,

$bloc$  est un tableau dont le  $k$ -ième élément est un triplet  $(c, i_1, i_2)$  ; par convention,

si  $k \leq nb\_classe$ ,  $bloc [k]$  désigne un bloc simple où

$c$  désigne le cardinal de  $classe [i_1]$

$i_2 = 0$ , si  $i_1 \in W$ ,

$i_2 = 1$ , si  $i_1 \notin W$ ,

$i_2 \geq nb\_classe$ ,  $bloc [i_2]$  est une feuille ;

si  $k > nb\_classe$ ,  $bloc [k]$  est un *bloc arbre* qui est soit une racine, soit un nœud intermédiaire ; une racine provient d'une décomposition d'une classe  $classe [i]$  en  $classe [i_1]$  et  $classe [i_2]$ . Dans ces conditions,

$c$  désigne  $(\lambda p.nb\_succ (i, p))$ ,

$i_1$  le fils gauche de  $k$ ,

$i_2$  le fils droit de  $k$ .

Dans le cas où  $bloc [k]$  est un nœud intermédiaire, il représente une union de classes,

$c$  désigne le nombre d'éléments de cette union,

$i_1$  le fils gauche de  $k$ ,

$i_2$  le fils droit de  $k$ .

2) Une étiquette de l'ensemble  $A$  est représentée par un entier.  $e$  désigne le cardinal de l'ensemble  $A$ .

3) Nous représentons *incluspred* de manière analogue à *interpréd* :

-  $premier [0 .. e - 1]$  est un tableau indicé par  $A$  ; le  $a$ -ième élément désigne le premier indice  $j$  du tableau  $bloc$  (et du tableau  $classe$ ) inséré dans *incluspred* tel que, pour le partitionneur  $B$ ,  $classe [j] \subseteq R^{-1} [B]$ . Initialement,  $premier [a] = null$ .

-  $incluspred [0 .. e - 1, 0 .. n - 1]$  est un tableau à 2 dimensions. La première

dimension est indiquée par l'ensemble des étiquettes  $A$  et la deuxième est indiquée par les classes. Initialement,  $incluspred [a, j] = null$ . Si le  $(a, j)$ -ième élément n'est pas  $null$ , alors il désigne un indice  $k$  des tableaux *bloc* et *incluspred*, suivant de  $j$  dans la liste *incluspred* et tel que, pour le partitionneur  $B$ ,  $classe [k] \subseteq R^{-1} [B]$ .

4)  $nb\_succ$  est un tableau à deux dimensions, la première étant indiquée par les états, la seconde par les étiquettes. Le  $(q, a)$ -ième élément désigne la liste des couples  $(k_j, c_j)$  tel que  $|T_a [q] \cap (\cup k_j)| = c_j$ , où  $\cup k_j$  représente l'union des feuilles de  $k_j$ . Cette liste a au plus  $c$  éléments.

#### 1.4.6. Evaluation de l'algorithme 2

La taille mémoire nécessaire à l'exécution de l'algorithme 2 est proportionnelle à  $m$  : il suffit, pour s'en convaincre, de faire l'inventaire des différentes structures de données utilisées dans l'algorithme 2.

#### Evaluation du temps nécessaire pour exécuter l'algorithme 2

Le temps nécessaire à l'exécution de l'algorithme 2 est de l'ordre de  $c m \log n$ . C'est une conséquence de la proposition 2.1.15.

#### Proposition 2.1.14.

$raffiner\_simple (i)$  s'exécute en un temps proportionnel au nombre d'éléments de  $classe[i]$ .

$raffiner\_arbre (i)$  s'exécute en un temps proportionnel à la taille du plus petit de ses fils.

#### Principe de démonstration :

Une classe d'équivalence est une liste dont les fonctions d'accès sont *élément* et *suivant* ; l'insertion ou la suppression d'un élément consiste à modifier l'accès à son prédécesseur et l'accès à son successeur ; le temps d'exécution de chacune de ces opérations est constant.

1) Considérons l'appel de la procédure  $raffiner\_simple (i)$ . Cette procédure est composée de trois actions principales :

- la sauvegarde du partitionneur,  $C_i \leftarrow classe [i]$ ,
- une itération pour mettre à jour les structures  $interpret_0, interpret_1$  et

$nb\_succ$ ,

- une itération pour mettre à jour les structures *bloc*, *inclasse*, *W* et *in\_W*.

Nous montrons que le temps nécessaire à l'exécution de chacune de ces actions est de l'ordre de  $\sum_{a \in A} |T_a^{-1}[C_i]|$ .

(i) La sauvegarde de *classe* [i] est proportionnelle à  $|classe [i]|$  ;  $|classe [i]|$  est majoré par  $\sum_{a \in A} |T_a^{-1}[C_i]| + 1$ . En effet, seul l'état initial est susceptible de ne pas avoir de prédécesseur.

(ii) Le temps nécessaire à l'exécution de la procédure *maj\_interpred* (q) est constant (cf. algorithme 1).

(iii) Le temps nécessaire à l'exécution de *maj\_nb\_succ* (i, a, q) est de l'ordre de  $c$ . En effet, le (q, a)-ième du tableau *nb\_succ* désigne la liste des couples  $(k_j, c_j)$  tel que  $|T_a[q] \cap (\cup k_j)| = c_j$ . D'après l'hypothèse que nous avons faite, cette liste a au plus  $c$  éléments. Soit *suc* la liste *nb\_succ* [q, a]. L'action principale de la procédure *maj\_nb\_succ* (i, a, q) est le parcours de la liste *suc* jusqu'à trouver un couple  $(i, c_j)$ . Si ce existe alors il est remplacé par le couple  $(i, c_j+1)$  sinon le couple  $(i, 1)$  est inséré dans la liste *nb\_succ* [q, a].

(iv) On déduit de (ii) et (iii) que le temps nécessaire à l'exécution de la première itération de la procédure *raffiner\_simple* est de l'ordre de  $\sum_{a \in A} |T_a^{-1}[C_i]|$ .

(v) La procédure *maj\_bloc* est réalisée de manière analogue à la procédure *décomposer\_majw* de l'algorithme 1. Le temps nécessaire à l'exécution de la procédure *maj\_bloc* est proportionnel au temps nécessaire à l'exécution de *maj\_classe*. On en déduit que le temps nécessaire à l'exécution de la deuxième itération est de l'ordre de

$$\sum_{a \in A} |T_a^{-1}[C_i]| = \sum_{j \in \text{interpred}} |X_j|$$

où  $X_j = classe [j] \cap T_a^{-1}[C_i]$  et  $\bigcup_{j \in \text{interpred}} X_j = T_a^{-1}[C_i]$ .

Finalement, le temps nécessaire à l'exécution de *raffiner\_simple* est de l'ordre de  $c * \sum_{a \in A} |T_a^{-1}[C_i]|$ .

2) Considérons l'appel de la procédure *raffiner\_arbre*. Il est tout aussi facile de vérifier que le temps nécessaire à l'exécution de la procédure *raffiner\_arbre* (i) est de l'ordre de  $c * \sum_{a \in A} |T_a^{-1}[C]|$ , où  $C$  est l'union des classes "feuilles" du

plus petit des fils de  $i$ . Pour cela, il suffit de montrer que le temps nécessaire à l'exécution de la procédure `calcul_nb_succ` est de l'ordre de  $c * \sum_{a \in A} |T_a^{-1}[C]|$ . Par un argument analogue à (v), nous pouvons montrer que le coût de la réalisation de l'itération :

```

pour tout  $a \in A$ 
  pour tout  $(B_j, a) \in \text{incluspred}$ 
    décomposer_majw ( $a, B_j, \text{fils\_gauche}(t_j), \text{fils\_droit}(t_j)$ )
  fin\_pour
fin\_pour

```

est proportionnel à  $c * \sum_{a \in A} |T_a^{-1}[C]|$ .

Soit  $(F_k)$  la suite des feuilles du plus petit des fils (i.e. le fils gauche) de l'arbre partitionneur. L'action principale de la procédure `calcul_nb_succ` est la mise à jour, pour chaque étiquette  $a$  de l'ensemble  $A$  et chaque état  $q$  d'un  $F_k$ , de la liste `nb_succ [q, a]`. Cette mise à jour est réalisée de la manière suivante :

soit  $fgi$  l'indice dans le tableau `bloc` de `fils_gauche` ( $i$ ) et  $fdi$  l'indice dans le tableau `bloc` de `fils_droit` ( $i$ ),

- le couple  $(i, k)$  est remplacé par le couple  $(i, k-1)$  dans la liste `nb_succ [q, a]`,

- le couple  $(fgi, k')$  est remplacé par le couple  $(fgi, k'+1)$  dans la liste `nb_succ [q, a]`.

Après l'exécution de la procédure `calcul_nb_succ`, les couples  $(i, k)$  de `nb_succ [q, a]` désignent le nombre de successeurs de l'état  $p$ , par une transition étiquetée par  $a$ , dans l'ensemble représentant l'union des feuilles du fils droit du partitionneur.

□

### Proposition 2.1.15.

Le temps total d'exécution de l'algorithme 2 est proportionnel à

$$\sum_{q \in Q, a \in A} |T_a^{-1}[q]| * nb_w(q)$$

où  $nb_w(q)$  est le nombre de fois qu'un état appartient à un bloc simple de  $W$ , ou à une feuille du fils gauche d'un élément de  $W$ .

□

On déduit que le temps total d'exécution de l'algorithme 2 est proportionnel à  $c m \log n$ , où  $c$  est le nombre maximum de successeurs que peut avoir un état par une étiquette donnée.

#### 1.4.7 Critique de la mise en œuvre

Deux critiques principales de la mise en œuvre de l'algorithme précédent peuvent être faites :

- la mise à jour de `nb_succ` n'est pas effectuée en temps constant, et dépend du nombre de successeurs d'un état par une étiquette, ce qui rajoute le facteur  $c$  à l'évaluation de l'algorithme. Nous avons fait l'hypothèse qu'un état avait en moyenne 5 successeurs par une étiquette, ce qui nous a conduits à considérer la solution adoptée comme satisfaisante.

- la première action de la procédure `raffiner_simple` consiste à sauvegarder des éléments du partitionneur. Le coût de cette sauvegarde est bien entendu proportionnel au nombre d'éléments du partitionneur. Nous avons adopté cette solution pour conserver une mise à jour simple des classes d'équivalence dans le cas où le partitionneur se "décompose" lui-même.

### 1.5 Applications

Nous décrivons deux applications de la mise en œuvre de l'algorithme 2. Nous l'utilisons pour calculer la plus grande bisimulation entre deux systèmes de transitions étiquetées et pour calculer le système quotient à partir des classes d'équivalence produites par l'algorithme 2. D'autres applications peuvent être envisagées : la partition initiale n'est pas nécessairement la partition universelle. Elle peut être définie par un ensemble de prédicats sur l'ensemble des états et on peut chercher à raffiner cette partition en une partition compatible avec la relation de transitions étiquetées.

#### 1.5.1 Calcul de la plus grande bisimulation entre deux systèmes de transitions étiquetées

Pour décider si deux formes normales sont égales, on peut appliquer

l'algorithme du calcul de la plus grande bisimulation à la somme disjointe de deux systèmes de transitions étiquetées. Nous utilisons la somme disjointe de préférence au produit cartésien, dans la mesure où le cardinal de l'ensemble des états du système "somme" est égal à la somme des cardinaux des ensembles d'états des systèmes de transitions étiquetées composants. Construire la bisimulation sur la somme disjointe impose un parcours linéaire de chaque relation de transitions étiquetées, ce qui coûte moins en temps que le parcours du produit cartésien des états.

Etant donné deux systèmes de transitions étiquetées  $S_i = (Q_i, A_i, T_i, q_i)$ ,  $i = 1, 2$  on peut toujours renommer les ensembles d'états, et par conséquent les relations de transitions étiquetées, de telle sorte que  $Q_1 \cap Q_2 = \emptyset$ . Par exemple, on peut renommer les états de  $Q_1$  avec les entiers appartenant à l'intervalle  $[0, |Q_1| - 1]$  et les états de  $Q_2$  avec les entiers appartenant à l'intervalle  $[|Q_1|, |Q_1| + |Q_2| - 1]$ . Par convention, 0 est l'état initial de  $S_1$  et  $|Q_1|$  est l'état initial de  $S_2$ . Nous notons  $\oplus$  l'opérateur "somme".

### Exemple

Considérons les deux systèmes de transitions étiquetées  $S_1$  et  $S_2$  décrits par la figure suivante. L'état initial de  $S_1$  est 0 et nous avons renommé l'état initial de  $S_2$  en 3.

$$S_1 \oplus S_2 = (\{0, 1, 2, 3\}, \{(0, a, 1), (1, a, 2), (2, a, 0), (3, a, 3)\})$$



La relation universelle est compatible avec l'union des relations de transitions

étiquetées de  $S_1$  et de  $S_2$ .

0 et 3 appartiennent à la même classe. Il existe une bisimulation entre  $S_1$  et  $S_2$ .

### 1.5.2 Construction du système de transitions étiquetées quotient

Nous présentons l'algorithme de calcul du système de transitions étiquetées quotient à partir des classes d'équivalence produites par l'algorithme 2. Soit  $S = (Q, A, T, q_0)$  un système de transitions étiquetées. Le système de transitions étiquetées quotient est  $S' = (Q / \rho, A, T / \rho, C_0)$  où :

- $Q / \rho$  désigne l'ensemble des classes d'équivalence, notées  $C_i$ ,
- $T / \rho$  est construite en appliquant la procédure maj\_quotient suivante :

---

**procédure maj\_quotient**

**pour tout**  $C_i \in Q / \rho$

**pour tout**  $p \in C_i$

**pour tout**  $(a, q) \in T_a [p]$

        insérer  $(C_i, a, C_q)$  dans  $T / \rho$  --  $C_q$  désigne la classe contenant  $q$

**fin\_pour**

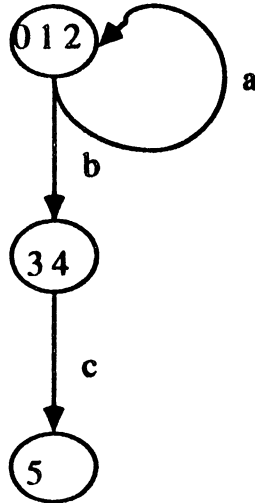
**fin\_pour**

**fin\_pour**

**fin\_procedure**

---



**Exemple****figure 5**

Le système de transitions étiquetées quotient du système de transitions étiquetées de la figure 4 est représenté figure 5.

Soit  $c$  le majorant de  $|T_a[p]|$  pour tout état  $p$  et toute étiquette  $a$ . Il est facile de voir que l'on peut réaliser l'algorithme précédent de telle sorte que le temps nécessaire à son exécution soit de l'ordre de  $c m$ .

**1.6 Discussion**

Soit  $S = (Q, A, T, q_0)$  un système de transitions étiquetées. Nous avons mis en œuvre un algorithme qui "raffine" une partition de  $Q$  pour la rendre compatible avec la relation de transitions étiquetées  $T$ . Cet algorithme est quasi-linéaire par rapport à la taille de la relation de transitions étiquetées. Dans ce travail, nous considérons deux applications de cet algorithme : la comparaison de deux systèmes de transitions étiquetées, sous forme normale pour une relation d'équivalence donnée, et le calcul de la plus grande bisimulation sur un système de transitions étiquetées. Pour déterminer la complexité du calcul d'une forme normale par rapport à une relation d'équivalence, nous étudions la complexité des transformations de la relation de transitions étiquetées intervenant dans le calcul de cette forme normale.

## 2 Transformations locales

Dans ce paragraphe, nous étudions la complexité des transformations intervenant dans le calcul des formes normales décrites au chapitre I. Soit  $S$  un système de transitions étiquetées. Dans le paragraphe précédent, nous avons vu comment associer efficacement à  $S$  le système quotient de transitions étiquetées modulo la plus grande bisimulation (i.e. la congruence forte). Ce calcul intervient aussi lorsqu'on veut déterminer la forme normale de  $S$  modulo une des relations d'équivalence suivantes : l'équivalence observationnelle, la congruence observationnelle et la congruence par modèle d'acceptation. Nous présentons, dans cette partie, la réalisation des autres transformations intervenant dans le calcul de la forme normale modulo une de ces relations d'équivalence, en vue de leur évaluation. Ces transformations sont les transformations  $\tau$ -chaîne,  $\tau$ -boucle,  $\tau$ -circuit,  $\tau$ -saturation,  $\tau$ -élimination, saturation, obs\_réduction,  $\tau$ -init et  $\tau$ -saturation-init. Nous ne traitons pas ces deux dernières transformations : elles ne concernent que l'état initial du système de transitions étiquetées dont on calcule la forme normale. Le temps nécessaire à l'exécution de ces transformations est constant. Il ne dépend pas de la taille de la relation de transitions étiquetées.

Les algorithmes des transformations locales sont tous basés sur le même schéma : parcours de la relation de transitions étiquetées et traitement des états vérifiant une certaine propriété  $P$ . Les transformations qui nous intéressent peuvent être classées en deux catégories :

- les transformations réalisées par un parcours *en profondeur d'abord* de la relation de transitions étiquetées. Ce sont les transformations  $\tau$ -chaîne,  $\tau$ -boucle,  $\tau$ -circuit,  $\tau$ -saturation et  $\tau$ -élimination.
- les transformations réalisées par un parcours *en largeur d'abord* de la relation de transitions étiquetées. Ce sont les transformations saturation et obs\_réduction.

Les transformations de la relation de transitions étiquetées sont composées d'insertions et de suppressions de transitions dans la relation de transitions étiquetées. Le critère retenu pour la représentation de la relation de transitions étiquetées est la rapidité d'accès à l'information.

Dans toute la suite de ce paragraphe, nous considérons un système de transitions étiquetées  $S = (Q, A, T, q_0)$  où  $n = |Q|$ ,  $m = |T|$ ,  $e = |A|$  et  $c = \max \{|T_a [p]|, p \in Q, a \in A\}$ .

## 2.1 Représentation de la relation de transitions étiquetées

Nous discutons dans ce paragraphe du choix des structures de données pour la représentation de  $S$ .

Un état (resp. une étiquette) est un élément de l'intervalle  $[0..n - 1]$  (resp. de  $[0 .. e - 1]$ ). Par convention l'état initial est 0.

La relation de transitions étiquetées est représentée par un tableau  $T$  indicé par l'ensemble des états ; le  $p$ -ième élément est une liste de couples  $(a, al)$  où  $a$  est une étiquette et  $al$  la liste des états successeurs de  $p$  par la relation de transition étiquetée par  $a$  :  $al = T_a [p]$ . Cette liste est ordonnée suivant l'ordre lexicographique. Nous prenons la convention que l'étiquette  $\tau$  est représentée par 0. Si un état  $p$  vérifie  $T_\tau [p] \neq \emptyset$  alors la liste  $(a, T_a [p])$  a pour premier élément le couple  $(\tau, T_\tau [p])$ . Les deux primitives de manipulation de liste d'entiers sont *élément* et *suivant*. La liste vide est notée  $\emptyset$ .

Nous définissons deux fonctions *insérer* ( $q, l$ ) et *supprimer* ( $q, l$ ) pour insérer et supprimer l'élément  $q$  "en tête" de la liste  $l$ .

Les deux primitives de manipulation de la relation de transitions étiquetées (i.e. le tableau  $T$ ) sont *insertion* et *suppression*. On peut remarquer que *insertion* ( $p, a, q, T$ ) et *suppression* ( $p, a, q, T$ ) ont une complexité en temps de l'ordre de  $c$ . Ces deux primitives sont réalisées par un parcours de la liste  $T [p]$  des couples  $(a', al')$  jusqu'à ce que  $a = a'$ . L'état  $q$  est alors inséré dans la liste  $al'$  ou supprimé de cette liste.

Avec la représentation choisie, les fonctions  $T_a$  et  $T_a^{-1}$  retournent un accès au premier élément de la liste  $al$ . L'avantage de cette représentation est la rapidité d'accès à l'information. L'inconvénient est l'emplacement mémoire trop important pour représenter la relation de transitions étiquetées.

## 2.2. Transformations de la relation de transitions étiquetées

Nous présentons l'algorithme effectuant un parcours *en profondeur d'abord* de la relation de transitions étiquetées (algorithme 3). A titre d'exemple, nous décrivons une réalisation des transformations  $\tau$ -chaîne et  $\tau$ -élimination. Nous présentons ensuite les deux transformations *obs\_réduction* et *saturation*.

Outre la relation de transitions étiquetées, nous utilisons :

- un tableau *visit* [0 .. n - 1], indicé par l'ensemble des états ; le p-ième élément est 0 si l'état n'a pas été visité, 1 sinon.
- un tableau *bloc* [0 .. n - 1], indicé par l'ensemble des états : le p-ième élément désigne une liste d'états.
- un tableau *inbloc* [0 .. n - 1], indicé par l'ensemble des états ; le p-ième élément désigne un entier.

Ces trois structures sont globales aux transformations réalisées par un parcours en profondeur d'abord.

### Algorithme 3

---

Soient,

T [0 .. n - 1] un tableau dont le p-ième élément est une liste de couples (a, al)

visit [0 .. n - 1] un tableau d'entiers,

bloc [0 .. n - 1] un tableau dont le p-ième élément désigne une liste d'entiers,

inbloc [0 .. n - 1] un tableau d'entiers,

p un entier.

**pour tout** p  $\in$  [0, n - 1]

bloc [p]  $\leftarrow$   $\emptyset$  ; visit [p]  $\leftarrow$  0 ;

**fin\_pour**

**pour tout** p  $\in$  [0, n - 1]

si visit [p] = 0 alors traiter (p) fsi

**fin\_pour**

maj\_T ;

**fin**

---

**Commentaires :**

Les procédures traiter et maj\_T diffèrent suivant que l'algorithme désigne la transformation  $\tau$ -chaîne,  $\tau$ -boucle,  $\tau$ -circuit,  $\tau$ -saturation ou  $\tau$ -élimination.

**Exemple : Réalisation de la transformation  $\tau$ -chaîne**

Soit  $S = (Q, A, T, q_0)$  un système de transitions étiquetées. La transformation  $\tau$ -chaîne, appliquée à  $S$ , supprime de  $T$  les transitions  $(q, \tau, q')$  telles que  $T[q] = \{(t, q')\}$ .

La procédure traiter met à jour le tableau *inbloc*. Pour cela, nous utilisons une liste d'entiers, *chaîne\_courante*, qui contient tous les éléments de la chaîne courante. La description de la procédure traiter et maj\_T est donnée ci-dessous :

**procédure traiter (p)**

Soient  $q, q'$  deux entiers désignant des états.

```

visit [p] ← 1 ;
chaîne_courante ← insérer ( p, chaîne_courante ) ;
si T [p] = { (τ, q) } alors suppression(p, τ, q, T) ;
    si visit [q] = 0 alors traiter (q)
    sinon --q appartient à une autre chaîne
        tant-que chaîne_courante ≠ ∅
            q' ← élément (chaîne_courante) ; inbloc [q'] ← inbloc [q] ;
            chaîne_courante ← supprimer (q', chaîne_courante) ;
        fin_tant-que
    fsi
sinon -- p est la fin d'une chaîne
    tant-que chaîne_courante ≠ ∅
        q' ← élément (chaîne_courante) ; inbloc [q'] ← p ;
        chaîne_courante ← supprimer (q', chaîne_courante) ;
    fin_tant-que
fsi
fin_procedure

```

**procédure maj\_T**

Soient  $p, q, q'$  des entiers,

$al$  une liste d'entiers.

**pour tout**  $p \in [0, n - 1]$

**pour tout**  $a \in [0, e - 1]$

$al \leftarrow T_a^{-1} [p]$  ;

**tant-que**  $al \neq \emptyset$

$q \leftarrow \text{élément}(al)$  ;  $q' \leftarrow \text{inbloc}[q]$  ;

insertion  $(p, a, q', T)$  ; suppression  $(p, a, q, T)$  ;

**fin\_tant-que**

**fin\_pour**

**fin\_pour**

**fin\_procedure**

Evaluation :

Remarquons que le temps nécessaire à l'exécution de la transformation  $\tau$ -chaîne est proportionnel à  $c^2n$ . En effet, la procédure traiter est appelée  $n$  fois et le temps d'exécution de la procédure traiter est :

- constant pour un état n'appartenant pas à la chaîne courante,
- constant pour un état appartenant à la chaîne courante et ne désignant pas la fin de la chaîne courante,
- de l'ordre de la longueur de la chaîne courante pour un état désignant la fin de la chaîne courante.

De même, il est facile de voir que le temps d'exécution de la procédure maj\_T est de l'ordre de  $c^2 n$ .

**Exemple transformation  $\tau$ -élimination**

Soit  $S = (Q, A, T, q_0)$  un système de transitions étiquetées. La transformation  $\tau$ -élimination, appliquée à  $S$ , supprime de  $T$  les transitions  $(q, \tau, q')$  telles que  $q \neq q_0$  et remplace les transitions  $(p, a, q)$  par les transitions  $(p, a, q')$ .

Le tableau *bloc* est mis à jour par la procédure traiter. Le  $p$ -ième élément du tableau *bloc* désigne l'ensemble des états atteignables par  $T^*$  à partir de  $p$ . La

procédure maj\_T met à jour le tableau T à l'aide du tableau *bloc*.

---

```

procédure traiter (p)          -- p ≠ 0
Soit q un entier,
  al une liste d'entiers.
  visit [p] ← 1 ; al ← Tτ [p] ;
  copier (bloc [p], Tτ [p]) ; -- chaque élément de Tτ [p] est inséré dans la liste
                                -- ordonnée bloc [p]

  tant-que al ≠ ∅
    q ← élément (al) ; al ← suivant (al) ;
    si visit [q] = 0 alors traiter (q) fsi
    bloc [p] ← fusion (bloc [p], bloc [q]) ; -- fusion de deux listes ordonnées
  fin_tant-que
fin_procedure

```

```

procédure maj_T
Soient p, q, q' des entiers,
  al, bq des listes d'entiers.
  pour tout p ∈ [1, n - 1]
    pour tout a ∈ [1, e - 1]  -- a ≠ τ
      al ← Ta [p] ;
      tant-que al ≠ ∅
        q ← élément (al) ; al ← suivant (al) ;
        si Tτ [q] ≠ ∅ et ∀ b ≠ τ Tb [q] = ∅ alors suppression (p, a, q, T) ; fsi
        bq ← bloc [q] ;
        tant-que bq ≠ ∅
          q' ← élément (bq) ; bq ← suivant (bq) ;
          si Tτ [q'] = ∅ ou ∃ b ≠ τ Tb [q] ≠ ∅ alors insertion (p, a, q', T) ; fsi
        fin_tant-que
      fin_tant-que
    fin_pour
  fin_pour

```

```

pour tout  $p \in [1, n - 1]$ 
   $al \leftarrow T_\tau [p]$  ;
  tant-que  $al \neq \emptyset$ 
     $q \leftarrow \text{élément}(al)$  ;  $al \leftarrow \text{suivant}(al)$  ; suppression  $(p, \tau, q, T)$  ;
  fin_tant-que
fin_pour
fin_procedure

```

---

Evaluation :

Soit  $n_\tau$  le nombre d'états à partir desquels il existe un  $\tau$ -transition :  
 $n_\tau = |\{p \mid T_\tau [p] \neq \emptyset\}|$ . Le temps nécessaire à l'exécution de la transformation  $\tau$ -élimination est de l'ordre de  $n_\tau^3$  : c'est un algorithme de calcul de fermeture transitive.

La transformation  $\tau$ -saturation est aussi un algorithme de calcul de fermeture transitive de la relation  $T_\tau$ . Son temps d'exécution est de l'ordre de  $n_\tau^3$ . La procédure *traiter* ( $p$ ) met à jour le tableau *bloc* de façon analogue à la procédure  $\tau$ -élimination et insère les transitions de l'ensemble  $\{p\} \times T [q]$  dans  $T$ , pour un élément  $q$  de l'ensemble  $T_\tau [p]$  (figure 5) :

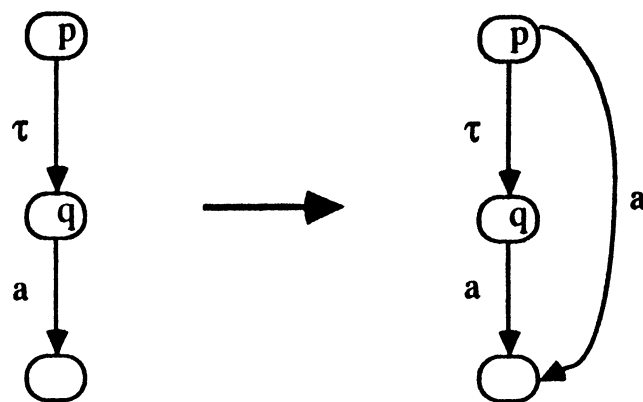


figure 5

La procédure *maj\_T* inverse la relation de transitions étiquetées et pour chaque état  $q$ , et chaque état  $r$  de la liste *bloc* [ $q$ ], insère les éléments de  $T^{-1}[q] \times \{r\}$  dans  $T$  (figure 6).



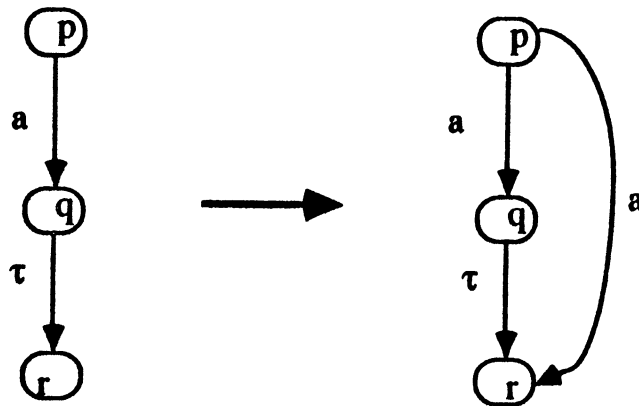


figure 6

L'inversion de la relation de transitions est justifiée par deux raisons. D'une part, la liste  $T_a^{-1}[q]$  est directement accessible. D'autre part, la construction du système quotient modulo la congruence et l'équivalence observationnelles, opération qui suit l'application de la  $\tau$ -saturation, utilise la relation de transitions étiquetées inverse. Remarquons que l'inversion de la relation de transitions étiquetées est linéaire en  $m$ .

La transformation  $\tau$ -circuit est analogue à la transformation  $\tau$ -chaîne. La procédure traiter détermine les composantes fortement connexes de la relation  $T_\tau$  et met à jour le tableau *inbloc*. Le temps nécessaire à l'exécution de la procédure traiter est de l'ordre de  $m$  [AHU74]. La procédure maj\_T est analogue à la procédure maj\_T de la transformation  $\tau$ -chaîne. Finalement, le temps nécessaire à l'exécution de la transformation  $\tau$ -circuit est majoré par  $c^2n$ .

La transformation  $\tau$ -boucle est linéaire en  $n$  : elle consiste, pour chaque état  $p$ , à supprimer la transition  $(p, \tau, p)$ .

### Transformation obs\_réduction

La transformation obs\_réduction et la procédure maj\_T de la transformation  $\tau$ -saturation sont "symétriques".

Après la construction du système quotient, la relation de transitions étiquetées est représentée par  $T_p^{-1}$ . La transformation obs\_réduction est composée des trois actions suivantes :

- pour chaque état  $r$  et chaque état  $q$  élément de  $T_{\rho\tau^{-1}}[r]$ , suppression de la transition  $(p, a, r)$  si  $(p, a, q) \in T_{\rho}$  (figure 7).
- inversion de la relation  $T_{\rho}^{-1}$ .
- pour chaque état  $p$  et chaque état  $q$  élément de  $T_{\rho\tau}[p]$ , suppression de la transition  $(p, a, r)$  si  $(q, a, r) \in T_{\rho}$  (figure 8).

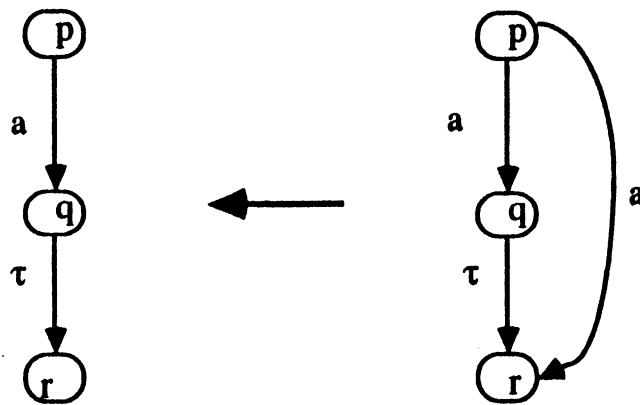


figure 7

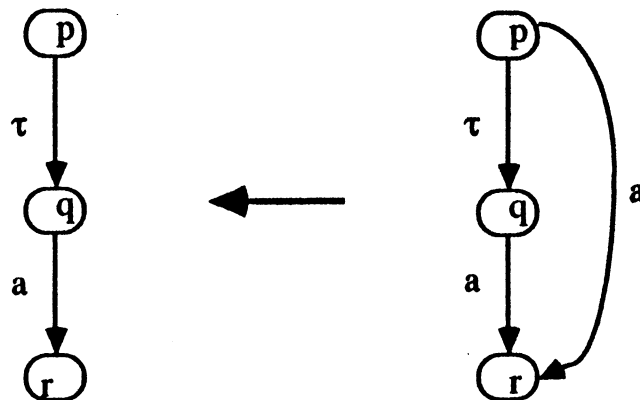


figure 8

**Evaluation :**

Le temps nécessaire à l'exécution de la transformation obs\_réduction est proportionnel à  $n_{\rho} m_{\rho}$ , où  $m_{\rho}$  est le cardinal de  $T_{\rho}$  et  $n_{\rho}$  le cardinal de l'ensemble des états du quotient.

## Transformation saturation

Cette transformation est décrite par l'algorithme 4 ci-dessous.

### Algorithme 4

---

```

Soient  $p, q_1, q_2$  des entiers,
 $a_1, a_2, b_1$  des listes d'entiers.
pour tout  $p \in [0, n - 1]$ 
  pour tout  $a \in [1 .. e - 1]$ 
    si  $(|T_a [p]| > 1)$ 
      alors  $a_1 \leftarrow T_a [p]$  ;
      tant-que  $a_1 \neq \emptyset$ 
         $q_1 \leftarrow \text{élément}(a_1)$  ;  $a_{1_1} \leftarrow \text{suivant}(a_1)$  ;
        tant-que  $a_{1_1} \neq \emptyset$ 
           $q_2 \leftarrow \text{élément}(a_{1_1})$  ;  $a_{1_1} \leftarrow \text{suivant}(a_{1_1})$  ;
          pour tout  $b \in [1, e - 1]$ 
             $b_1 \leftarrow T_b [p] \cup T_b [q_2]$  ;  $T_b [q_1] \leftarrow b_1$  ;  $T_b [q_2] \leftarrow b_1$  ;
          fin_pour
        fin_tant_que
      fin_tant-que
    fsi
  fin_pour
fin_pour
fin_procedure

```

---

### Evaluation :

Le temps nécessaire à l'exécution de l'algorithme 4 est majoré par  $n^3 e^2 m^2$ . Ce majorant est atteint dans l'hypothèse la plus défavorable : soit  $p$  un état et soit  $a$  une étiquette,  $T_a [p] \neq \emptyset$ . La fusion des deux listes effectuée dans la boucle pour la plus interne est de l'ordre de  $m^2$ . Cette fusion est effectuée  $e$  fois pour chaque couple d'états  $(q_1, q_2)$ . La transformation saturation est la plus coûteuse

des transformations intervenant dans le calcul des formes normales. Cependant, l'hypothèse la plus défavorable n'est pas vérifiée dans les exemples traités en pratique.

### 2.3 Discussion

Nous pouvons évaluer le temps nécessaire au calcul d'une forme normale pour la congruence forte, l'équivalence observationnelle, la congruence observationnelle ou la congruence par modèle d'acceptation. En pratique, ce temps est quasi-linéaire par rapport à la taille de la relation de transitions étiquetées "transformée". Certaines transformations sont basées sur le calcul de la fermeture transitive de la relation étiquetée par  $\tau$ . Cette fermeture est calculée après la transformation  $\tau$ -cycle qui réduit la relation étiquetée par  $\tau$ . Nous avons observé dans les exemples traités que le coût du calcul de la forme normale est toujours de l'ordre de celui du calcul de la plus grande bisimulation. Nous pensons qu'il est intéressant de "normaliser" les systèmes de transitions pendant l'opération de composition. Cela permet de minimiser les transitions et les états *temporaires* (celles et ceux qui ne figurent pas dans le résultat final).

### 3 Réduction de la composition

Généralement, un système réparti est défini, de manière hiérarchique, à partir de processus séquentiels (i.e. de systèmes de transitions étiquetées) de l'opérateur d'abstraction, de l'opérateur de composition, et de l'opérateur de restriction. La vérification consiste à associer à ce système un système de transitions étiquetées sous forme normale pour une relation de congruence. L'objet de ce paragraphe est l'étude de stratégies pour optimiser la génération du système de transitions étiquetées composé. Il s'agit de minimiser le nombre d'états et de transitions "temporaires", générés pendant la composition puis supprimés.

Nous considérons à part l'opérateur d'abstraction qui est généralement utilisé avec la congruence observationnelle pour réduire un système de transitions étiquetées. Nous envisageons uniquement dans ce qui suit les opérateurs de composition et de restriction pour définir les stratégies.

Un système réparti est décrit par une *expression de composition*. La syntaxe abstraite définissant les expressions de composition est décrite de la manière suivante : soit  $t$ ,  $S$  et  $I$  désignant respectivement une expression de composition, un système de transitions étiquetées et un sous-ensemble de  $Act$ ,

$$t ::= S \mid t \parallel_L t \mid t \setminus I.$$

Les stratégies que nous proposons consistent à décorer l'arbre abstrait associé à l'expression de composition avec un système d'attributs et à générer le système de transitions étiquetées associé à la racine de l'arbre en fonction des attributs de chaque nœud. Une feuille est un système de transitions étiquetées ou un ensemble d'étiquettes ; un nœud qui n'est pas une feuille représente un opérateur. Nous présentons informellement ces stratégies sur un exemple, puis nous définissons deux stratégies particulières.

#### Exemple

Dans cet exemple, l'algèbre de synchronisation considérée est celle de CCS, et la relation de congruence, la congruence observationnelle ; on note  $\parallel$  au lieu de  $\parallel_{L1}$  l'opérateur de composition correspondant. Par convention, on utilise le caractère " ' " pour désigner le complémentaire d'une étiquette :

$$x \bullet x' = \tau$$

Nous présentons une version simplifiée du problème d'ordonnement

[Mil80], (page 33) :

Nous supposons que nous avons  $n$  processus communicants  $p_i$  pour  $i$  variant de 1 à  $n$ , chaque processus exécutant une certaine tâche de façon répétitive. Nous construisons un contrôleur, pour garantir que ces tâches s'exécutent de manière cyclique. Plus précisément, chaque  $p_i$  reçoit un signal  $a_i$  lui permettant d'exécuter sa tâche et émet un signal  $b_i$  après exécution de celle-ci. Les deux contraintes que doit vérifier le "scheduler" sont :

(i) Lorsque toutes les occurrences de  $b_i$  ne sont pas *visibles*, le système doit être observationnellement congru au système de transitions étiquetées figure 9.

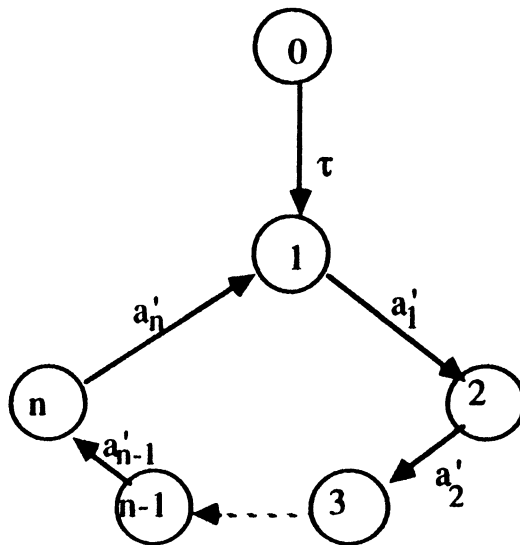


figure 9

(ii) pour chaque  $i$ , lorsque toutes les occurrences de  $a_j b_j$  ( $i \neq j$ ) sont supprimées, le système doit être observationnellement congru au système de transitions étiquetées figure 10.

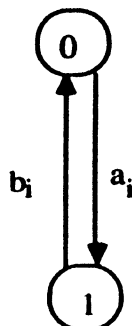


figure 10

Pour décrire le comportement du contrôleur, nous construisons un anneau composé de  $n$  "cyclers" élémentaires  $C_i$  (figure 11) et d'un "starter"  $S$  (figure

12). La représentation en CCS est la suivante :

$$C_i = g_i a'_i (b'_i g'_{i+1} C_i + g'_{i+1} b'_i C_i), \text{ avec la convention } g_{n+1} = g_0.$$

$$S = g'_1 \text{ nil}$$

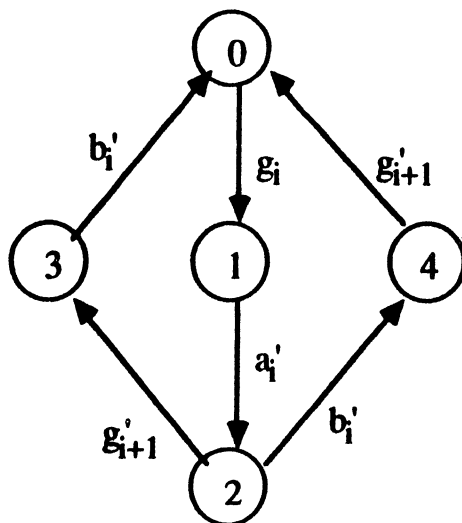


figure 11

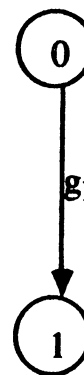


figure 12

Le comportement Sch du contrôleur peut être décrit de la manière suivante :

$$\text{Sch} = (S \parallel C_1 \parallel C_2 \parallel \dots \parallel C_n) \setminus \{g'_1, \dots, g'_n, g_1, \dots, g_n\}$$

Pour montrer que la contrainte (i) est satisfaite, nous "fermons" les portes de communication  $b_i$  avec les processus  $R_i$  (figure 13), dont la représentation en CCS est  $R_i = b_i R_i$ .

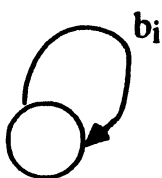


figure 13

Nous montrons que :

$$\text{Sch}' = \text{Sch} \parallel R_1 \parallel \dots \parallel R_n \setminus \{b'_1, \dots, b'_n, b_1, \dots, b_n\}$$

est observationnellement congru à  $\text{SchR} = \tau a'_1 \dots a'_n \text{SchR}$  (figure 9).

Nous nous restreignons au cas où  $n = 2$ .

L'expression de composition est :

$$\text{Sch}' = (S \parallel C_1 \parallel C_2) \setminus \{g_1, g_2, g'_1, g'_2\} \parallel (R_1 \parallel R_2) \setminus \{b_1, b_2, b'_1, b'_2\}.$$

Le système de transitions étiquetées associé à Sch' a 3 états et 3 transitions (figure 9)

Comment générer un système de transitions étiquetées à partir de l'arbre abstrait associé à Sch' ?

1) La méthode la plus simple est la suivante :

- pour un nœud *composition parallèle*, générer le système de transitions pour chacun des fils et effectuer la composition (cf. la définition de l'opérateur de composition).

- pour un nœud *restriction*, évaluer le fils "ensemble de restriction", générer un système de transitions étiquetées pour l'autre fils et effectuer la restriction (cf. la définition de l'opérateur de restriction).

Avec cette méthode, trop de transitions temporaires sont générées : au nœud représentant l'expression  $(S \parallel C_1 \parallel C_2)$  est associé un système de transitions dont le nombre d'états (resp. de transitions) est de l'ordre de 50 (resp. 200).

2) Nous pouvons améliorer cette méthode en tenant compte du *contexte de réduction* et de la relation de congruence. Par exemple, lors de la génération du système de transitions étiquetées associé au nœud représentant l'expression  $(S \parallel C_1 \parallel C_2)$ , si l'on tient compte de l'ensemble de restriction  $\{g_1, g_2, g'_1, g'_2\}$ , le système de transitions associé à  $(S \parallel C_1 \parallel C_2) \setminus \{g_1, g_2, g'_1, g'_2\}$  a 13 états et 19 transitions. Sa forme normale pour la congruence observationnelle a 9 états et 13 transitions.

3) Enfin, nous pouvons utiliser les propriétés algébriques des opérateurs  $\parallel$  et  $\setminus$  étudiées au premier chapitre. En effet,

$$\begin{aligned} \text{Sch}' \sim & ((R_1 \parallel C_1) \setminus \{b_1, b'_1\} \parallel \\ & (R_2 \parallel C_2) \setminus \{b_2, b'_2\} \parallel \\ & S) \setminus \{g_1, g_2, g'_1, g'_2\} \end{aligned}$$

Nous associons un système de transitions étiquetées  $St_1$  (resp.  $St_2$ ) à  $(R_1 \parallel C_1) \setminus \{b_1, b'_1\}$  (resp.  $(R_2 \parallel C_2) \setminus \{b_2, b'_2\}$ ) en tenant compte de la restriction pendant la composition. Nous obtenons un système de transitions étiquetées qui a 5 états et 6 transitions. Nous calculons sa forme normale notée  $St_{1co}$  (resp.  $St_{2co}$ ), qui a 3 états et 3 transitions. Enfin, nous associons Sch' à  $(S \parallel St_{1co} \parallel St_{2co}) \setminus \{g_1, g_2, g'_1, g'_2\}$  qui a 3 états et 3 transitions. Le résultat est sous forme normale pour la congruence observationnelle.

Il apparaît sur cet exemple que, dans le cas 1 et, dans une moindre mesure dans le cas 2, beaucoup de transitions sont engendrées puis supprimées. Nous



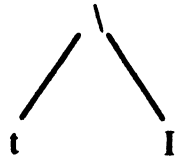
proposons deux stratégies permettant de prendre en compte le contexte et d'effectuer la composition telle qu'elle est décrite en 2 ou en 3.

Pour associer à une expression de communication un système de transitions étiquetées, nous procédons en plusieurs étapes :

1) *Définition de l'ensemble de communication.* Cet ensemble précise, pour les couples d'étiquettes dont le produit de synchronisation est non nul, la valeur de ce produit.

2) *Construction d'un arbre abstrait binaire associé au terme.* Un noeud de l'arbre est soit un opérateur de communication, soit une feuille désignant un système de transitions étiquetées, soit une feuille désignant un ensemble de restriction. A chaque noeud sont associés trois attributs précisant :

- l'ensemble des étiquettes effacées ; à la racine, l'ensemble qu'il représente est vide ; cet ensemble est enrichi sur les sous-termes  $t$  de



par  $I$ .

- les systèmes de transitions étiquetées "feuilles" ;  
 - l'ensemble des étiquettes visibles ; pour une feuille, il représente l'ensemble des étiquettes du système de transitions étiquetées associé à la feuille ; il est modifié par l'opérateur de restriction.

3) *Parcours de l'arbre abstrait pour mettre à jour l'attribut associé à chaque noeud :*

- l'attribut ensemble des étiquettes effacées est hérité,  
 - les attributs ensemble des étiquettes visibles et systèmes de transitions feuilles sont synthétisés. Par exemple, à l'expression de composition  $Sch' = (S \parallel C_1 \parallel C_2) \setminus \{g_1, g_2, g'_1, g'_2\} \parallel R_1 \parallel R_2) \setminus \{b_1, b_2, b'_1, b'_2\}$ , il correspond l'arbre de la figure 14.

4) *Parcours de l'arbre abstrait modifié afin de générer le graphe de communication :* les sommets de ce graphe sont les systèmes de transitions étiquetées et un arc relie deux sommets si et seulement si il existe une communication entre les deux systèmes de transitions étiquetées correspondants. Les arcs sont étiquetés par l'ensemble des étiquettes visibles après

communication. Le graphe de communication associé à Sch' est celui de la figure 15.

5) *Réduction du graphe de communication.* Cette réduction est faite en choisissant deux sommets du graphe de communication, en les composant et en réalisant la fusion, dans le graphe, des deux sommets venant d'être composés.

Les attributs d'un nœud  $t$  de la syntaxe abstraite sont notés de la manière suivante :

$t.V$  désigne l'attribut "actions visibles",

$t.E$  dénote l'attribut "actions effacées",

$t.S$  désigne l'attribut "systèmes de transitions étiquetées".

La mise à jour des attributs est régie par les règles suivantes :

*Règles de la grammaire abstraite      Calcul des attributs*

$$t \rightarrow S = (Q, A, T, q_0)$$

$$t.V \leftarrow A$$

$$t.S = \{S\}$$

$$t \rightarrow t_1 \setminus I$$

$$t.V \leftarrow t_1.V - I$$

$$t.S \leftarrow t_1.S$$

$$t.E \leftarrow (t.E) \cup I$$

$$t_1.E \leftarrow (t.E)$$

$$t \rightarrow t_1 \parallel_L t_2$$

$$t.V \leftarrow t_1.V \cup t_2.V \cup (t_1.V) \bullet (t_2.V)$$

$$t.S \leftarrow t_1.S \cup t_2.S$$

$$t_1.E \leftarrow t.E$$

$$t_2.E \leftarrow t.E$$

## Remarques

(i) Si le nœud est une feuille  $S_i = (Q_i, A_i, T_i, q_i)$  alors :

- l'ensemble des étiquettes effacées est hérité du nœud père,
- l'ensemble des étiquettes visibles est  $A_i$ .
- l'ensemble des systèmes de transitions étiquetées est  $\{S_i\}$ .

(ii) Si le noeud est l'opérateur de composition parallèle alors :

- l'ensemble des étiquettes effacées est hérité du noeud père et transmis aux fils gauche et droit,
- l'ensemble des étiquettes visibles est l'union des ensembles des étiquettes visibles des fils gauche et droit et de l'ensemble des étiquettes résultant des communications,
- l'ensemble des systèmes de transitions étiquetées est l'union des ensembles des systèmes de transitions étiquetées des fils gauche et droit.

(iii) Si le noeud est l'opérateur de restriction, si le fils gauche désigne l'ensemble des étiquettes effacées alors :

- l'ensemble des étiquettes effacées est l'union de l'ensemble des étiquettes effacées hérité du noeud père, et de l'ensemble désigné par le fils gauche. Si le fils droit est encore un noeud de restriction, on réitère cette opération.
- l'ensemble des étiquettes visibles est la différence ensembliste entre l'ensemble des étiquettes visibles du fils droit et l'ensemble des étiquettes effacées.
- l'ensemble des systèmes de transitions étiquetées est celui du fils droit.

### Exemple

Nous associons à Sch' l'arbre abstrait de la figure 14. Les attributs sont représentés dans un carré et désignent, dans l'ordre :

- l'attribut *actions effacées*,
- l'attribut *actions visibles*,
- l'attribut *systèmes de transitions étiquetées*.

Les étapes de construction et de réduction du graphe diffèrent suivant la stratégie choisie. Nous définissons la notion de graphe de communication puis les deux stratégies **comp1** et **comp2** permettant de construire et de réduire de graphe de communication.

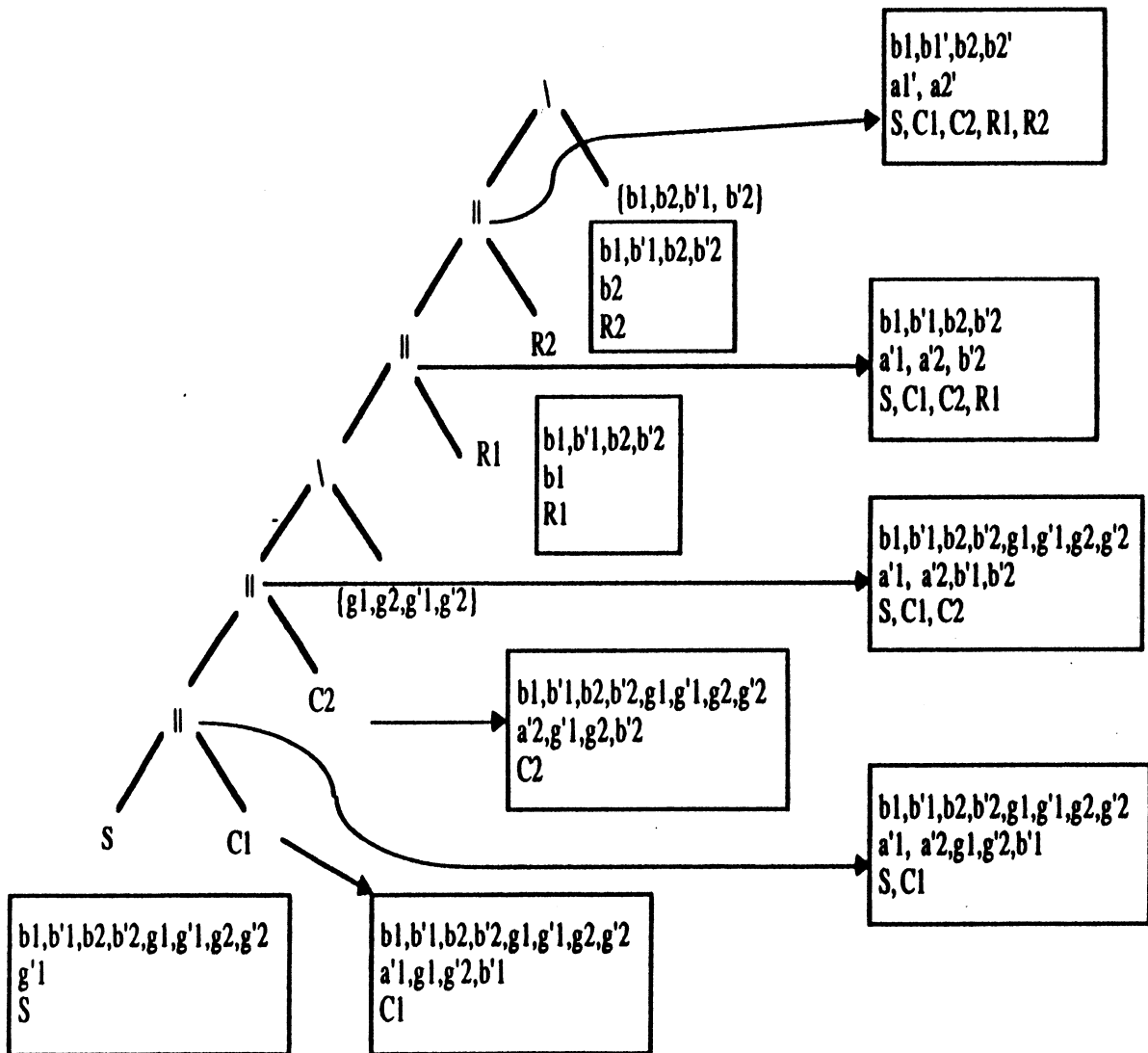


figure 14

### 3.1 Graphe de communication

Soit  $t$  une expression de composition dont les feuilles sont  $S_1, \dots, S_n$ , où  $S_i = (Q_i, A_i, T_i, q_i)$ . Soit  $E_i$  l'attribut *actions effacées* associé à  $S_i$ .

Dans cette partie, nous définissons le graphe de communication associé à  $t$ . Tout d'abord, nous définissons les informations nécessaires à la construction et à la mise à jour de ce graphe. Ces informations sont :

- la fonction  $nb\_aut$  qui, étant donné un système de transitions étiquetées  $S_i$  et une étiquette  $a$ , détermine le nombre de systèmes de transitions étiquetées avec lesquels  $S_i$  communique par l'intermédiaire de  $a$  ;
- l'ensemble d'étiquettes visibles après communication entre deux systèmes

de transitions  $S_i$  et  $S_j$ . Cet ensemble est déterminé en fonction de  $nb\_aut$  et des attributs actions effacées  $E_i$  et  $E_j$  ;

- la fonction booléenne  $com\_aut$  qui détermine si deux systèmes de transitions communiquent.

### Définitions

1) La fonction  $nb\_aut$  est définie de la manière suivante :

$$nb\_aut(a, S_i) = |\{b \mid \exists j \text{ et } j \neq i \text{ } b \in A_j \text{ et } a \bullet b \neq 0\}|$$

2) Les ensembles d'actions visibles après communication  $V_{ij}$  sont définis de la manière suivante :

$$\begin{aligned} V_{ij} = & \{a \mid a \in V_i \text{ et } a \notin E_i\} \cup \\ & \{a \mid a \in V_i \text{ et } a \in E_i \text{ et } nb\_aut(a, S_i) \neq 1\} \cup \\ & \{a \mid a \in V_i \text{ et } a \in E_i \text{ et } nb\_aut(a, S_i) = 1 \text{ et } a \bullet b \neq 0 \text{ et } b \notin A_j\} \cup \\ & \{a \mid a \in V_j \text{ et } a \notin E_j\} \cup \\ & \{a \mid a \in V_j \text{ et } a \in E_j \text{ et } nb\_aut(a, S_j) \neq 1\} \cup \\ & \{a \mid a \in V_j \text{ et } a \in E_j \text{ et } nb\_aut(a, S_j) = 1 \text{ et } a \bullet b \neq 0 \text{ et } b \notin A_i\} \cup \\ & \{a \bullet b \mid a \in V_i \text{ et } b \in V_j \text{ et } a \bullet b \neq 0 \text{ et } a \bullet b \notin E_i \cup E_j\} . \end{aligned}$$

3) La fonction  $com\_aut$  est définie de la manière suivante :

$$com\_aut(S_i, S_j) = \exists a \in A_i \text{ et } \exists b \in A_j \text{ et } a \bullet b \neq 0$$

4) Le graphe de communication associé à  $t$  est un graphe non orienté  $(F, \rightarrow)$  :

- les sommets sont les couples  $(S_i, E_i)$  :

$F = \{(S_i, E_i) \mid S_i \text{ est une feuille de } t \text{ et } E_i \text{ l'attribut "actions effacées" associé}\}$

- les arcs sont étiquetés par les étiquettes visibles après communication si et seulement si les sommets communiquent :

$$(S_i, V_{ij}, S_j) \in \rightarrow \text{ si et seulement si } com\_aut(S_i, S_j) \text{ est vrai.}$$

### Exemple

Le graphe associé à  $Sch'$  est donné figure 15. Nous notons :

$$E = \{b_1, b'_1, b_2, b'_2\} ,$$

$$E' = E \cup \{g_1, g'_1, g_2, g'_2\}$$

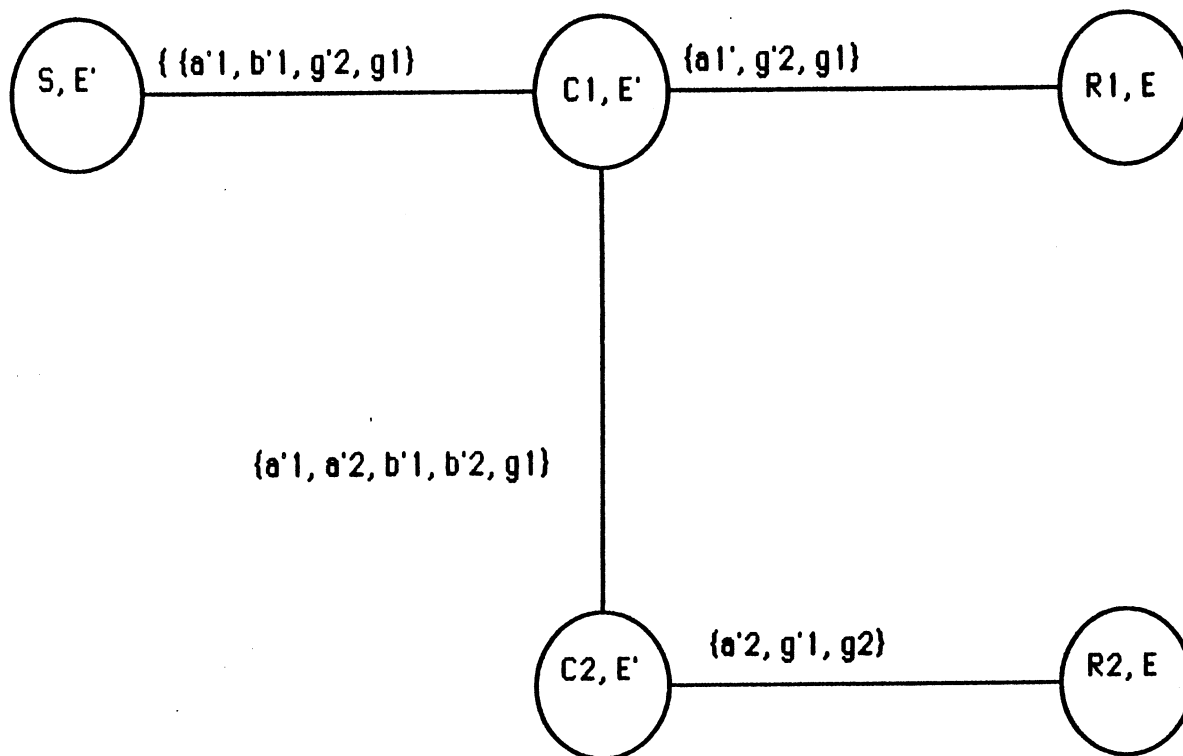


figure 15

### 3.2 Définition de la stratégie compl.

Les phases de construction et de réduction du graphe de communication sont confondues et sont définies de la manière suivante :

**si le noeud est un *noeud composition parallèle* alors**

- construction et réduction du graphe de communication pour le fils droit et pour le fils gauche ; soient  $sg$  et  $sd$  les systèmes de transitions étiquetées associés respectivement au fils gauche et au fils droit.

- détermination des étiquettes visibles étiquetant l'arc de communication entre  $sg$  et  $sd$ .

- composition de  $sg$  et  $sd$  et calcul de la forme normale du résultat pour la congruence choisie.

**sinon si le noeud est un *noeud restriction* alors**

construction et réduction du graphe de communication pour le fils droit et calcul de la forme normale du résultat pour la congruence choisie.

**fsi**

### 3.3 Définition de la stratégie comp2.

Soit  $G = (F, \rightarrow)$  le graphe de communication associé à l'expression de composition  $t$  et  $\sim_c$  une congruence. La stratégie **comp2** consiste à appliquer tant que c'est possible une *réduction du graphe de communication*. Une réduction du graphe de communication **red**, associée à un graphe  $G$  de  $n$  sommets un graphe  $G'$  de  $n-1$  sommets et peut être définie par la procédure suivante :

**red** ( $G, \sim_c$ )

- choisir deux sommets  $(S_i, E_i)$  et  $(S_j, E_j)$  de  $G$  ;
- effectuer la composition  $S_i \parallel_L S_j$  ; soit  $S$  la forme normale du résultat pour  $\sim_c$  ;
- remplacer dans  $G$  les sommets  $(S_i, E_i)$  et  $(S_j, E_j)$  par le sommet  $(S, E_i \cap E_j)$  ;
- mettre à jour les *ensembles d'actions visibles après communication* (cf. définitions du paragraphe 3.1) ;
- retourner  $G'$ .

**fin**

La procédure précédente peut être mise en œuvre de plusieurs façons distinctes : il faut préciser comment choisir les deux sommets à composer. Ce choix est déterminé par les considérations suivantes :

(i) Puisqu'on s'intéresse aux systèmes qui communiquent, on choisit des systèmes appartenant à la même composante connexe. Dans l'exemple de la figure 15, le graphe de communication est réduit à une seule composante connexe.

(ii) Parmi les systèmes de transitions étiquetées appartenant à une même composante connexe, on détermine l'ensemble des systèmes de transitions étiquetées qui communiquent le moins (i.e. les sommets du graphe de degré minimum, le degré d'un sommet étant le nombre d'arcs ayant ce sommet pour extrémité). Dans l'exemple de la figure 15, ce sont les systèmes de transitions étiquetées  $S, R_1$  et  $R_2$ .

(iii) On choisit alors deux systèmes de transitions, dont l'un appartient à l'ensemble précédent, et tels que l'ensemble des actions visibles après communication soit le plus petit possible.

Les considérations précédentes conduisent à réduire le graphe de communication en deux phases :

a) Chaque composante connexe  $G' = (F', \rightarrow)$  de  $G$  est réduite à un élément en itérant la procédure **red** où l'action de choisir les deux éléments à composer est précisée.

b) Si le graphe  $G$  a plus d'une composante connexe, le graphe est réduit à un élément en itérant la procédure **red** où l'action de choisir les deux éléments à composer est aléatoire.

L'itération appliquée à une composante connexe  $G'$  (resp. au graphe  $G$ ) est la construction de la suite :

$$\text{Red}^{i+1}(G', \sim_c) = \text{Red}(\text{Red}^i(G, \sim_c), \sim_c).$$

Lorsque  $\text{red}^n(G')$  (resp.  $\text{red}^n(G)$ ) est réduit à un seul élément, nous obtenons le système de transitions étiquetées associé à la composante connexe (resp. l'expression de composition  $t$ ).

#### a) Réduction d'une composante connexe du graphe de communication

Le choix des deux éléments à composer, pour réduire une composante connexe  $G' = (F', \rightarrow)$ , est déterminé par les actions suivantes :

- détermination du degré minimum de  $G'$  :

$$\text{degré\_min}(G') = \min \{ \text{degré}(S) \mid S \in F' \}$$

- détermination des sommets  $F''$  de  $G'$  vérifiant :

$$F'' = \{ S \in F' \mid \text{degré}(S) = \text{degré\_min}(G') \}$$

- détermination des deux sommets à composer :

c'est un couple  $(S_i, S_j)$  vérifiant la propriété suivante,

$$S_i \in F'' \text{ et } |V_{ij}| = \min \{ |V_{kl}| \mid S_k \in F'', S_l \in F' \}$$

$$\text{et } \text{com\_aut}(i, j) = \text{vrai}$$

Dans l'exemple de la figure 15, réduit à une seule composante connexe,

$$\text{degré\_min}(G) = 1,$$

$$F' = \{ S, C_1, C_2 \},$$

le couple choisi est soit  $(C_1, R_1)$ , soit  $(C_2, R_2)$ .

#### b) Réduction du graphe de communication

Si le graphe  $G$  a plus d'une composante connexe, chaque composante connexe contient un seul système de transitions étiquetées. La composition, par application de la procédure **red**, est un entrelacement, puisqu'aucun système de transitions étiquetées ne communique avec un autre. Il n'y a pas lieu de définir



un choix particulier pour deux systèmes de transitions étiquetées devant être composés.

### c) Construction du graphe de communication

La construction du graphe de communication associé à l'expression de composition  $t$  est déterminée par la propriété suivante (chapitre I) :

Soient  $S_i = (Q_i, A_i, T_i, q_i)$ ,  $i = 1, 2$ , deux systèmes de transitions étiquetées et  $L$  une algèbre de synchronisation.

- (i)  $(S_1 \parallel_L S_2) \setminus \{a\} = (S_1 \setminus \{a\}) \parallel_L S_2$  si et seulement si  
 $(a \notin A_1 \bullet A_2 \text{ et } a \notin A_2 \text{ et } (a \in A_1 \Rightarrow Com(a) \cap A_2 = \emptyset))$  ou  
 $(a \in A_1 \bullet A_2 \text{ et } ((a = b \bullet c) \Rightarrow a = b = c))$

Cette propriété se généralise aux expressions de composition de la manière suivante :

- (ii)  $(t_1 \parallel_L t_2) \setminus I = (t_1 \setminus I) \parallel_L t_2$  si et seulement si  
 $\forall a \in I$

- $(a \notin ((t_1.V) \bullet (t_2.V)) \text{ et } a \notin (t_2.V) \text{ et}$   
 $(a \in (t_2.V) \Rightarrow Com(a) \cap (t_2.V) = \emptyset))$  ou  
 $(a \in ((t_1.V) \bullet (t_2.V)) \text{ et } ((a = b \bullet c) \Rightarrow a = b = c))$

Nous transformons l'arbre en appliquant les deux transformations suivantes.

1) Soit  $n$  un nœud de la forme  $n_1 \parallel_L n_2$ . Si  $n_1$  contient un sous-arbre de la forme  $n_{11} \setminus I_1$  et si  $n_2$  contient un sous-arbre de la forme  $n_{22} \setminus I_2$ , alors on remplace le nœud  $t_{11} \setminus I_1$  par une feuille correspondant au système de transitions étiquetées associé à  $t_{11} \setminus I_1$  par la stratégie **comp2**. On procède de la même manière avec le nœud  $t_{22} \setminus I_2$ . Remarquons que si l'arbre contient des sous-arbres de la forme  $t \setminus I$ , après l'application de cette transformation, alors ceux-ci sont totalement ordonnés vis-à-vis de la relation d'ordre *parent* ;  $n$  est *parent* de  $n'$  si  $n'$  est un fils de  $n$  ou si un fils de  $n$  est *parent* de  $n'$ .

2) La deuxième transformation consiste à déterminer les systèmes de transitions étiquetées feuilles appartenant au même graphe. Elle consiste à appliquer la propriété (ii) dans le sens droite gauche.

Etant donné deux nœuds *restriction*  $n_1 \setminus I_1$  et  $n_2 \setminus I_2$  tels que  $n_1 \setminus I_1$  soit *parent* de  $n_2 \setminus I_2$ ,

si  $\forall S_1 \in (n_1 . S)$  et  $S_1 \notin (n_2 . S) \Rightarrow (S_1 \parallel_L n_2) \setminus I_2 = S_1 \parallel_L (n_2 \setminus I_2)$ ,

alors les systèmes de transitions étiquetées de  $(n_1 . S)$  et de  $(n_2 . S)$  appartiennent au même graphe de communication, sinon on remplace le nœud  $t_2 \setminus I_2$  par une

feuille correspondant au système de transitions étiquetées associé à  $t_2 \setminus I_2$  par la stratégie **comp2**.

La génération du graphe est alors réalisée en parcourant les feuilles de l'arbre.

### 3.4. Exemple

Nous illustrons la construction et la réduction du graphe de communication associé à  $Sch'$  en utilisant la stratégie **comp1** et **comp2**.

#### a) stratégie **comp1**

- composition de  $S$  et  $C_1$

les étiquettes visibles après composition sont :

$\{a'_1, g_1, g'_2, b'_1\}$

le système de transitions étiquetées composé, noté  $StS_1$ , a

10 états,

13 transitions,

la normalisation de  $StS_1$  pour la congruence observationnelle laisse  $StS_1$  inchangé.

- composition de  $StS_1$  et  $C_2$

les étiquettes visibles après composition sont :

$\{a'_1, a'_2, b'_1, b'_2\}$

le système de transitions étiquetées composé, noté  $St_{12}$ , a

13 états,

19 transitions,

le normalisé pour la congruence observationnelle de  $St_{12}$ , noté  $St_{12co}$ , a

9 états,

13 transitions.

- composition de  $St_{12co}$  et  $R_1$

les étiquettes visibles après composition sont :

$\{a'_1, a'_2, b'_2\}$

le système de transitions étiquetées composé, noté  $StR_2$ , a

9 états,

13 transitions,  
 le normalisé pour la congruence observationnelle de  $St_{12}$ , noté  $StR_{2co}$ , a  
 5 états,  
 6 transitions.

- composition de  $StR_{2co}$  et  $R_2$

les étiquettes visibles après composition sont :

$\{a'_1, a'_2\}$

le système de transitions étiquetées composé, noté  $StR$ , a

5 états,

6 transitions,

le normalisé pour la congruence observationnelle de  $StR$ , noté  $Sch'$ , a

3 états,

3 transitions.

## b) stratégie comp2

Le graphe de communication est celui donné par la figure 16.

- Les sommets de plus petit degré sont  $S$ ,  $R_1$  et  $R_2$ ,

- nous pouvons composer soit  $C_1$  et  $R_1$ , soit  $C_2$  et  $R_2$ , nous choisissons de composer  $C_1$  et  $R_1$  :

le système de transitions étiquetées composé, noté  $St_{11}$ , a

5 états,

6 transitions,

le normalisé pour la congruence observationnelle de  $St_{11}$ , noté

$St_{11co}$ , a

3 états,

3 transitions,

- mise à jour du graphe de communication : nous obtenons le graphe de communication de la figure 16.

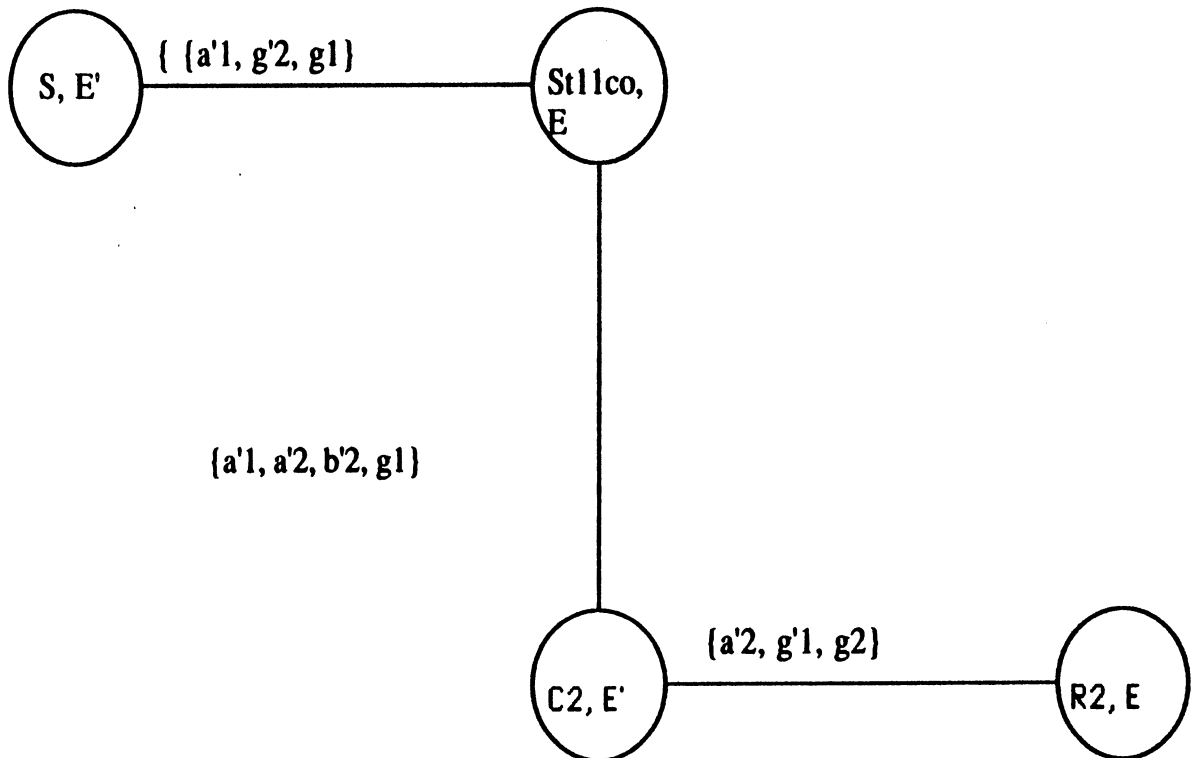


figure 16

- Les sommets de plus petit degré sont S et R<sub>2</sub>

composition de C<sub>2</sub> et R<sub>2</sub>

le système de transitions étiquetées composé, noté St<sub>22</sub>, a

5 états,

6 transitions,

le système de transitions étiquetées normalisé pour la congruence observationnelle de St<sub>22</sub>, noté St<sub>22co</sub>, a

3 états,

3 transitions,

mise à jour du graphe de communication : nous obtenons le graphe de communication de la figure 17.

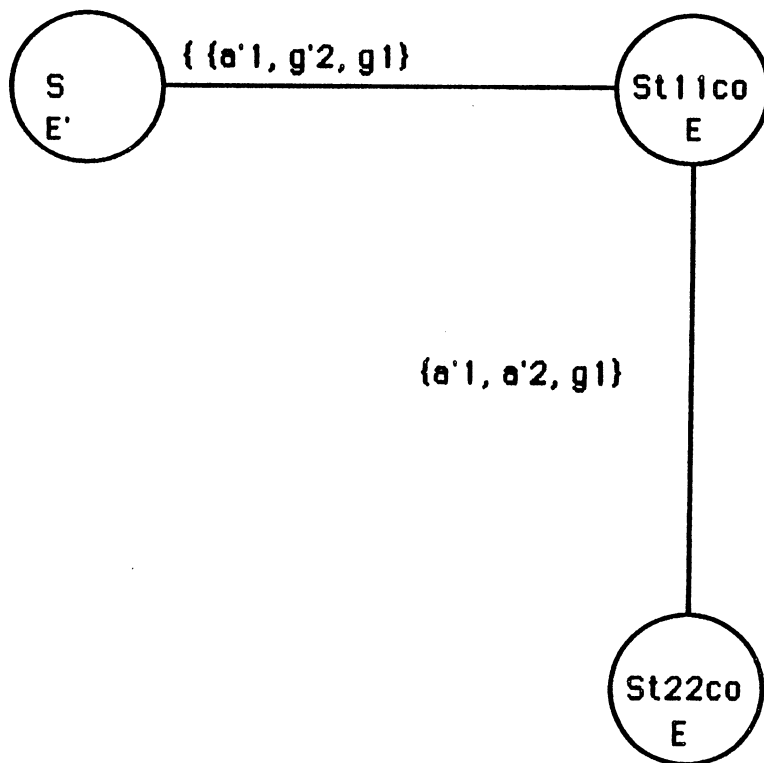


figure 17

- Les sommets de plus petit degré sont  $S$  et  $St_{22co}$
- nous pouvons composer soit  $S$  et  $St_{11co}$ , soit  $St_{22co}$  et  $St_{11co}$
- composition de  $S$  et  $St_{11co}$ 
  - le système de transitions étiquetées composé, noté  $StS_1$ , a
    - 6 états,
    - 7 transitions,
  - le normalisé pour la congruence observationnelle de  $StS_1$ , noté  $StS_{1co}$  a
    - 6 états,
    - 7 transitions.

Enfin, le normalisé pour la congruence observationnelle de la composition de  $St_{1co}$  et  $St_{22co}$ , notée  $Sch'$ , a trois états et trois transitions (figure 18) :

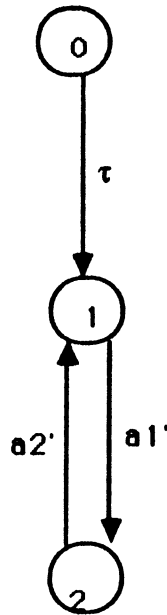


figure 18

### 3.5 Réalisation

Nous étudions dans ce paragraphe la mise en œuvre des stratégies **comp1** et **comp2**. Nous ne présentons pas l'évaluation de nos algorithmes. Ceux-ci manipulent essentiellement les noms des systèmes de transitions que l'on veut composer et les étiquettes. Le temps nécessaire à l'exécution des procédures définies pour les stratégies **comp1** et **comp2** est négligeable par rapport aux temps nécessaires à l'exécution des transformations étudiées dans les paragraphes précédents.

La table du produit de synchronisation est représentée par une matrice triangulaire (par commutativité de l'opérateur  $\bullet$ )  $act\_com [a, b]$  ; le  $(a, b)$ -ième élément désigne l'étiquette  $c$  si  $a \bullet b = c$ .

Soient  $n$  systèmes de transitions étiquetées, numérotés de  $0$  à  $n - 1$  et soient  $i, j \in [0 .. n - 1]$  deux systèmes de transitions étiquetées. Les structures de données suivantes sont utilisées pour construire et réduire le graphe de communication.

Le graphe de communication est représenté par deux structures :

- une matrice triangulaire (par commutativité de l'opérateur  $\bullet$ ),  $visible [i, j]$  ; le  $(i, j)$ -ième élément désigne un couple  $(n, l)$  où  $l$  est une liste d'étiquettes visibles après communication de  $i$  et  $j$  et  $n$  le cardinal de cette liste ;

- un tableau  $gra\_com$ , dont le  $i$ -ième élément désigne un couple  $(degré, l)$ , où  $degré$  est un entier désignant le degré du sommet  $i$  et  $l$  la liste de systèmes de

transitions étiquetées communiquant avec  $i$ .

Un tableau *classe* représente les composantes connexes du graphe de communication. Il est construit à partir du tableau *gra\_com*.

Un tableau *inclasse* dont le  $i$ -ième élément désigne la classe de  $i$ .

Un tableau *ste\_com* dont le  $i$ -ème élément désigne le noeud dans lequel  $i$  apparaît.

La génération du système de transitions étiquetées associé à un noeud  $n$  est réalisée pour la stratégie **comp2** en appliquant successivement les trois procédures suivantes :

parcours1 (noeud,  $\emptyset$ ) ;

parcours2 (noeud) ;

générer ( $i$ , noeud) ;  $i$  est un entier désignant le système de transitions à créer.

La rôle de la procédure parcours1 est la mise à jour des attributs.

La procédure parcours2 transforme l'arbre avant la génération du graphe de communication. C'est cette procédure qui détermine si toutes les feuilles de l'arbre appartiennent au même graphe de communication. Soient  $n$  et  $n'$  deux noeuds tels que  $n$  soit *parent* de  $n'$ . Si un système de transitions étiquetées, attribut *système de transitions étiquetées* du noeud  $n$ , ne peut être dans le même graphe que les feuilles du noeud  $n'$ , alors un système de transitions étiquetées, associé au noeud  $n'$  est généré.

La génération du système de transitions étiquetées associé à un noeud  $n$  est réalisée pour la stratégie **comp1** en appliquant successivement les deux procédures suivantes :

parcours1 (noeud,  $\emptyset$ ) ;

générer ( $i$ , noeud) ;  $i$  est un entier désignant le système de transitions à créer.

#### a) *Parcours de l'arbre pour mettre à jour les attributs*

Nous employons les notations suivantes :

*visibles*( $n$ ) désigne les étiquettes visibles du noeud  $n$ ,

*effacées*( $n$ ) désigne les étiquettes effacées du noeud  $n$ ,

*systèmes\_de\_transitions\_étiquetées*( $n$ ) désigne la liste des systèmes de transitions étiquetées feuilles, descendants du noeud  $n$ .

---

**procédure parcours1** (n : nœud, R : ensemble d'étiquettes)

selon la nature du nœud  $n \in \{\backslash, \parallel, \text{Idf}_s\}$

$\backslash$  :  $A \leftarrow R \cup \text{fils\_gauche}(\text{res}(n))$  ;  $\text{parcours1}(n, A)$  ;

$\text{effacées}(n) \leftarrow A$  ;

$\text{visibles}(n) \leftarrow \text{visibles}(\text{fils\_droit}(n))$  ;

$\text{systèmes\_de\_transitions\_étiquetées}(n) \leftarrow$

$\text{systèmes\_de\_transitions\_étiquetées}(\text{fils\_droit}(n))$  ;

$\parallel$  :  $\text{parcours1}(\text{fils\_gauche}(n), R)$  ;  $\text{parcours1}(\text{fils\_droit}(n), R)$  ;

$\text{effacées}(n) \leftarrow R$  ;

$\text{visibles}(n) \leftarrow \text{visibles}(\text{fils\_gauche}(n)) \cup \text{visibles}(\text{fils\_droit}(n)) \cup$

$\{c \mid c = a \bullet b \text{ et } a \bullet b \neq 0 \text{ et } a \bullet b \neq \tau \text{ et}$

$a \in \text{visibles}(\text{fils\_gauche}(n)) \text{ et } b \in \text{visibles}(\text{fils\_droit}(n))\}$  ;

$\text{systèmes\_de\_transitions\_étiquetées}(n) \leftarrow$

$\text{systèmes\_de\_transitions\_étiquetées}(\text{fils\_gauche}(n)) \cup$

$\text{systèmes\_de\_transitions\_étiquetées}(\text{fils\_droit}(n))$  ;

$\text{Idf}_s$  :  $\text{effacées}(n) \leftarrow R$  ;

$\text{systèmes\_de\_transitions\_étiquetées}(n) \leftarrow \{\text{Idf}_s\}$

**fin\_procedure**

---

b) *Transformation de l'arbre avant la génération du graphe de communication*

- Un parcours de l'arbre met à jour une liste de nœuds *parent*, dont le dernier élément est la racine. Si  $n_1$  est le *parent* de  $n_2$  alors  $n_1$  est le suivant de  $n_2$  dans cette liste. Les primitives de manipulation de listes de nœuds sont *élément* et *suivant*. La liste vide est notée *null*.

Nous notons  $\text{Prop}(A_1, A_2, I)$  le prédicat :

$\forall a \in I (a \notin A_1 \bullet A_2 \text{ et } a \notin A_2 \text{ et } (a \in A_1 \Rightarrow \text{Com}(a) \cap A_2 = \emptyset))$  ou

$(a \in A_1 \bullet A_2 \text{ et } ((a = b \bullet c) \Rightarrow a = b = c))$

La procédure suivante met à jour *ste\_com* et construit et détermine les systèmes de transitions étiquetées appartenant au graphe de communication.



---

parcours2 (n : nœud)

Soient,

- nœud<sub>1</sub>, nœud<sub>2</sub> deux nœuds,
- S<sub>2</sub> un entier désignant un système de transitions étiquetées.

**tant-que** parent ≠ null

nœud<sub>2</sub> ← élément (parent) ;

nœud<sub>1</sub> ← suivant (parent) ;

**pour tout** S<sub>2</sub> ∈ (fils\_droit (nœud<sub>1</sub>)) . S

**si** S<sub>2</sub> ∉ (fils\_droit (nœud<sub>2</sub>)) . S

**alors**

**si** Prop (fils\_gauche (nœud<sub>2</sub>).V, S<sub>2</sub>.V, fils\_droit (nœud<sub>2</sub>).E) = faux

**alors** mk\_ste (nœud<sub>2</sub>) ; retour ;

**fsi**

**fsi**

**finpour**

**fin\_tant-que**

**fin\_procédure**

---

Commentaires : La fonction mk\_ste crée un nouveau nom, appelle générer et met à jour le nœud. L'instruction retour permet de "sortir" de la boucle pour.

### c) Génération et réduction pour la stratégie comp2

Nous donnons uniquement la description de la procédure telle qu'elle est réalisée.

---

générer2 (i : entier, n : nœud)

#### Description :

Construction du graphe :

- maj de visible en tenant compte de la définition 2.3.3 du chapitre I,
- maj\_de\_gra\_com , pour deux systèmes qui communiquent.

Réduction du graphe :

- détermination des composantes connexes du graphe ;
- réduction de chacune de ces composantes connexes en composant les

systemes deux à deux suivant le critère défini au chapitre I : composition d'un couple de deux systemes de transitions étiquetées dont un des éléments est de degré minimum et dont le cardinal des étiquettes visibles est minimum.

- chacune des composantes connexes ne comporte plus qu'un seul élément. On compose, s'il y a lieu, l'ensemble de ces éléments représentant une composante connexe.

d) *Génération et réduction pour la stratégie compl*

générer1 (i, n)

selon la nature du nœud  $\in \{\backslash, \parallel, \text{Idf}_s\}$

$\parallel$  : générer1 ( $i_1$ , fils\_gauche(nœud)) ;

générer1 ( $i_2$ , fil\_droit(nœud)) ;

maj\_visible ( $i_1$ ,  $i_2$ ) ;

composer (i,  $i_1$ ,  $i_2$ )

$\backslash$  : générer1 (i, fils\_droit(n)) ;

Idf\_s :  $i \leftarrow \text{Idf}_s$  ;

fin

fin\_procedure

e) *Composition de deux systemes de transitions étiquetées*

composition ( $i_1$ ,  $i_2$ )

pour tout  $(p, a, q) \in T_1$

pour tout  $(p', b, q') \in T_2$

selon  $(a \bullet *, b \bullet *)$

$a \bullet * = 0$  et  $b \bullet * = 0$  :

si  $a \bullet b \neq 0$  et  $a \bullet b \in \text{visible} [i_1, i_2]$

```

    alors insérer  $p * |Q_2| + p', a \bullet b, q' * |Q_2| + p'$  dans  $T_i$ 
  fsi
a \bullet * = a, b \bullet * = b :
  si  $a = \tau$  ou  $a \in \text{visible}[i_1, i_2]$ 
    alors insérer  $(p * |Q_2| + p', a, q * |Q_2| + p')$  dans  $T_i$ ;
  fsi
  si  $b = \tau$  ou  $b \in \text{visible}[i_1, i_2]$ 
    alors insérer  $(p * |Q_2| + p', b, p * |Q_2| + q')$  dans  $T_i$ 
  fsi
  si  $a \bullet b \neq 0$  et  $a \bullet b \in \text{visible}[i_1, i_2]$ 
    alors insérer  $p * |Q_2| + p', a \bullet b, q * |Q_2| + q')$  dans  $T$ 
  fsi
  fin
  fin
  fin
  fin

```

---

### 3.6 Discussion

Pour déterminer la forme normale d'un système de transitions étiquetées composé par rapport à une relation d'équivalence, nous proposons des stratégies permettant de minimiser le nombre de transitions *temporaires* et le nombre d'états *temporaires* engendrés pendant la composition. Ce sont les états et les transitions engendrés puis supprimés. Ces stratégies sont fondées sur le calcul des formes normales des résultats *intermédiaires* et sur une "réorganisation" de l'expression définissant le système de transitions étiquetées composé. Ces stratégies sont justifiées par le fait que nous pouvons calculer efficacement la forme normale d'un système de transitions étiquetées, pour une relation d'équivalence donnée.

#### 4. Conclusion

Nous avons présenté dans ce chapitre la réalisation des transformations sur les systèmes de transitions étiquetées présentées au chapitre I.

La mise en œuvre de la bisimulation telle qu'elle est faite dans ce travail, permet son application sur des systèmes de transitions importants avec des performances correctes. Ce calcul est de l'ordre de la minute pour un système de transitions étiquetées de 2 000 états et 10 000 transitions, et de l'ordre de l'heure pour 20 000 états et 100 000 transitions.

En pratique, nous avons remarqué que le temps de calcul d'une forme normale pour une relation d'équivalence est de l'ordre de celui du calcul de la plus grande bisimulation. En effet, les transformations coûteuses intervenant dans le calcul de la forme normale, comme le calcul de la fermeture transitive de la relation de transition étiquetée par  $\tau$ , sont locales.

Cela nous a conduits, lors du calcul de la forme normale d'un système de transitions étiquetées composé, par rapport à une congruence, à proposer deux stratégies pour composer et réduire des systèmes de transitions étiquetées. Elles consistent à réduire les résultats intermédiaires en calculant leur forme normale. De plus, en utilisant les propriétés algébriques de l'opérateur de composition et de l'opérateur de restriction, nous pouvons encore minimiser la taille des résultats intermédiaires.



## CHAPITRE III

### LE SYSTEME ALDEBARAN

Plusieurs logiciels de spécification et d'analyse des systèmes ont été réalisés, comme par exemple les systèmes AUTO [LMV87], [Ver87], CESAR [Qu82],[Sc83], ECRINS [SM87], VENUS [Sor87].

Le système AUTO permet de construire des termes d'un calcul de processus et de calculer les automates associés à ces termes. Il permet de tester l'équivalence forte ou observationnelle de deux automates et de calculer le quotient d'un automate par un *critère d'observation régulier*.

En CESAR, la spécification d'un programme est exprimée par un ensemble de formules d'une logique, et le programme vérifie cette spécification s'il satisfait chacune de ses formules. La compilation du programme produit un graphe d'états. Le programme satisfait une formule si son graphe d'états est un modèle pour cette formule.

Le système ECRINS est conçu pour la manipulation de termes dans des calculs de processus communicants. La comparaison de termes est faite par une notion d'équivalence observationnelle. L'utilisateur a la possibilité de décrire le calcul de son choix en précisant pour chaque opérateur de l'algèbre sa sémantique opérationnelle.

Le système VENUS permet la description et la transformation de termes du calcul CCS, et leur comparaison modulo certaines relations d'équivalence. Ces relations d'équivalence sont la congruence forte, la congruence observationnelle et l'équivalence observationnelle. La comparaison des termes finis est réalisée par réécriture, la comparaison des termes réguliers est réalisée sur les systèmes de transitions étiquetées associés aux termes.

Nous proposons le système ALDEBARAN qui est conçu pour comparer et réduire des systèmes de transitions étiquetées de plusieurs milliers d'états. Le système ALDEBARAN permet de comparer deux systèmes de transitions étiquetées modulo une relation d'équivalence. Les relations définies sont la congruence forte, la congruence observationnelle, l'équivalence observationnelle et la congruence par modèle d'acceptation. Il permet de composer des systèmes de transitions étiquetées déjà définis en appliquant des

stratégies de réduction pendant la composition. Le système est conçu de telle sorte que d'autres relations d'équivalence puissent être définies.

Ce chapitre est organisé en quatre parties.

Nous présentons les objectifs et les contraintes qui nous ont conduits à la réalisation du système ALDEBARAN.

Dans une deuxième partie, nous présentons une description générale du système ALDEBARAN.

Nous décrivons certains aspects de la réalisation d'ALDEBARAN.

Nous donnons des exemples d'utilisation du système ALDEBARAN. Nous décrivons les interfaces avec les compilateurs LUSTRE et CÆSAR.

## 1 Objectifs et contraintes

Le système ALDEBARAN a été conçu pour répondre à plusieurs objectifs et contraintes :

### a) *Description algébrique des systèmes répartis*

Un système réparti est un terme d'une algèbre décrite par un ensemble d'opérateurs (sa *signature*), et une sémantique opérationnelle. A chaque terme de l'algèbre est associé un système de transitions étiquetées par l'intermédiaire de la sémantique opérationnelle. Nous pouvons appréhender de deux manières différentes la description algébrique des systèmes répartis :

- Un méta-langage permet de définir une algèbre, en spécifiant la sémantique opérationnelle de chaque opérateur. Le système produit un analyseur syntaxique pour les termes de l'algèbre. C'est l'approche adoptée en ECRINS.

- Un système réparti a une structure hiérarchique. Chaque sous-système est soit un système réparti soit un processus séquentiel. Tout processus séquentiel peut être décrit par un terme de *Trans*. Nous avons vu au premier chapitre comment interpréter différents opérateurs de composition ou de communication. Un opérateur de composition parallèle, paramétré par une algèbre de synchronisation, est défini sur les systèmes de transitions étiquetées. Cette algèbre de synchronisation décrit les communications entre les systèmes.

Nous avons préféré la deuxième approche. Les opérateurs de base du calcul sont ceux de *Trans*. Ils permettent la description de tout système de transitions

étiquetées ayant un nombre fini d'états et de transitions. Nous ajoutons un opérateur de composition parallèle, paramétré par une algèbre de synchronisation  $L$ , et un opérateur de restriction pour obtenir  $\text{Trans}_L$ .

**b) Définition de relations d'équivalence**

Les relations d'équivalence sont définies sur les termes d'une algèbre pour pouvoir transformer ou comparer deux termes. Nous nous intéressons aux relations d'équivalence plus grossières que la congruence forte et pour lesquelles il existe un algorithme calculant la forme normale d'un système de transitions étiquetées. Dans ces conditions, décider si deux termes sont équivalents, c'est comparer leurs formes normales par la plus grande bisimulation (i.e. la congruence forte). Les relations d'équivalence prédéfinies en ALDEBARAN sont la congruence forte, la congruence observationnelle, l'équivalence observationnelle et la congruence par modèle d'acceptation. De manière générale, toute relation d'équivalence plus grossière que la congruence forte et pour laquelle il existe un algorithme calculant la forme normale d'un système de transitions étiquetées, peut être ajoutée à ALDEBARAN. Un aspect qui nous semble important est de permettre l'extension du système ALDEBARAN par l'ajout de nouvelles relations d'équivalence. La définition d'une nouvelle relation d'équivalence peut ainsi être faite en créant un module contenant les transformations qui lui sont associées. Nous avons préféré cette façon de procéder à la génération automatique de transformations à partir de la définition équationnelle d'une relation d'équivalence.

**c) Facilité d'intégration**

Tout logiciel manipulant des systèmes de transitions étiquetées peut utiliser ALDEBARAN pour réduire et composer les systèmes de transitions étiquetées.

**d) Efficacité**

Dans le processus de comparaison de deux systèmes de transitions étiquetées, le calcul de la forme normale est une opération qui peut être coûteuse en temps. Nous avons étudié des algorithmes, de telle sorte que le coût du calcul d'une forme normale soit de l'ordre de la minute pour un système de transitions étiquetées de quelques milliers d'états.



## 2 Description générale du système

ALDEBARAN peut être utilisé de manière interactive ou de manière "silencieuse". Il possède les caractéristiques suivantes :

### a) *Modularité des descriptions*

Un système de transitions étiquetées peut être obtenu soit à partir d'un terme de **Trans**, soit par composition de systèmes de transitions étiquetées existants. Dans ce dernier cas, une algèbre de synchronisation doit être définie. La composition de plusieurs systèmes de transitions étiquetées est faite en appliquant la stratégie **comp1** ou la stratégie **comp2**.

### b) *Choix d'une relation d'équivalence*

Ce choix intervient lorsque l'utilisateur veut comparer deux systèmes de transitions étiquetées, composer plusieurs systèmes de transitions étiquetées ou, plus simplement, calculer la forme normale d'un système de transitions étiquetées modulo une relation d'équivalence.

### c) *abstraction*

Un opérateur d'abstraction, combiné avec la congruence observationnelle, l'équivalence observationnelle ou la congruence par modèle d'acceptation, permet d'enrichir la notion d'équivalence entre systèmes.

### d) *Conservation et désignation de l'information*

Des primitives de gestion d'objets sont disponibles pour créer, conserver, modifier ou supprimer des objets.

### e) *Facilité d'intégration*

Le système ALDEBARAN peut être utilisé de manière "silencieuse" par d'autres logiciels manipulant les automates ou les systèmes de transitions étiquetées. L'étiquette  $\tau$  est désignée en ALDEBARAN par l'identificateur "i". Cela nous permet de vérifier des systèmes de transitions étiquetées issus de LOTOS. L'étiquette  $\tau$  peut être redéfinie.

### 3 Réalisation

Dans ce paragraphe, nous présentons certains aspects de la réalisation du système ALDEBARAN. Nous avons utilisé le langage C et le générateur d'analyseur syntaxique YACC pour réaliser une maquette d'ALDEBARAN. La version actuelle de ce prototype est développée à la fois sur VAX 790 et sur une station de travail SUN 3. Le système d'exploitation est UNIX. Ces choix assurent la portabilité d'ALDEBARAN sur toute machine UNIX.

#### Architecture du système ALDEBARAN

Nous réalisons les fonctionnalités du système ALDEBARAN par huit modules :

- Module *Moniteur* : interprétant les commandes de l'utilisateur.
- Module *Gestion des environnements* : permettant la définition et la gestion des objets.
- Module *Système de transitions étiquetées* : ce module contient les fonctions de mise à jour des structures utilisées pour représenter ou transformer un système de transitions étiquetées.
- Module *Composition* : permettant à l'utilisateur de définir un produit de synchronisation puis de composer les systèmes de transitions étiquetées.
- Module *Partition* : contient les procédures pour calculer la partition la moins fine compatible avec une relation de transitions étiquetées. Ce module est utilisé par les procédures du module *Relations d'équivalence*.
- Module *Relations d'équivalence* : ce sont les transformations et les procédures de décision relatives à une relation d'équivalence qui constituent ce module.
- Module *Entrées / Sorties* : assure les communications entre le système ALDEBARAN et le système hôte.
- Module *Gestion mémoire* : gère la zone mémoire allouée aux programmes ALDEBARAN.

Les relations entre les modules sont représentées figure 1.

#### Notations

Dans ce chapitre, nous utilisons les notations suivantes pour décrire les aspects syntaxiques :

<xxx> symbole non terminal ;

xxx mot clé ;

[xxx] occurrence éventuelle de xxx ;

{xxx} occurrence éventuelle de xxx un nombre quelconque de fois ;

[xxx]<sup>+</sup> occurrence de xxx un nombre strictement positif de fois.

Le caractère "|" désigne l'alternative et les symboles terminaux sont écrits en gras.

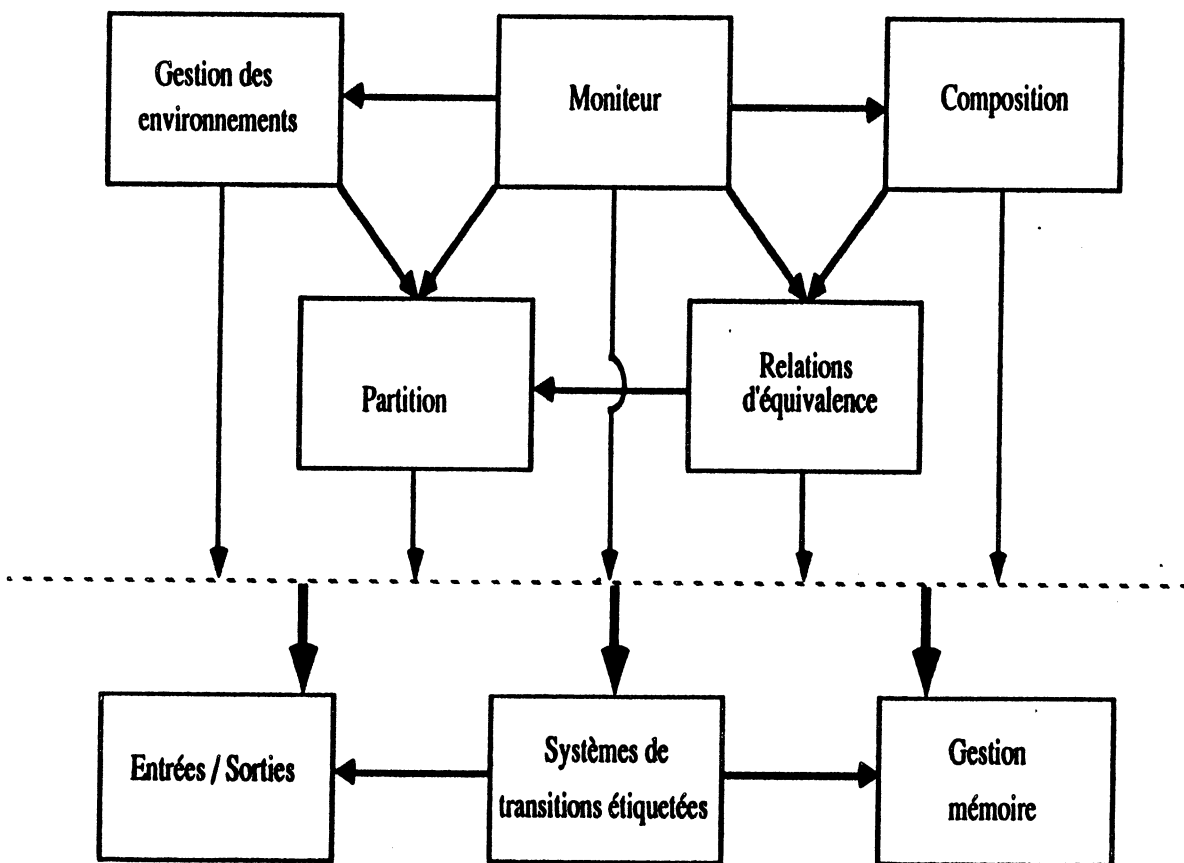


figure 1

### Commentaires

Les modules *Entrées / Sorties*, *Systèmes de transitions étiquetées* et *Gestion mémoire* sont utilisés par tous les autres modules.

Nous présentons certains aspects des différents modules. Une description complète des fonctionnalités des modules est donnée dans le manuel utilisateur d'ALDEBARAN [Fer88] et résumée en annexe III.

### Module *Moniteur*

C'est l'interprète de commandes. Il initialise le système ALDEBARAN et analyse la ligne de commande. Pour permettre différentes utilisations du système ALDEBARAN, celle-ci peut être constituée d'options et de paramètres. Deux options sont associées à chaque relation d'équivalence : une option de réduction "-r" (calcul de forme normale) et une option de comparaison "-c" (procédure de décision). Un paramètre est un fichier qui contient une description, dans le format ALDEBARAN, d'un système de transitions étiquetées. Lorsque l'option "-r" (resp. "-c") est présente, un paramètre (resp. deux paramètres) doivent être présents ; dans ce cas, la réduction (resp. la comparaison) est effectuée et l'on sort d'ALDEBARAN. Si aucune option n'est présente, les commandes d'ALDEBARAN sont exécutées de manière cyclique. Le cycle d'interprétation est le suivant : acquisition, analyse et exécution de la commande utilisateur. Il est initialisé par l'activation du module principal d'ALDEBARAN. Une erreur de commande replace le système en attente de commandes et une commande de terminaison interrompt le cycle.

La syntaxe de la ligne de commande est décrite de la manière suivante :

```
<ligne de commande> ::= ALDEBARAN <option-params>
<option-params> ::= -rrel <fichier>.aut |
                  -crel <fichier1>.aut <fichier2>.aut |
                  {<fichier>.aut}
```

La chaîne de caractères *rel* désigne une relation d'équivalence. Lorsque la chaîne de caractères *rel* est égale à *cf* (resp. *co*, *ac*) elle désigne la relation de congruence forte (resp. observationnelle, par modèle d'acceptation).

### Module *Gestion des environnements*

Un environnement est la donnée d'un ensemble de systèmes de transitions étiquetées. Il peut être défini de deux façons :

- soit par la commande `gen_env ()`, qui récupère les paramètres de la ligne de commande ALDEBARAN ;

- soit par la commande `cre_env (<editeur>)`, dont le rôle est la définition à l'aide d'un éditeur de texte, <editeur>, d'un ensemble de termes de Trans,

l'analyse de ces termes par l'analyseur syntaxique du système, et la génération d'un système de transitions étiquetées pour chaque terme d'une description de comportement.

a) Le langage de description des termes

Nous présentons dans ce paragraphe la syntaxe concrète permettant de définir des termes de **Trans**. Dans ce langage, deux types sont proposés :

- le type *étiquette*, qui est un sous-ensemble des chaînes de caractères constituées de chiffres, de lettres et des symboles '\_', ':', '?', '-', '!'.  
 Un élément du type *étiquette* commence par une lettre.

L'étiquette  $\tau$  est dénotée par l'identificateur "i". Une commande particulière permet de redéfinir l'étiquette  $\tau$  :

**def\_tau (<idf\_eti>)**

Cette commande intervient avant la création d'un environnement. Dans une définition ultérieure d'un environnement, l'étiquette  $\tau$  est identifiée par la chaîne de caractères *idf\_eti*.

Une étiquette dont le premier caractère est "n" désigne une étiquette complémentaire lorsque l'algèbre considérée est CCS.

- le type *comportement*, qui est décrit par **Trans**, à ceci près que l'on remplace l'opérateur de point fixe **rec X.t** par une équation "**X =t**".

Le langage de description des termes est défini par la grammaire ci-dessous, dont l'axiome est le nom terminal <env>.

```

<env> ::= definitions
          <idf> = part_d_def { ; <idf> = part_d_def }
          fin_definitions

<liste_idf> ::= <idf> { ; <liste_idf> }
<part_d_def> ::= <part_d_def> + <part_pref> |
                <part_pref>
<part_pref> ::= idf <part_d_def> |
                nil |
                (<part_d_def>)
  
```

Les opérations définies sur les environnements permettent de conserver, de visualiser et de détruire les environnements ou les systèmes de transitions étiquetées.

### **b) Analyse syntaxique et vérification du langage de description des termes**

Un analyseur syntaxique est produit par YACC. Cet analyseur admet comme entrée une description de la syntaxe concrète du langage de description des termes, ainsi qu'un ensemble de programmes. Il vérifie qu'il n'y a pas de définition réursive non gardée dans les équations de la partie **définition**. Il produit en sortie :

- un descripteur d'environnement,
- un ensemble de systèmes de transitions étiquetées.

Le descripteur d'environnement contient les informations suivantes :

- le nom de l'environnement,
- une table des identificateurs contenant, pour chaque identificateur, un attribut.
- les listes des noms d'étiquette et des noms de comportements définis dans cet environnement.

### **c) Descripteur d'environnement**

Le descripteur d'environnement contient les informations nécessaires à la conservation et à la modification des systèmes de transitions étiquetées. Il contient, notamment, une table des caractères, une table des identificateurs, une table contenant la description de chaque système de transitions étiquetées, une table contenant, pour chaque système de transitions étiquetées, son descripteur.

La table des identificateurs, **IDF**, est construite pendant l'analyse syntaxique d'un environnement (commande **cre\_env**) ou pendant la génération de l'environnement (commande **gen\_env**). Une fonction de "hashage" associée à chaque chaîne de caractères représentant un identificateur de comportement ou d'étiquette, un accès dans la table **IDF**. Le *i*-ième élément de **IDF** désigne un couple (nom, type, attribut).

Le nom est un accès à une table de chaînes de caractères, où sont rangées toutes les chaînes de caractères,

le type est étiquette ou comportement,

l'attribut est fonction du type de l'identificateur :

i) le type est *étiquette*, l'attribut est un couple (lc, code) où lc (resp. code) désigne la liste des comportements dans lesquels elle intervient (resp. le code de l'étiquette) : par convention, l'étiquette "i" est codée par 0.

ii) le type est *comportement*, l'attribut est un quintuplet (la, c, ty', trans,a) où :

- *la* est la liste des étiquettes intervenant dans la définition du comportement,
- *c* désigne le code dans la table **IDF**, dans laquelle elle est définie,
- *ty'* indique si le terme qui lui est associé est fermé ou ouvert,
- *trans* est un triplet (0, {(t, j)}) (resp. (1, t, j)) où j est un accès dans **IDF**, désignant le transformé de i par t, (resp. i est le transformé de j par t),
- *a* est un accès au système de transitions étiquetées.

La table **sys\_trans** des systèmes de transitions étiquetées associe à chaque code de système de transitions étiquetées, la description de sa relation suivant son mode (i.e. description *directe* ou description *inverse*).

La table **desc\_tab** des descripteurs associe à chaque entrée dans la table **sys\_trans** un descripteur ; c'est un sextuplet

(état\_initial, card\_trans, card\_état, card\_act, t\_present, mode) où,

- *état\_initial* désigne l'état initial du système,
- *card\_trans* désigne le cardinal de la relation de transitions,
- *card\_état* désigne le cardinal de l'ensemble des états,
- *card\_act* désigne le cardinal de l'ensemble des étiquettes,
- *t\_present* est vrai si i étiquette une transition, sinon est faux,
- *mode* indique si la relation de transitions étiquetées est représentée sous forme directe ou sous forme inverse.

Le descripteur d'environnement contient aussi deux tables **des\_act** et **des\_nom** associant à chaque code un indice dans la table de chaînes de caractères suivant que le type désigne une étiquette ou un système de transitions étiquetées.

#### d) Représentation de l'environnement

Il est représenté par un catalogue UNIX, constitué du fichier source, du fichier descripteur et d'un catalogue objet. Celui-ci contient, pour chaque système de transitions étiquetées associées à un terme, un fichier contenant le descripteur du système de transitions étiquetées et une liste de triplets représentant la relation de transitions étiquetées. Pour chaque triplet (i, j, k) où i et k sont des entiers positifs et j un entier, i et k désignent respectivement un état de départ et un état d'arrivée et j un code d'étiquette.

#### e) Le format ALDEBARAN

Le format de description des systèmes de transitions étiquetées comprend un descripteur de système ainsi que la liste exhaustive des transitions. Une transition est décrite par un triplet ( $q_1$ , a,  $q_2$ ) où  $q_2$  désigne le successeur de l'état  $q_1$  par une transition étiquetée par a. Le descripteur du système de transitions étiquetées est un triplet ( $q_0$ , card\_trans, card\_état) où  $q_0$  désigne l'état initial du système, card\_trans désigne le nombre de transitions du système et card\_état désigne le nombre d'états du système. Le format ALDEBARAN est décrit de la manière suivante :

```
<format_ALDEBARAN> ::= <descripteur> [<triplet>] +
<descripteur> ::= <état_initial>, <card_trans>, <card_état>
<triplet> ::= <état>, <idf>, <état>
```

#### **Module *Systèmes de transitions étiquetées***

Dans ce module sont regroupées les fonctions d'accès aux systèmes de transitions étiquetées et de modification des systèmes de transitions étiquetées. Il est utilisé par tous les autres modules à l'exception des modules *Entrées / Sorties* et *Gestion mémoire*. Certaines fonctionnalités de ce module sont accessibles à l'utilisateur. Ce sont celles permettant d'associer un terme à un système de transitions étiquetées, de renommer certaines étiquettes d'un système de transitions étiquetées ou de faire *abstraction* de certaines étiquettes. La syntaxe est décrite dans le manuel utilisateur d'ALDEBARAN.



### Module *Composition*

C'est le module qui génère un système de transitions étiquetées pour un comportement décrit par une *expression de composition*. Le langage de description des expressions de composition est défini par la grammaire ci-dessous, dont l'axiome est *exp\_comp*. Les opérations d'abstraction, de composition et de restriction sont notées respectivement \$, & et #.

$$\begin{aligned} \langle \text{exp\_comp} \rangle &::= \langle \text{exp\_comp} \rangle \& \langle \text{term\_comp} \rangle \mid \\ &\quad \langle \text{term\_comp} \rangle \\ \langle \text{term\_comp} \rangle &::= \langle \text{term\_comp} \rangle \# \langle \text{liste\_idf} \rangle \mid \\ &\quad \langle \text{term\_fact} \rangle \\ \langle \text{term\_comp} \rangle &::= \langle \text{term\_comp} \rangle \$ \langle \text{liste\_idf} \rangle \mid \\ &\quad \langle \text{term\_fact} \rangle \\ \langle \text{term\_fact} \rangle &::= \langle \text{idf} \rangle \mid \\ &\quad (\langle \text{exp\_comp} \rangle) \end{aligned}$$

Une composition est possible uniquement si un produit de synchronisation a été défini par la commande suivante :

**def\_com** (*ty\_com*, *oper\_com*)

Cette commande lit deux entiers *ty\_com* et *oper\_com*.

Les valeurs possibles de *ty\_com* sont 0 ou 1. Si *ty\_com* = 0 alors le produit de synchronisation est asynchrone (i.e.  $a \bullet * = a$ ). Si *ty\_com* = 1 alors le produit de synchronisation est synchrone (i.e.  $a \bullet * = 0$ ).

Les valeurs possibles de *oper\_com* sont 0, 1, 2, 3.

Si *oper\_com* = 0, alors le produit de synchronisation est  $a \bullet na = \tau$  et  $a \bullet b = 0$ , pour  $a \neq b$  et  $a \neq nb$  et  $b \neq na$ .

Si *oper\_com* = 1, alors le produit de synchronisation est  $a \bullet a = a$  et  $a \bullet b = 0$ , pour  $a \neq b$ .

Si *oper\_com* = 2, alors le produit de synchronisation est  $a \bullet a = \tau$  et  $a \bullet b = 0$ , pour  $a \neq b$ .

Si *oper\_com* = 3, alors un argument supplémentaire *liste\_triplet* est lu. *liste\_triplet* est une liste de triplets  $[(a_1, b_1, c_1), \dots, (a_n, b_n, c_n)]$ , où  $a_i, b_i, c_i$  pour  $1 \leq i \leq n$ , sont des étiquettes. Le produit de synchronisation est défini de la manière suivante :  $a_i \bullet b_i = c_i$  pour  $1 \leq i \leq n$ .

On associe un système de transitions étiquetées à une expression de composition par la commande **comp** :

**comp** (*sem*, *stratégie*, *idf*, *exp\_comp*)

Cette commande lit deux entiers *sem* et *stratégie*, un identificateur *idf* et analyse l'expression de composition *exp\_comp*.

Les valeurs possibles de *sem* sont 0, 1 ou 2.

Si *sem* = 0 alors aucune forme normale n'est calculée pendant la composition.

Si *sem* = 1 alors les formes normales sont calculées pour la congruence forte.

Si *sem* = 2 alors les formes normales sont calculées pour la congruence observationnelle.

Les valeurs possibles de *stratégie* sont 0, 1 ou 2.

Si *stratégie* = 0 alors le système de transitions dénoté par *exp\_comp* est calculé et associé à *idf*.

Si *stratégie* = 1 alors le système de transitions dénoté par *exp\_comp* est calculé en appliquant la stratégie **comp1**, et associé à *idf*.

Si *stratégie* = 2 alors le système de transitions dénoté par *exp\_comp* est calculé en appliquant la stratégie **comp2**, et associé à *idf*.

### Remarque

Pour les deux commandes précédentes, l'expression de composition se trouve sur le flux d'entrée. Celui-ci peut être modifié (voir fonctionnalité du module *Entrées / Sorties*), ce qui permet de définir la composition soit de manière interactive soit par l'intermédiaire d'un fichier.

### Module *Relations d'équivalence*

Ce module contient les transformations et les procédures de décision relatives aux relations d'équivalence. Les procédures de décision et les transformations prédéfinies sont celles relatives à la congruence forte, à l'équivalence observationnelle, à la congruence observationnelle et à la congruence par modèle d'acceptation. Ces fonctions opèrent sur les systèmes de transitions étiquetées associés aux termes. Ce module est organisé en sous-modules : à chaque relation d'équivalence correspond un sous-module.

Les fonctionnalités sont les suivantes :

A chaque relation prédéfinie sont associées deux commandes. La première permet de calculer la forme normale d'un système de transitions étiquetées modulo cette relation. La deuxième permet de décider si deux systèmes sont équivalents modulo cette relation.

Pour les autres relations d'équivalence à définir, deux commandes sont prévues, paramétrées par ces nouvelles relations : le calcul de forme normale et la procédure de décision.

### **Module *Partition***

L'algorithme de calcul de la partition la moins fine compatible avec la relation de transitions étiquetées est dans un module à part. Cet algorithme est en effet utilisé dans certains cas indépendamment du module sémantique (cf. interface avec le compilateur LUSTRE). Il est utilisé par le module *Relation d'équivalence*. Il contient aussi l'algorithme de construction du quotient.

### **Module *Entrées / Sorties***

Ce module contient les fonctions utilisées par les autres modules pour réaliser les communications entre ALDEBARAN et le système hôte. Il contient aussi des commandes permettant de rediriger le flux d'entrée ou de sortie :

- **open\_in\_stream (<idf>)**      ouverture d'un flux en entrée
- **open\_out\_stream (<idf>)**    ouverture d'un flux en sortie
- **close\_stream (<idf>)**        fermeture d'un flux
- **status\_in\_stream**            liste des flux ouverts en entrée
- **status\_out\_stream**          liste des flux ouverts en sortie
- **close\_all**                    fermeture de tous les flux

### **Module *Gestion mémoire***

Ce module gère l'espace mémoire utilisé par le système ALDEBARAN.

## 4 Exemples d'utilisation

Nous considérons l'exemple du "scheduler", pour comparer les stratégies **comp1** et **comp2**.

Nous illustrons l'utilisation du système ALDEBARAN par d'autres systèmes existants. Nous avons envisagé la communication avec d'autres systèmes existants de deux manières différentes :

### a) *L'intégration partielle du système ALDEBARAN dans un autre système*

Une tentative dans ce sens a été réalisée avec le système VENUS [Sor87]. Un prototype de VENUS a été programmé en C-Prolog (version 1.5) sous UNIX 4.2, supporté par un VAX 790. Nous avons transformé le source de VENUS en Prolog de Delphia [Del87] qui permet une édition de liens avec des modules écrits en langage C. Nous avons écrit un interface qui, à partir de clauses Prolog définissant un système de transitions étiquetées, construit un système de transitions étiquetées dans la forme interne d'ALDEBARAN et réciproquement. Les modules contenant les relations d'équivalence ont pu être ajoutés à VENUS.

### b) *La communication par l'intermédiaire de fichiers textes*

Pour ce faire, nous avons défini un format de représentation des systèmes de transitions étiquetées, appelé format ALDEBARAN. Des interfaces ont été réalisés avec LUSTRE et CÆSAR. Un interface est actuellement développé entre ALDEBARAN et XESAR.

## 4.1. Le "Scheduler"

Nous illustrons, par cet exemple, une utilisation interactive d'ALDEBARAN, et une comparaison des stratégies **comp1** et **comp2**. Nous proposons une amélioration de la stratégie **comp2**.

Reprenons l'exemple du "Scheduler" développé au chapitre II. Nous voulons montrer :

$Sch' \sim_{co} (((S \& C_1 \& C_2) \# \{g_1, ng_1, g_2, ng_2\}) \& R_1 \& R_2) \# \{b_1, nb_1, b_2, nb_2\}$ .  
Les étiquettes  $ng_1$ ,  $ng_2$ ,  $nb_1$  et  $nb_2$  remplacent respectivement les étiquettes  $g'_1$ ,  $g'_2$ ,  $b'_1$  et  $b'_2$  dans l'expression de composition. Chacun des systèmes de transitions étiquetées est dans un fichier suffixé par ".aut", au format

ALDEBARAN.

Après l'exécution de la commande UNIX,

*Aldebaran S.aut C<sub>1</sub>.aut C<sub>2</sub>.aut R<sub>1</sub>.aut R<sub>2</sub>.aut Sch'.aut*  
l'utilisateur se trouve dans l'environnement ALDEBARAN. Le système signale qu'il est en attente de commande en affichant la chaîne de caractères "ALDEBARAN>". La session se déroule de la manière suivante. Les messages affichés par ALDEBARAN sont en italiques :

ALDEBARAN> *gen\_env*

Génération de l'environnement qui est constitué des cinq systèmes de transitions étiquetées décrits dans les fichiers.

ALDEBARAN> *def\_com*

*choix du type de communication, 0 : asynchrone, 1 synchrone*

0

*choix de l'opérateur de communication :0, 1, 2 ou 3*

0

Commentaire : nous avons choisi l'opérateur de composition de CCS.

ALDEBARAN> *comp*

*Préciser la sémantique :*

*0, 1 (forte), 2 (observationnelle)*

2

*Préciser la stratégie :*

*0, 1 (en réordonnant), 2 (sans réordonner)*

2

*Sch (((S & C<sub>1</sub> & C<sub>2</sub>) # {g<sub>1</sub>, ng<sub>1</sub>, g<sub>2</sub>, ng<sub>2</sub>}) & R<sub>1</sub> & R<sub>2</sub>) # {b<sub>1</sub>, nb<sub>1</sub>, b<sub>2</sub>, nb<sub>2</sub>}*

Commentaire : Après l'analyse de l'expression de composition, un système de transitions étiquetées est généré en appliquant la stratégie **comp2**. Il est associé, dans l'environnement, à l'identificateur Sch.

ALDEBARAN> *décide\_eo Sch Sch'*

*systèmes équivalents modulo l'équivalence observationnelle*

ALDEBARAN> **quit**

L'utilisateur est dans l'environnement UNIX.

### Comparaison des stratégies comp1 et comp2

Nous comparons les stratégies **comp1** et **comp2** du point de vue des temps d'exécution. Nous obtenons les résultats suivants :

Nombre de cyclers	temps en seconde comp2	temps en seconde comp1
2	1	1.21
3	1.11	4.03
4	2.02	13
5	4	105.31
6	6.24	saturation espace memoire
10	97.47	

Nous constatons qu'à partir de six "cyclers", nous ne pouvons plus appliquer la stratégie **comp1**.

### Amélioration de la stratégie comp2

Etant donné une expression de composition,  $e \ \$ A$ , l'opérateur d'abstraction  $\$$  est descendu le plus "profond" possible dans l'arbre associé à  $e \ \$ A$ . Pour cela, nous appliquons les transformations suivantes :

Si  $e = e_1 \ \& \ e_2$  et  $(e \ . \ V) \cap A = \emptyset$  alors  $(e_1 \ \& \ e_2) \ \$ A \rightarrow (e_1 \ \# \ A) \ \& \ (e_2 \ \# \ A)$  fsi

si  $e = e_1 \ \$ A'$  alors  $(e_1 \ \$ A') \ \$ A \rightarrow e_1 \ \$ (A \cup A')$  fsi

si  $e = e_1 \ \# \ R$  et  $A \cap R \cap (e_1 \ . \ V) = \emptyset$  alors  $(e_1 \ \# \ R) \ \$ A \rightarrow (e_1 \ \$ A) \ \# \ R$  fsi

## 4.2. Interface avec LUSTRE

Dans ce paragraphe, nous présentons l'interface entre le compilateur LUSTRE et ALDEBARAN, et un exemple illustrant son fonctionnement. Le langage LUSTRE est décrit en annexe I. Le compilateur LUSTRE associe un

automate à un programme. Le langage de description des automates est le *code portable*. Le code portable [CPS86] est la sortie commune aux compilateurs LUSTRE et ESTEREL. Il décrit les automates produits par l'un ou l'autre des compilateurs. Un automate est décrit par des couples (état, liste des actions réalisées dans cet état) ; les actions réalisées dans un état sont mémorisées sous forme d'arbre : chaque nœud correspond à un test et chaque feuille à un branchement vers un nouvel état. L'expérience montre qu'en utilisant ESTEREL l'automate produit est généralement proche de l'automate minimal (par rapport à la plus grande bisimulation), ce qui semble ne pas toujours être le cas en LUSTRE : ceci est dû au fait que LUSTRE est un langage déclaratif ; le style de programmation d'un langage déclaratif n'est pas contraint par des soucis d'efficacité. L'utilisation d'ALDEBARAN permet de réduire la taille du code produit par le compilateur LUSTRE. Pour ce faire, un interface a été développé entre ALDEBARAN et LUSTRE par A.C. Glory et C. Ratel [GR87] :

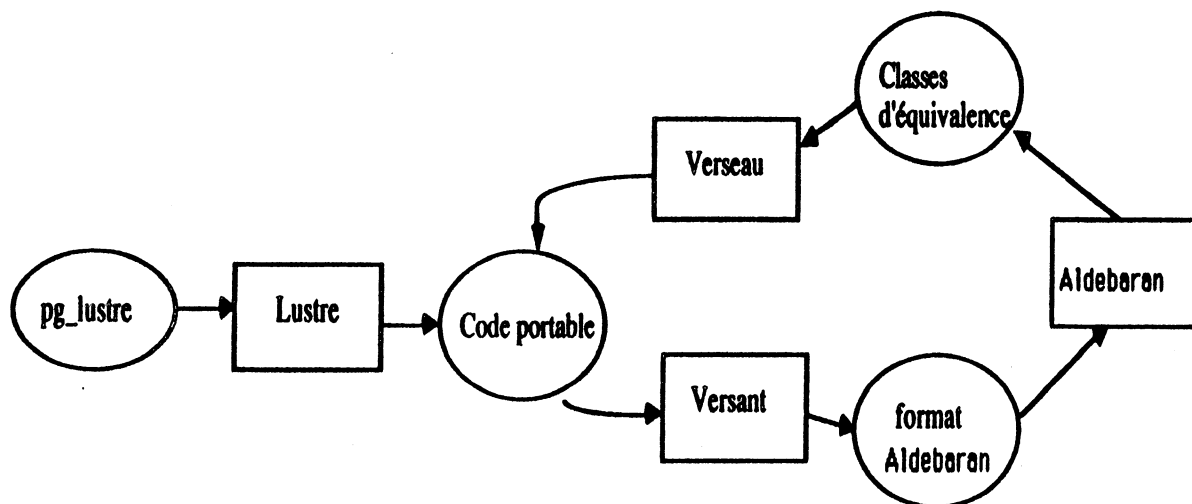


figure 2

VERSANT transforme une description d'automate faite à l'aide du code portable en une description d'automate au format ALDEBARAN. Cette transformation est réalisée en concaténant les éléments de la liste des actions (tests compris) conduisant d'un état à un autre.

VERSEAU met à jour le code portable à l'aide des classes d'équivalence.

Le cycle de la figure précédente peut être exécuté plusieurs fois (cf exemple). Une fois la minimisation effectuée par ALDEBARAN, il se peut qu'à partir d'un état, quel que soit le résultat du test, l'état d'arrivée soit le même. Dans ces conditions, le test n'est plus nécessaire. Le code portable est alors transformé pour supprimer les tests inutiles et une minimisation par ALDEBARAN est de nouveau réalisée. Le cycle précédent est effectué tant que l'on peut minimiser le nombre des états. L'exemple suivant illustre le processus cyclique de minimisation.

### Exemple

Soit le programme LUSTRE suivant :

```

node test (c : bool)
  returns (s, x : bool) ;
var état0, état2, état3, état4 : bool ;
let
  état0 = true -> false ;
  état2 = false -> pre état0 and c or pre état4 ;
  état3 = false -> pre état0 and not c ;
  état4 = false -> pre état3 or pre état2 ;
  s = (état0 or état4) and not état2 and not état3 ;
  x = true ;
tel

```

La représentation graphique du code portable est donnée par la figure ci-dessous.

Nous définissons les étiquettes suivantes :

- a étiquette l'instruction {output x ; s := 1 ; output s} et
- b étiquette l'instruction {output x ; s := 0 ; output s}



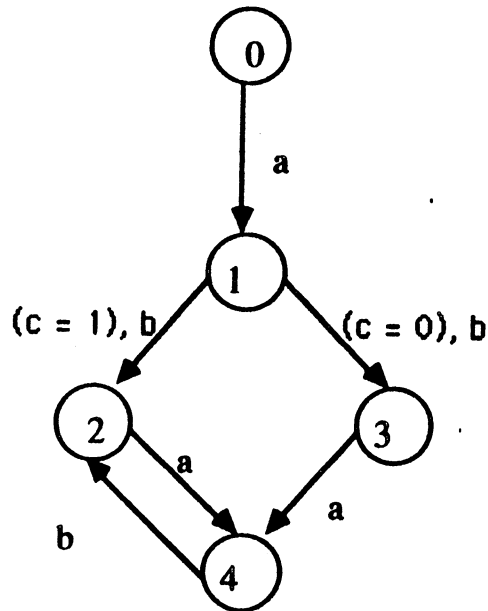


figure 3

Le calcul de la plus grande bisimulation sur cet automate produit les classes suivantes :

$\{0\}$ ,  $\{1\}$ ,  $\{2, 3\}$ ,  $\{4\}$

Le test évaluant la valeur de  $c$  n'est plus nécessaire puisque quel que soit le résultat de son évaluation, la séquence d'actions qui suit conduit à des états équivalents. On assimile les actions  $(c = 0), b$  et  $(c = 1), b$  à l'action  $b$  :

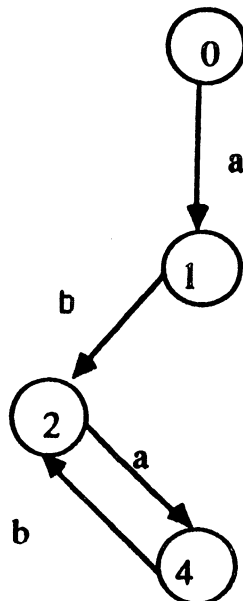


figure 4

Le calcul de la plus grande bisimulation sur cet automate produit les classes :

{0, 2}, {1, 4}.

L'automate réduit est :

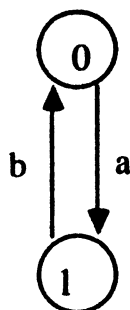


figure 5

Bien entendu, l'utilisation du système ALDEBARAN dans son entier n'est pas nécessaire. C'est pourquoi nous avons écrit un interface permettant d'utiliser uniquement les modules nécessaires pour la minimisation de l'automate : le module *Partition*, le module *Système de transitions étiquetées*, le module *Entrées / Sorties* et le module *Gestion mémoire*.

#### 4.3 Interface avec CÆSAR

Cæsar [Gar87] est un logiciel qui transforme une description LOTOS contenue dans un fichier de nom suffixé par ".lotos" en un réseau de Pétri interprété ou en graphes. Différents formats de graphes sont possibles, en particulier le format ALDEBARAN ".aut".

LOTOS [Lot87] (Language of Temporal Ordering Specification) est un langage de spécification conçu pour la définition formelle des protocoles et des services dans le cadre des réseaux. Actuellement, LOTOS est l'un des outils de description formelle employée par l'ISO.

LOTOS est une extension du langage CCS. Le concept de base est la définition des relations existant entre les événements dans le comportement observable du système. Un autre aspect de LOTOS est l'utilisation des types abstraits basée sur le langage ACT ONE, pour la représentation des structures de données. Nous n'avons pas étudié cet aspect.

L'intérêt d'un interface avec LOTOS est la possibilité de vérifier des protocoles de communication avec notre système. Jusqu'à présent,

ALDEBARAN a permis de comparer les automates produits par deux versions du compilateur modulo la congruence forte. Nous envisageons deux possibilités de coopération avec Cæsar. La première concerne la vérification de spécifications LOTOS à l'aide des relations d'équivalence définies en ALDEBARAN.

La deuxième porte sur la récupération des descriptions d'automates avant composition, pour les composer à l'aide des stratégies définies au chapitre II.

Plus d'une centaine d'automates produits par Cæsar ont été traités par ALDEBARAN. Le plus gros de ces automates a 28836 transitions et 5444 états. Le temps mis pour traiter cet exemple est de l'ordre de 245 secondes.

### **Exemple de vérification : le protocole du bit alterné**

Nous présentons une vérification du protocole du bit alterné. La description en LOTOS a été faite par H. Garavel et est donnée en annexe II.

Le protocole du bit alterné est un protocole de transmission qui permet le transfert de données entre deux entités, pour lesquelles une connexion bi-directionnelle a été établie. Pour simplifier le problème, nous considérons une entité émettrice E et une entité réceptrice R.

#### **a) Spécification**

Dans cette modélisation, la valeur du message n'est pas significative. Le comportement global du système doit satisfaire les contraintes suivantes :

- un message émis par E doit être reçu par R ;
- l'ordre des messages est préservé.

On peut spécifier le comportement du système par le système de transitions étiquetées (figure 7) et le terme suivant :

**Spec\_bitalt = PUT GET Spec\_bitalt.**

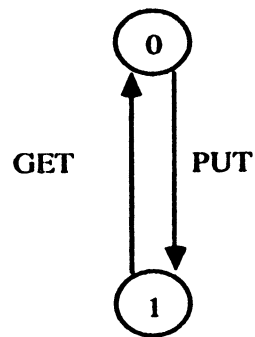


figure 6

**Commentaires** : L'étiquette *PUT* représente l'émission de E vers R. L'étiquette *GET* représente la réception par R d'un message en provenance de E.

### b) Réalisation

Le protocole est constitué d'un émetteur, d'un récepteur et de deux médiums (figure 7).

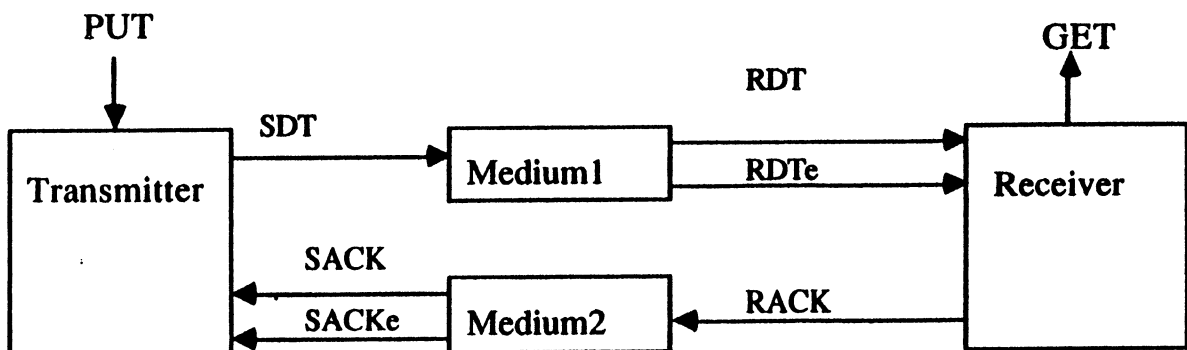


figure 7

L'émetteur (Transmitter) prend en charge les messages en provenance de E, les transmet à travers la ligne Medium1 au récepteur (Receiver) qui les transmet vers E. Ensuite, le récepteur transmet à travers la ligne Medium2 un acquittement. On considère ces lignes non fiables : il est possible qu'un message ou un acquittement soit perdu. Dans ce cas le médium peut signaler cette perte au destinataire.

Pour détecter les pertes non signalées, les messages et les acquittements contiennent un bit de contrôle. Le bit de contrôle de chaque acquittement est égal au bit de contrôle du message qu'il acquitte. Les bits de contrôle de deux

messages successivement émis ont des valeurs distinctes.

Si l'émetteur reçoit une indication de perte de message ou un message avec un bit de contrôle erroné, la ligne Medium1 réémet le dernier message envoyé.

Si le récepteur reçoit une indication de perte d'acquittement ou un acquittement avec un bit de contrôle erroné, la ligne Medium2 réémet le dernier acquittement envoyé.

### c) Vérification

L'automate *Bitalt* produit par le compilateur LOTOS a 244 états et 710 transitions. Nous montrons, à l'aide d'ALDEBARAN, qu'il est observationnellement équivalent à *Spec\_bitalt* :

La vérification a été conduite de la manière suivante : Nous essayons dans l'ordre suivant, la congruence forte, la congruence observationnelle et l'équivalence observationnelle.

**Aldebaran Bitalt.aut Spec\_bitalt.aut**

**ALDEBARAN>gen\_env**

**ALDEBARAN>time**

Commentaire : Indique le temps d'exécution de chaque commande qui suit la commande **time**. Ce temps d'exécution est décomposé en temps utilisateur et en temps système. Le temps utilisateur et le temps système sont indiqués en secondes. Le temps utilisateur est suffixé par "u", le temps système est suffixé par "s".

**ALDEBARAN>decide\_f Bitalt Spec\_bitalt**

*Systemes non équivalents modulo la congruence forte*

*2.18u 0.8s*

**ALDEBARAN>decide\_co Bitalt Spec\_bitalt**

*Systemes non équivalents modulo la congruence observationnelle*

*3.3u 0.8s*

**ALDEBARAN>decide\_eo Bitalt Spec\_bitalt**

*Systemes équivalents modulo l'équivalence observationnelle*

*3.0u 0.12s*

**ALDEBARAN>nco Bitalt**

*3.8u 0.11s*

**ALDEBARAN>no\_time**

Commentaire : cette commande annule l'effet de la commande **time**.

ALDEBARAN>pr\_ste Bitaltnc0

Commentaire : on obtient le système de transitions étiquetées (figure 8). L'étiquette *i* initiale correspond au fait que le message entre Medium 1 et la ligne peut être perdu.

ALDEBARAN>time

ALDEBARAN>nac1 Bitalt

3.18u 0.12s

ALDEBARAN>pr\_ste Bitaltnac1

Commentaire : on obtient le système de transitions étiquetées (figure 9).

ALDEBARAN>quit

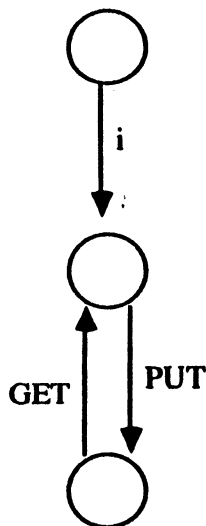


figure 8

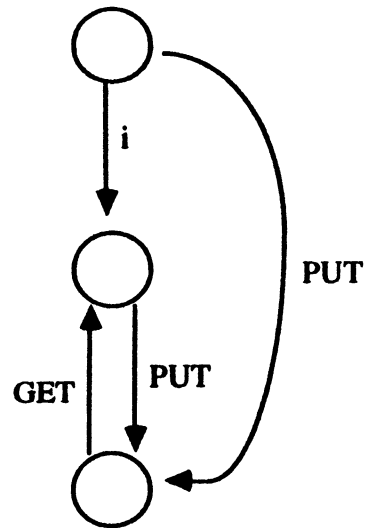


figure 9

#### 4.4 Bilan et évaluation

Dans ce travail, nous avons cherché à réaliser de manière efficace les calculs de formes normales et les procédures de décision. Cela nous a permis de proposer des stratégies de réduction pour calculer la forme normale d'un système de transitions étiquetées composé. La contrainte d'efficacité nous a conduits, après expérimentation, à éliminer des environnements de programmation tels que ML ou Prolog. En effet, nous avons été limités à la fois en place mémoire (environ 2000 transitions en ML) et en temps d'exécution. De plus, la portabilité est incertaine avec ces environnements.

a) Expérimentation d'ALDEBARAN

ALDEBARAN a été expérimenté essentiellement de manière "silencieuse". Il est utilisé pour minimiser des automates (CÆSAR, LUSTRE) ou pour comparer des automates (CÆSAR).

Le plus gros exemple traité, issu de LOTOS, consistait à comparer deux systèmes de transitions étiquetées modulo la congruence forte.

Le premier système de transitions étiquetées a 28836 transitions et 5444 états ; le deuxième système de transitions étiquetées a 9728 transitions et 3584 états.

Le temps mis pour comparer ces deux systèmes fut 245 secondes.

Nous donnons ci-dessous deux tableaux. Le premier donne des ordres de grandeur du temps nécessaire à la construction d'un système de transitions étiquetées en mémoire suivie de l'exécution de l'algorithme de partition. Le deuxième est une évaluation du temps d'exécution de la commande nco. On applique successivement cette commande à la composition de 2, 3, 4 et 5 "cyclers".

états	transitions	temps (s)
200	1000	1.5
1000	5000	18
10 000	50 000	1412
20 000	100 000	5512

nombre de cyclers	états	transitions	temps (secondes)
2	25	47	0.36u 0s
3	125	320	27.50u 1.49s
4	625	2025	34.13u 0.49s
5	3125	12250	322.32u 1.13s

## b) Interface avec Xésar

Actuellement un interface avec Xésar est en cours de réalisation. Nous avons atteint les limites de la maquette en traitant un exemple issu de Xésar : nous avons analysé le système de transitions étiquetées produit à partir de la description Estelle / R du protocole de Stenning [RRSV87]. Ce protocole est une extension du protocole du bit alterné : l'ordre des messages n'est pas nécessairement préservé. Ce système de transitions étiquetées, que nous notons *stenning*, a 13716 états et 28338 transitions. Nous avons tenté de réduire *stenning* modulo la congruence observationnelle. Après exécution de la transformation  $\tau$ -saturation, nous avons obtenu un système de transitions étiquetées *st'* ayant 230 436 transitions. Le calcul de la plus grande bisimulation sur *st'* a provoqué une saturation de l'espace mémoire. La solution que nous avons retenue est la suivante :

Nous minimisons *stenning* modulo la congruence forte. Le résultat obtenu est minimisé modulo la congruence observationnelle.

Nous nous intéressons aux actions *IN*, *OUT*, et *IN\_TR\_LOS*. Par analogie avec le protocole du bit alterné, les étiquettes *IN* et *OUT* correspondent aux étiquettes *PUT* et *GET*. Nous faisons abstraction des autres actions, à savoir *TR\_LOS*, *RT\_LOS* et *chi*. Nous minimisons le résultat de l'abstraction modulo la congruence par acceptation.

**aldebarnan stenning.aut**

**ALDEBARAN>gen\_env**

**ALDEBARAN>time**

**ALDEBARAN>ncf stenning**

*946.7u 14.2s*

Commentaire : Le système de transitions étiquetées produit, noté *stenningnf* a 1424 états et 2906 transitions.

**ALDEBARAN>nco stenningnfco**

*1082u 16.2s*

Commentaire : Le système de transitions étiquetées produit, noté *stenningnfco* a 428 états et 878 transitions.

**ALDEBARAN>abst sten\_abs stenningnfco \$ [TR\_LOS, RT\_LOS, chi] ;;**

*11u 0.8s*



ALDEBARAN>nco sten\_abs

39.39u 0.56s

**Commentaire** : Le système de transitions étiquetées produit, noté *sten\_absnco* a 167 états et 476 transitions.

ALDEBARAN>nac1 sten\_absnco

78.50u 1.17s

**Commentaire**: Le système de transitions étiquetées produit, noté *steabsnfnconac1* a 8 états et 25 transitions. Cela nous a permis de vérifier que le séquençement des entrées et celui des sorties sont corrects.

### Remarque

Nous avons envisagé une extension du système ALDEBARAN pour mettre en œuvre de nouvelles relations d'équivalence définies par un ensemble d'axiomes (i.e. un ensemble d'équations). Pour cela, nous adoptons une approche système de réécriture. A chaque équation  $t_1 = t_2$ , nous associons deux transformations sur **Trans**, *gauche* :  $t_1 \rightarrow t_2$  et *droit* :  $t_2 \rightarrow t_1$ .

La transformation *gauche* associe à tout terme  $t$ , tel qu'il existe une *instanciation*  $\sigma$  vérifiant  $\sigma(t_1) = t$ , le terme  $\sigma(t_2)$ .

De même, la transformation *droit* associe à tout terme  $t$ , tel qu'il existe une *instanciation*  $\sigma$  vérifiant  $\sigma(t_2) = t$ , le terme  $\sigma(t_1)$ .

Nous avons conçu et réalisé en langage ML un module de manipulation de transformations sur les termes. Pour réaliser ce module, nous nous sommes inspirés d'un logiciel que nous avons écrit en ML, en collaboration avec A. Bouajjani. Le rôle de ce logiciel est le calcul d'une forme normale pour un terme d'une logique arborescente. Les fonctionnalités de ce module sont réalisées par les opérateurs suivants sur les fonctions, [ML85] :

*then\_fun,*  
*or\_else\_fun,*  
*fail\_fun,*  
*repeat\_fun,*  
*first\_fun,*  
*every\_fun.*

Pour contrôler l'exécution d'une combinaison de transformations, on peut forcer celles-ci à échouer à l'exécution. Lorsqu'une transformation ne

s'applique pas à un terme alors elle retourne la valeur *échec*, sinon elle retourne la valeur *succès*.

En utilisant une lambda-notation, on peut définir des opérateurs de la manière suivante :

$$f \text{ then\_fun } g = \lambda x. g (f(x))$$

$$f \text{ or\_else\_fun } g = \lambda x. f(x), \text{ si } f(x) \neq \text{échec}$$

$$= \lambda x g(x) \text{ sinon}$$

*fail\_fun*  $f = \text{échec}$

*repeat\_fun*  $f = (f \text{ then\_fun } (\text{repeat\_fun } f)) \text{ or\_else } I$ , où  $I$  désigne l'identité.

*first\_fun fl*  $x$  applique à  $x$  la première fonction qui "n'échoue pas" de la liste de fonctions  $fl$

*every\_fun fl*  $x$  compose les fonctions de la liste  $fl$  pour former une fonction qui s'applique à  $x$ .

Nous n'avons pas, pour le moment, retenu cette solution dans la mesure où elle est inefficace. Pour définir une nouvelle relation d'équivalence, on modifie ALDEBARAN en rajoutant un nouveau module.

## 5 Prolongements

Nous pensons qu'une expérimentation sur de véritables protocoles de communication sera intéressante pour évaluer les stratégies de composition des systèmes de transitions étiquetées. D'autres critères peuvent être pris en compte, comme par exemple le nombre de transitions étiquetées par une action. D'autre part, il nous semble nécessaire qu'il y ait une plus grande interaction entre l'utilisateur et le processus de génération d'un système de transitions étiquetées à partir d'une expression de composition.

Une amélioration d'ALDEBARAN qui nous semble importante, est un diagnostic plus explicite lorsque deux systèmes ne sont pas équivalents, pour une relation d'équivalence donnée. Par exemple, un contre-exemple peut être fourni sous la forme d'un chemin partant de l'état initial et conduisant à des états qui ne sont pas équivalents.

D'autres relations d'équivalence seront étudiées (notamment la "testing equivalence") et intégrées dans le système ALDEBARAN.



## CONCLUSION

L'objectif de ce travail a été la définition et la mise en œuvre de méthodes pour la description et la vérification des systèmes répartis. Partant d'un langage de termes et d'une sémantique opérationnelle, une relation d'équivalence peut être interprétée sur les systèmes de transitions étiquetées.

Les relations d'équivalence que nous avons étudiées sont la congruence forte, la congruence observationnelle, l'équivalence observationnelle et la congruence par modèle d'acceptation. La congruence forte est la plus petite de toutes ces relations d'équivalence. Chacune de ces relations est caractérisée par l'existence d'un représentant canonique pour chaque classe d'équivalence. Du fait que la congruence forte est la plus fine, ce représentant est minimal en nombre d'états.

La première partie de ce travail a consisté à définir, pour chacune des relations d'équivalence, un procédé de calcul de forme normale. Nous avons défini un opérateur d'abstraction sur les systèmes de transitions étiquetées. Cet opérateur, combiné avec les relations de congruence observationnelle, d'équivalence observationnelle et de congruence par modèle d'acceptation, permet de définir d'autres notions d'équivalence entre les systèmes de transitions étiquetées.

Nous avons proposé un opérateur de composition parallèle paramétré par une relation de communication. Cela permet d'exprimer différents modes de composition tels que la composition synchrone ou asynchrone, le rendez-vous à deux ou le rendez-vous multiple. L'opérateur de composition parallèle est paramétré par une relation de communication. Cette relation binaire est structurée par un produit de synchronisation qui décrit le résultat d'une synchronisation entre deux étiquettes. Nous avons vu que la congruence forte et la congruence observationnelle sont compatibles avec l'opérateur de composition.

Dans la deuxième partie de ce travail, nous avons présenté des algorithmes efficaces réalisant les transformations associées aux relations d'équivalence. Deux sortes de transformations ont été distinguées : les transformations globales et locales.

La transformation globale que nous avons considérée est celle qui calcule la relation d'équivalence la moins fine compatible avec la relation de transitions étiquetées, à partir d'une relation d'équivalence donnée. Nous appliquons cet algorithme au calcul de la forme normale par rapport à la congruence forte. Cet algorithme est également applicable lorsque la relation d'équivalence initiale n'est pas la partition universelle, mais peut être, par exemple, définie par un ensemble de prédicats.

Les algorithmes associés aux transformations locales sont des algorithmes sur les graphes. La méthode qui s'applique à toutes les transformations locales est la suivante : parcours de la relation de transitions étiquetées, et pour chaque transition vérifiant une certaine propriété, l'action spécifique correspondant à la transformation est exécutée.

Nous avons étudié des stratégies pour minimiser le nombre de transitions et d'états temporaires pendant la composition de plusieurs processus.

Dans la troisième partie, nous avons présenté une implantation de ces algorithmes en langage C. Cela a conduit à la réalisation du système ALDEBARAN. Les raisons qui nous ont conduits à choisir le langage C plutôt que les environnements de programmation ML ou Prolog sont l'efficacité et la portabilité.

Diverses voies sont envisagées pour poursuivre ce travail. Nous pensons qu'il serait intéressant, lorsque deux systèmes ne sont pas équivalents modulo une relation d'équivalence, d'exhiber un contre-exemple. Ce peut être la construction de séquences d'exécution partant des états initiaux des deux systèmes et conduisant à des états qui ne sont pas équivalents. Une autre extension prévue est l'étude et la programmation d'autres relations d'équivalence contenant la congruence forte. Enfin l'utilisation du système ALDEBARAN devrait permettre de définir d'autres stratégies pour composer les systèmes de transitions étiquetées.

**REFERENCES**

- [AHU74] Aho A., Hopcroft J., Ullman J., "Design and analysis of computer Algorithms, Addison Wesley, 1974.
- [BCG87] G. Berry, Ph. Couronné, G. Gonthier, "Programmation synchrone des systèmes réactifs en langage ESTEREL", TSI, avril 1987.
- [BK85] J.A. Bergstra, J.W. Klop "Algebra of communicating system with abstraction", TCS 37, 1985, p77-121
- [BKO] J.A. Bergstra, J.W. Klop, E.R. Olderog, "Readiness and failures in the algebra of communicating processes", Report CS-R8609, Centre for Mathematics and Computer Science, Amsterdam.
- [Bou85a] G. Boudol, "Le calcul Meije", Parallélisme, Communication, Synchronisation, édité par J.P. Verjus et G. Roucairo, CNRS, 1985.
- [Bou85b] G. Boudol, "Calcul de processus et vérification", rapport INRIA, RR424, 1985.
- [CPH87] P. Caspi, D. Pilaud, N. Halbwachs, J.A. Plaice, "LUSTRE, a declarative language for programming synchronous systems", 14th ACM Symposium on Principles of Programming Languages, Munich, jan. 1987.
- [CPS86] P. Couronné, J.A. Plaice, J.B. Saint, " Le format portable LUSTRE ESTEREL", non publié, 1986.
- [Del87] Prolog de Delphia, Manuel de référence, 1987.
- [EB87] E.H. Eertink, E. Brinksma, "The implementation of a testderivation algorithm", SEDOS /C2/N82, University of Twente, 6/10/87.

- [Fer87] J. Cl. Fernandez, "ALDEBARAN 1.1., Manuel utilisateur", 1987.
- [Gar87] H.Garavel, "CÆSAR 1.1., User Manual", à paraître 1987.
- [GR87] A.C. Glory, C. Ratel, "Versant, Verseau, Lesar : Manuel utilisateur", nov. 1987, non publié.
- [GS86a] Graf S., Sifakis J., "Readiness Semantics for Regular Processes with Silent Actions", rapport technique César n° 3, Laboratoire de Génie Informatique, Grenoble, nov 86.
- [GS86b] Graf S., Sifakis J., "An expressive logic for a Process Algebra with Silent Actions", rapport technique César n° 4, Laboratoire de Génie Informatique, Grenoble, dec. 86.
- [HBR] Hoare CAR, Brookes SD and Roscoe AW, "A theory of communicating Processes", JACM 31.
- [Hil87] M. Hillerström, "Verification of CCS-processes", AALBORG Universitetscenter, 1987.
- [KS83] Kanellakis P., and Smolka S., "CCS Expressions, Finite State Processes, and three problems of Equivalence". Proceeding ACM Symp. on principles of Distributed Computing, 1983.
- [LMV87] Lecompte V., Madelaine E., Vergamini D., "AUTO, un système de vérification de processus parallèles et communicants", rapport technique INRIA 83, Mars 1987.
- [Lot87] LOTOS , A Formal Description Technique based on the temporal Ordering of Observational Behaviour. International Organization for Standardization , Info. Proc. Sys - OSI-. Draft International Standard 8807-ANSI (USA), Jul 87.
- [Mil80] Milner R "A calculus of communicating systems", LNCS 92, Springer Verlag 1980.

- [Mil83] Milner R, "A calculi for synchrony and asynchrony", TCS 25, 1983, p267-310.
- [Mil85] Milner R, "A complete axiomatisation for observational congruence of finite state behaviours", manuscript, Uni. of Edimburgh, 1985.
- [ML85] "The ML Handbook", Version 6.1., INRIA, July 1985.
- [Par81] Park D. "Concurrency and Automata on infinite sequences", LNCS 104, Theoretical Computer Science, 5 th Gl. Conference, Karlsruhe, March 81.
- [Plo81] Plotkin G.D. "A structural approach to operational semantics", Aarhus University , DAIMI FN-19, Sept. 81.
- [Pnu77] Pnueli A., "The temporal logic of concurrent programs", 19th FOCS, 1977.
- [PT86] Paige R., Tarjan R.E., "Efficient Algorithms based on Partition Refinement", 1986.
- [Qu82] Queille J.P., "Le système CESAR : Description, Spécification et Analyse des Applications Réparties", Thèse de Docteur-ingénieur, INPG, 1982.
- [RRSV87] Richier J.L., Rodriguez C., Sifakis J., Voiron J., " Verification In Xesar of the sliding window protocol", 17th International Workshop on Protocol Specification, Testintg and Verification, 1987.
- [San82] Sanderson, M.T. "Proof techniques for CCS", Ph. D. Thesis, CST-19-82, University of Edimburgh, Nov 1982.
- [Sc83] Schwartz J.P., "QUASAR, une réalisation du système CESAR : Description, Spécification et Analyse des Applications Réparties", Thèse de Docteur-ingénieur, INPG, 1983.



- [SM87] De Simone R., Madelaine E., "ECRINS, un laboratoire de preuves pour les calculs de processus communicants", Actes du Colloque C<sup>3</sup>, 1987.
- [Sor87] Soriano A, "Venus : un outil d'aide à la vérification des systèmes communicants", Thèse de troisième cycle, Université de Grenoble.
- [Tar72] Tarjan R.E. "Depth first search and linear graph algorithms", SIAM J., Computing 1:2 146-160.
- [Ver87] Vergamini D., "Vérification d'automates finis par Equivalences Observationnelles : Le système AUTO, Thèse Université de Nice, 1987.
- [Win83] Winskel G, "Synchronisation tree", Proc. 10th Int. Colloq. Automata Lang & Programming Barcelona (J. Diaz Ed.), 695-711, Lecture Notes in Computer Science, 154, Springer Verlag.

## ANNEXE I

### Présentation du langage LUSTRE

LUSTRE est un langage "data-flow" qui opère sur des suites infinies de valeurs : chaque constante ou variable est égale à la suite des valeurs qu'elle prend pendant l'exécution du programme. L'interprétation synchrone est la suivante : un programme a un comportement cyclique calculant au n-ième cycle la n-ième valeur de chaque variable. Un programme est un ensemble d'équations qui définissent les variables. L'équation " $X = E$ ", où X est une variable et E une expression représentant respectivement les suites  $(x_1, \dots, x_n, \dots)$  et  $(e_1, \dots, e_n, \dots)$ , signifie  $x_n = e_n$  pour tout entier n.

Nous présentons un sous-ensemble de LUSTRE permettant d'illustrer le processus de compilation du langage [CPH87].

Les opérateurs du langage LUSTRE sont les opérateurs arithmétiques, booléens et conditionnels habituels et les opérateurs temporels **pre** et **->**.

L'opérateur **pre** retourne la valeur de la variable au cycle précédent : si E représente la suite  $(e_1, \dots, e_n, \dots)$ , **pre** (E) représente la suite  $(\text{nil}, e_1, \dots, e_n, \dots)$  où nil est une valeur indéfinie correspondant à une variable non initialisée dans un langage impératif.

- L'opérateur **->** permet la définition de valeurs initiales : si E (resp. F) représente la suite  $(e_1, \dots, e_n, \dots)$  (resp.  $(f_1, \dots, f_n, \dots)$ ), **E -> F** représente la suite  $(e_1, f_2, \dots, f_n, \dots)$

### Sémantique de LUSTRE

La sémantique du langage LUSTRE est définie par une fonction de l'ensemble des histoires dans lui-même. Une histoire  $\eta$  est une suite infinie de mémoires. Une mémoire  $\sigma$  est une fonction de l'ensemble des identificateurs

dans l'ensemble des valeurs. La sémantique est décrite par un ensemble de règles :

$\eta \models eqs$  :  $\eta$  étant donnée une histoire  $\eta$ , le programme constitué par l'ensemble d'équations  $eqs$  produit l'histoire  $\eta'$  ;

$eq -\sigma \rightarrow eq'$  si  $X$  est la partie gauche de l'équation  $eq$ , l'évaluation de  $X$  dans l'état  $\sigma$  produit l'équation  $eq'$  ;

$\sigma \models e-v \rightarrow e'$  L'évaluation de l'expression  $e$  à  $v$  dans l'état  $\sigma$  produit l'expression  $e'$ .

Nous donnons ci-dessous en exemple la sémantique des opérateurs  $pre$  et  $\rightarrow$ .

$$\sigma \models e-v \rightarrow e', \sigma \models f-w \rightarrow f'$$

---


$$\sigma \models e \rightarrow f -v \rightarrow f'$$

Cette règle signifie que la valeur courante de l'expression  $e \rightarrow f$  est la valeur courante de  $e$ , et que dans le futur, ce sera celle de  $f$ .

La valeur retournée par l'opérateur  $pre$  est considérée comme un paramètre :

$$\sigma \models e-w \rightarrow e'$$

---


$$\sigma \models pre(e, v) -v \rightarrow pre(e', w)$$

### 2.3. Contrôle dirigé par les données

La structure de contrôle du programme est une boucle infinie. A chaque cycle,

- 1) les valeurs courantes des variables sont calculées,
- 2) le programme est réécrit en un nouveau programme.

Le programme est un automate dont les états sont les différentes formes qu'il peut prendre lorsqu'il est réécrit. Le programme peut être transformé par l'introduction de variables auxiliaires, de telle sorte qu'une équation contienne au plus un opérateur temporel (i.e. **pre** ou **->**). Après cette transformation, un état est caractérisé par un ensemble de *variables d'état* :

- une variable booléenne, appelée "init", indique si l'état est initial,
- à chaque équation contenant un opérateur **pre** est associée une variable dont la valeur est celle retournée par cet opérateur dans l'état courant.

L'automate a une infinité d'états ; il faut le transformer en un automate d'états finis qui est la structure de contrôle. Ceci est réalisé en considérant uniquement les variables booléennes. Les calculs des entiers étiquettent les transitions et les expressions booléennes dépendantes d'entiers sont traitées comme des entrées.

### Exemple

Considérons le programme LUSTRE suivant qui a deux booléens  $b_0$  et  $b_1$  en entrée et qui calcule un entier  $n$  :

```
n = 0 -> if left then pre(n) + 1
         else if right then pre(n) - 1
         else pre(n)
```

```
left = false ->  $b_0$  and not pre( $b_0$ ) and  $b_1$ 
```

```
right = false ->  $b_0$  and not pre( $b_0$ ) and not  $b_1$ 
```

La transformation de ce programme est obtenue en introduisant la variable auxiliaire  $pre\_b_0$ , de sorte qu'une équation contient au plus un opérateur temporel, et en faisant du résultat de l'opérateur **pre** un paramètre, lorsque cet opérateur est appliqué à une expression booléenne.

```
n = 0 -> if left then pre(n) + 1
         else if right then pre(n) - 1
         else pre(n)
```

$\text{left} = \text{false} \rightarrow b_0 \text{ and not pre\_}b_0 \text{ and } b_1$

$\text{right} = \text{false} \rightarrow b_0 \text{ and not pre\_}b_0 \text{ and not } b_1$

$\text{pre\_}b_0 = \text{pre}(b_0, \text{nil})$

Il y a deux variables d'état,  $\text{init}$  et la valeur courante de  $\text{pre\_}b_0$ . L'état initial  $S_0$  est caractérisé par  $\{\text{init} = \text{true}, \text{pre\_}b_0 = \text{nil}\}$ . En appliquant les règles de la sémantique, nous avons dans l'état initial :  $n = 0$ ,  $\text{left} = \text{right} = \text{false}$  et, dans l'état suivant,  $\text{init} = \text{false}$ ,  $\text{pre\_}b_0 = \text{true}$  ou  $\text{false}$  suivant l'entrée  $b_0$ .

Si nous définissons

$S_{10} = \{\text{init} = \text{false}, \text{pre\_}b_0 = \text{true}\}$ ,  $S_{11} = \{\text{init} = \text{false}, \text{pre\_}b_0 = \text{false}\}$

un code possible pour  $S_0$  est

$S_0$ :  $n := 0$  ;  $\text{put}(n)$  ;  $\text{get}(b_0)$  ;  $\text{if } b_0 \text{ then goto } S_{10} \text{ else goto } S_{11} \text{ fi}$  ;

En appliquant les règles de la sémantique à  $S_{10}$  nous obtenons un code possible pour  $S_{10}$  :

$S_{10}$ :  $n := 0$  ;  $\text{put}(n)$  ;  $\text{get}(b_0)$  ;  $\text{if } b_0 \text{ then goto } S_{10} \text{ else goto } S_{11} \text{ fi}$  ;

Dans l'état  $S_{11}$ , où  $\text{pre\_}b_0$  est vrai,

$S_{11}$ :  $\text{get}(b_0)$

$\text{if } b_0 \text{ then } \text{get}(b_1)$  ;

$\text{if } b_1 \text{ then } n := n + 1 \text{ else } n := n - 1 \text{ fi}$  ;

$\text{put}(n)$  ;  $\text{goto } S_{10}$

$\text{else } \text{put}(n)$  ;  $\text{goto } S_{11}$  ;

$\text{fi}$  ;

Tous les états accessibles peuvent être construits de cette manière.

Cette méthode a été introduite la première fois pour la compilation du langage ESTEREL [BCG87] et est utilisée par l'actuelle version du compilateur de LUSTRE.

Nous présentons un exemple d'utilisation du système ALDEBARAN par le compilateur LUSTRE.

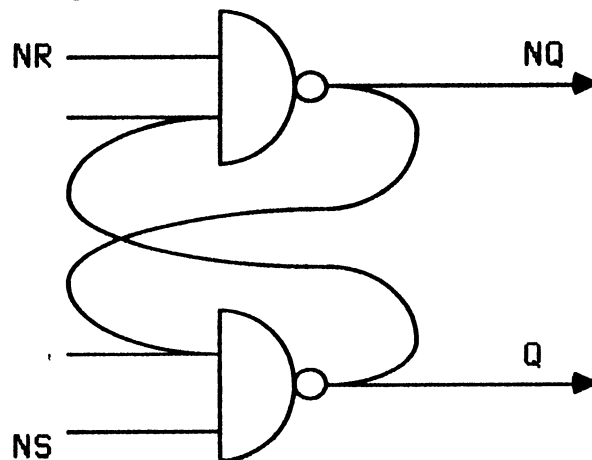
### Exemple bascule RS

La bascule RS comporte deux entrées, NR et NS, et deux sorties Q et NQ.  
 Le comportement attendu de cette bascule est le suivant :  
 Lorsque NR = 0 et NS = 1 alors Q = 0 et NQ = 1,  
 NR = 1 et NS = 0 alors Q = 1 et NQ = 0 ,  
 NR = 1 et NS = 1 alors Q(t) = q(t - 1) et NQ (t) = NQ (t - 1)

Nous présentons une spécification de la bascule RS en LUSTRE :

```
node rs
(R, S : bool) returns (Q, NQ : bool);
let
  Q = true -> not pre (NQ) or pre (S) ;
  NQ = false -> not pre (Q) or pre (R)
tel
```

Une réalisation possible de cette bascule est proposée (catalogue Texas Instrument) dans la figure suivante :



Ce programme a deux entrées R et S et deux sorties Q et NQ, définies chacune par une équation. Le code portable qui lui est associé décrit un automate à 16 états. Une fois réduit, cet automate a quatre états. Nous donnons une description de l'automate réduit :

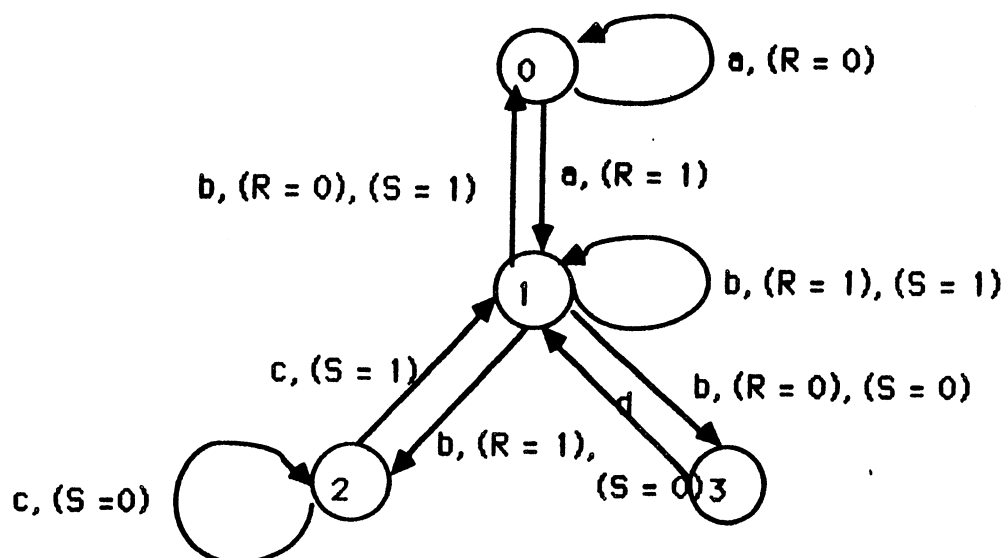
Pour simplifier la présentation, définissons les étiquettes suivantes :

a étiquette l'instruction {NQ := 0 ; output NQ ; Q := 1 ; output Q},

b étiquette l'instruction {NQ := 1 ; output NQ ; Q := 1 ; output Q},

c étiquette l'instruction {NQ := 0 ; output NQ ; Q := 0 ; output Q} et

d étiquette l'instruction {NQ := 1 ; output NQ ; Q := 0 ; output Q}



Les transitions sont étiquetées par les actions définies ci-dessus (i.e. a, b, c ou d) et par le résultat de l'évaluation des tests. Ce comportement est bien le comportement attendu du système, aux états transitoires près.

## ANNEXE II

### Description du Protocole du Bit Aterné en LOTOS

```

specification ALTERNATING_BIT_PROTOCOL [PUT, GET] : noexit behaviour
  hide SDTO, SDT1, RDTO, RDT1, RDTe, RACKO, RACK1, SACKO, SACK1, SACKe in
  (
    (
      TRANSMITTER [PUT, SDTO, SDT1, SACKO, SACK1, SACKe]
      |||
      RECEIVER [GET, RDTO, RDT1, RDTe, RACKO, RACK1]
    )
    |[SDTO, SDT1, RDTO, RDT1, RDTe, RACKO, RACK1, SACKO, SACK1, SACKe]|
    (
      MEDIUM1 [SDTO, SDT1, RDTO, RDT1, RDTe]
      |||
      MEDIUM2 [RACKO, RACK1, SACKO, SACK1, SACKe]
    )
  )

```

where

```

process MEDIUM1 [SDTO, SDT1, RDTO, RDT1, RDTe] : noexit :=
  SDTO;          (* reception d'un message *)
  (
    RDTO;        (* transmission correcte *)
    MEDIUM1 [SDTO, SDT1, RDTO, RDT1, RDTe]
  []
  RDTe;         (* perte avec indication *)
  MEDIUM1 [SDTO, SDT1, RDTO, RDT1, RDTe]
  []
  (hide LOSS in
  LOSS;        (* perte silencieuse *)

```



```

        MEDIUM1 [SDTO, SDT1, RDTO, RDT1, RDTe]
    ))
[]
MEDIUM1 [SDT1, SDTO, RDT1, RDTO, RDTe]
endproc

process MEDIUM2 [RACKO, RACK1, SACKO, SACK1, SACKe] : noexit :=
RACKO;      (* reception d'un acquittement *)
(
SACKO;      (* transmission correcte *)
MEDIUM2 [RACKO, RACK1, SACKO, SACK1, SACKe]
[]
SACKe;      (* perte avec indication *)
MEDIUM2 [RACKO, RACK1, SACKO, SACK1, SACKe]
[]
hide LOSS in
LOSS;      (* perte silencieuse *)
MEDIUM2 [RACKO, RACK1, SACKO, SACK1, SACKe]
))
[]
MEDIUM2 [RACK1, RACKO, SACK1, SACKO, SACKe]
endproc

process TRANSMITTER [PUT, SDTO, SDT1, SACKO, SACK1, SACKe] : noexit :=
PUT;      (* acquisition d'un message *)
TRANSMIT [PUT, SDTO, SDT1, SACKO, SACK1, SACKe]
where
process TRANSMIT [PUT, SDTO, SDT1, SACKO, SACK1, SACKe] : noexit :=
SDTO;      (* emission du message *)
(
SACKO;      (* bit de controle correct *)
TRANSMITTER [PUT, SDT1, SDTO, SACK1, SACKO, SACKe]
[]
SACK1;      (* bit de controle incorrect => reemission *)
TRANSMIT [PUT, SDTO, SDT1, SACKO, SACK1, SACKe]
[]
SACKe;      (* indication de perte => reemission *)
TRANSMIT [PUT, SDTO, SDT1, SACKO, SACK1, SACKe]
[]
hide TIMEOUT in
TIMEOUT;    (* timeout => reemission *)
TRANSMIT [PUT, SDTO, SDT1, SACKO, SACK1, SACKe]
))
endproc

```

endproc

```
process RECEIVER [GET, RDTO, RDT1, RDTe, RACKO, RACK1] : noexit :=
  RDTO;          (* bit de controle correct *)
  GET;          (* livraison du message M *)
  RACKO;        (* envoi d'un acquittement correct *)
  RECEIVER [GET, RDT1, RDTO, RDTe, RACK1, RACKO]

  []
  RDT1;         (* bit de controle incorrect => *)
  RACK1;        (* envoi d'un acquittement incorrect *)
  RECEIVER [GET, RDTO, RDT1, RDTe, RACKO, RACK1]

  []
  RDTe;        (* indication de perte => *)
  RACK1;        (* envoi d'un acquittement incorrect *)
  RECEIVER [GET, RDTO, RDT1, RDTe, RACKO, RACK1]

  []
  (hide TIMEOUT in
  TIMEOUT;     (* timeout => *)
  RACK1;       (* envoi d'un acquittement incorrect *)
  RECEIVER [GET, RDTO, RDT1, RDTe, RACKO, RACK1])
endproc

endspec
```

# ANNEXE III

## Aldébaran

### Manuel de l'utilisateur

Jean-Claude Fernandez  
LGI  
BP53X  
38041 GRENOBLE Cedex  
Tel : 76 51 49 15  
e-mail fernand@imag.imag.fr

## 1 Environnement

Aldébaran est écrit en Langage C et utilise le générateur d'analyseur Yacc.  
Aldébaran est portable sur toute machine UNIX.

## 2 Appel

La syntaxe de la ligne de commande est décrite de la manière suivante :

**aldebaran** *file*<sub>1</sub> ... *file*<sub>n</sub>

où : *file*<sub>i</sub> est un nom de fichier contenant la description d'un système de transitions étiquetées au format Aldébaran et suffixé par ".aut".

Le format Aldébaran comporte le descripteur du système de transitions étiquetées et une liste de triplet :

*format* Aldébaran ::= *descripteur* [*triplet*]<sup>+</sup>

*descripteur* ::= *état\_initial card.trans card.état*

*triplet* ::= *état idf état*

### **3 Liste des commandes**

#### **Commande "quit"**

*Syntaxe quit*

Permet de sortir de Aldébaran.

#### **Commande "gen\_env"**

*Syntaxe gen\_env*

Génère un environnement constitué des systèmes de transitions étiquetées, contenus dans les fichiers paramètres de la ligne de commande. Pour chaque système de transitions étiquetées, contenu dans *file.aut*, sa description sous forme binaire est sauvegardée dans un fichier *file.ste*.

#### **Commande "cre\_env"**

*Syntaxe cre\_env (éditeur)*

Appel de l'éditeur *éditeur*, analyse syntaxique du fichier produit et création de l'environnement.

(Remarque : Commande non implantée).

#### **Commande "pr\_env"**

*Syntaxe pr\_env*

Visualisation du contenu de l'environnement.

#### **Commande "sa\_env"**

*Syntaxe sa\_env*

Sauvegarde de l'environnement courant. Un fichier nommé *environ.des* est créé.

#### **Commande "ch\_env"**

*Syntaxe ch\_env*

Chargement de l'environnement décrit dans le fichier *environ.des*.



### **Commande "pr\_ste"**

*Syntaxe pr\_ste idf*

Visualisation du système de transitions étiquetées désigné par *idf*.

### **Commande "pr\_desc"**

*Syntaxe pr\_desc idf*

Visualisation du descripteur du système de transitions étiquetées désigné par *idf*.

### **Commande "ls\_ste"**

*Syntaxe ls\_ste*

Liste des systèmes de transitions étiquetées de l'environnement courant.

### **Commande "rm\_ste"**

*Syntaxe rm\_ste idf*

Suppression du système de transitions étiquetées de l'environnement courant.

### **Commande "ecr\_ste"**

*Syntaxe ecr\_ste idf*

Sauvegarde sous forme de fichier texte dans le fichier *idf.aut*.

### **Commande "sa\_ste"**

*Syntaxe sa\_ste idf*

Sauvegarde sous forme de fichier binaire dans le fichier *idf.ste*.

### **Commande "ch\_ste"**

*Syntaxe ch\_ste idf*

Chargement d'un système de transitions étiquetées existant dans un fichier *idf.ste*.

## Commande "def\_tau"

*Syntaxe def\_tau idf*

Redéfinition de l'étiquette tau. Par défaut, elle est désignée par i. Cette commande ne peut intervenir qu'avant la création d'un environnement.

## Commande "def\_com"

*Syntaxe def\_com ty\_com oper\_com*

Définition de la relation de communication. *ty\_com* et *oper\_com* sont deux entiers. Le premier entier est le *type de communication* : 1 désigne le *type synchrone* et 0 le *type asynchrone*. Les valeurs possibles du deuxième entier sont 0, 1, 2 ou 3.

*oper\_com* = 0 : Le produit de synchronisation est celui associé à l'algèbre CCS:  
 $a . na = \text{tau}$  et  $a . b = 0$ , pour  $a \neq b$  et  $a \neq nb$  et  $b \neq na$ .

*oper\_com* = 1 : Le produit de synchronisation est  $a . a = a$  et  $a . b = 0$  pour  $a \neq b$ .

*oper\_com* = 2 : Le produit de synchronisation est  $a . a = \text{tau}$  et  $a . b = 0$ , pour  $a \neq b$ .

*oper\_com* = 3 : Un argument supplémentaire *listetriplets* est nécessaire. *listetriplets* est une liste de triplets dont la syntaxe est :

$[(a_1, b_1, c_1), \dots, (a_n, b_n, c_n)]$

Le produit de synchronisation est défini de la manière suivante :

$a_i . b_i = c_i$  pour  $i = 1, n$ .

## Commande "comp"

*Syntaxe comp sem strategie idf exp\_comp ; ;*

L'entier *sem* désigne la relation d'équivalence choisie et l'entier *strategie* précise la stratégie pour composer les systèmes de transitions étiquetées. *idf* désigne le système de transitions étiquetées résultat de la composition. *exp\_comp* est une expression de composition dont la syntaxe est décrite de la manière suivante :

*exp\_comp* := *exp\_comp* & *term\_comp* |  
*term\_comp*

*term\_comp* := *term\_comp* # [ *liste\_idf* ] |  
*term\_comp* \$ [ *liste\_idf* ] |

*term\_fact*

*term\_fact* := *idf* | (*exp\_comp*)

*liste\_idf* := *liste\_idf* , *idf* |

*idf*.

Après l'analyse de l'expression *exp\_comp*, un système de transitions étiquetées est généré en appliquant la stratégie *strategie* et en tenant compte de la relation d'équivalence *sem*.

### Commande "abst"

*Syntaxe abst idf \$ [ liste\_idf ] ;;*

Renommage en *tau* de toutes les étiquettes du système de transitions étiquetées *idf*, appartenant à *liste\_idf*.

### Commande "open\_in\_stream"

*Syntaxe open\_in\_stream idf*

Ouverture du flux d'entrée désigné par *idf*.

### Commande "close\_all"

*Syntaxe close\_all*

Fermeture de tous les flux.

### Commande "system"

*Syntaxe system "chaîne" ;*

Exécution de la commande Unix *chaîne*.

### Commande "help"

*Syntaxe help*

Liste des commandes disponibles.

### Commande "decide\_f"

*Syntaxe decide\_f idf<sub>1</sub> idf<sub>2</sub>*

Procédure de décision pour la congruence forte.

### Commande "ncf"

*Syntaxe ncf idf*

Calcul de la forme normale pour la congruence forte. Le système de tran-



sitions étiquetées résultat est *idf<sub>nf</sub>*.

### Commande "decide\_co"

*Syntaxe decide\_co idf<sub>1</sub> idf<sub>2</sub>*

Procédure de décision pour la congruence observationnelle.

### Commande "nco"

*Syntaxe nco idf*

Calcul de la forme normale pour la congruence observationnelle. Le système de transitions étiquetées résultat est *idf<sub>nco</sub>*.

### Commande "decide\_eo"

*Syntaxe decide\_eo idf<sub>1</sub> idf<sub>2</sub>*

Procédure de décision pour l'équivalence observationnelle.

### Commande "neo"

*Syntaxe neo idf*

Calcul de la forme normale pour l'équivalence observationnelle. Le système de transitions étiquetées résultat est *idf<sub>neo</sub>*.

### Commande "decide\_acl"

*Syntaxe decide\_acl idf<sub>1</sub> idf<sub>2</sub>*

Procédure de décision pour la congruence par acceptation, notée *acl*.  
(Remarque : Commande non implantée).

### Commande "nac1"

*Syntaxe nac1 idf*

Calcul de la forme normale pour la congruence par acceptation, notée *acl*.  
Le système de transitions étiquetées résultat est *idf<sub>ac1</sub>*.

### **Commande "decide\_ac2"**

*Syntaxe decide\_ac2 idf<sub>1</sub> idf<sub>2</sub>*

Procédure de décision pour la congruence par acceptation, notée ac2.  
(Remarque : Commande non implantée).

### **Commande "nac2"**

*Syntaxe nac2 idf*

Calcul de la forme normale pour la congruence par acceptation, notée ac2.  
Le système de transitions étiquetées résultat est idfac2.  
(Remarque : Commande non implantée).

### **Commande "cmp"**

*Syntaxe cmp idf<sub>1</sub> idf<sub>2</sub>*

Test de l'égalité des deux systèmes de transitions étiquetées désignés par idf<sub>1</sub> et idf<sub>2</sub>.

### **Commande "cl\_cf"**

*Syntaxe cl\_cf idf*

Détermination des classes d'équivalence sur l'ensemble des états du système de transitions étiquetées désigné par idf, modulo la congruence forte.

### **Commande "time"**

*Syntaxe time*

Visualisation du temps d'exécution d'une commande.

### **Commande "no\_time"**

*Syntaxe no\_time*

Commande inverse de la précédente.

## 4 Utilisation "silencieuse" d'Aldébaran

### 4.1 Forme normale pour la congruence forte

*min file*

min est un fichier de commande "shell" contenant :

```
FILE1='basename $1 .aut'.aut
cp $FILE1 ..aut
aldebaran ..aut > ..min << .
gen_env
ncf _
pr_ste _nf
quit
.
/bin/grep , ..min
rm ..aut ..ste ..min
```

### 4.2 Forme normale pour la congruence observationnelle

*omin file*

min est un fichier de commande "shell" contenant :

```
FILE1='basename $1 .aut'.aut
cp $FILE1 ..aut
aldebaran ..aut > ..min << .
gen_env
nco _
pr_ste _nco
quit
.
/bin/grep , ..min
rm ..aut ..ste ..min
```

### 4.3 Décision pour la congruence forte

*cmp\_f file1 file2*

min est un fichier de commande "shell" contenant :

```

FILE1='basename $1 .aut'.aut
FILE2='basename $2 .aut'.aut
cp $FILE1 com1.aut
cp $FILE2 com2.aut
aldebaran com1.aut com2.aut > ..com << .
gen_env
decide_f com1 com2
quit
.
rm com1.ste com2.ste com1.aut com2.aut
if '/bin/grep -s non ..com'
then
    echo 0
    rm ..com
    exit 0
else
    echo 1
    rm ..com
    exit 1
fi

```

#### 4.4 Décision pour la congruence observationnelle

*cmp\_co file<sub>1</sub> file<sub>2</sub>*

min est un fichier de commande "shell" contenant :

```

FILE1='basename $1 .aut'.aut
FILE2='basename $2 .aut'.aut
cp $FILE1 com1.aut
cp $FILE2 com2.aut
aldebaran com1.aut com2.aut > ..com << .
gen_env
decide_co com1 com2
quit
.
rm com1.ste com2.ste com1.aut com2.aut
if '/bin/grep -s non ..com'
then
    echo 0
    exit 0
else
    echo 1

```

```
    exit 1
fi
```

## 5 Exemple de session

```
1] aldebaran *.aut
```

```
ALDEBARAN>time
0.4u 0.15s
```

```
ALDEBARAN>gen_env
0.52u 0.36s
```

```
ALDEBARAN>def_com
  choix du type de communication, 0 : asynch., 1 synch
0
  choix de l'operateur de communication : 0, 1, 2 ou 3
0
0.4u 0.15s
```

```
ALDEBARAN>system more exp_comp_abs ;
((start&ts1&ts2&ts3&ts4&ts5)
   #[ng1,ng3,ng2,ng4,ng5,g5,g4,g3,g1,g2])
   #[nb1,nb2,nb3,nb4,nb5]
;;
0.52u 0.37s
```

```
ALDEBARAN>open_in_stream exp_comp_abs
0.4u 0.20s
```

```
ALDEBARAN>comp
preciser la semantique :
    0,1 (forte), 2 (observationnelle), 3 (acc)
2
preciser la strategie :
    0,1 (sans reordonner), 2(en reordonnant)
2
scheduler_abs
30.18u 1.3s
```

```
ALDEBARAN>pr_ste scheduler_abs
```

```
descripteur(scheduler_abs)
  card_trans : 6
  card_etat : 7
  card_act : 5
  t_present : 1
  mode : 0
      (0, i, 6)
      (2, na5, 6)
      (3, na2, 4)
      (4, na3, 5)
      (5, na4, 2)
      (6, na1, 3)
```

0.4u 0.29s

```
ALDEBARAN>system more exp_comp ;
(((start&#s1&#s2&#s3&#s4&#s5) #[ng1,ng2,ng3, ng4, ng5,g1,g2,g3, g4,g5])
&r1&r2&r3&r4&r5) #[nb1,nb2,nb3, nb4,nb5,b1,b2,b3,b4,b5];;
30.18u 1.4s
```

```
ALDEBARAN>close_all
0.4u 0.29s
```

```
ALDEBARAN>open_in_stream exp_comp
30.18u 1.4s
```

```
ALDEBARAN>comp
preciser la semantique :
    0,1 (forte), 2 (observationnelle), 3 (acc)
2
preciser la strategie :
    0,1 (sans reordonner), 2(en reordonnant)
2
scheduler
4.38u 0.39s
```

```
ALDEBARAN>pr_ste scheduler
descripteur(scheduler)
  card_trans : 6
  card_etat : 7
  card_act : 6
  t_present : 1
  mode : 0
      (0, i, 6)
      (2, na5, 6)
```

(3, na2, 4)  
(4, na3, 5)  
(5, na4, 2)  
(6, na1, 3)

30.18u 1.10s

ALDEBARAN>decide\_f scheduler scheduler\_abs  
systemes equivalents modulo la congruence forte  
4.59u 0.42s

ALDEBARAN>quit  
35.5u 3.3s 3:34 18% 5+42k 114+26io Opf+0w

# ANNEXE IV

## Description du Protocole de Stenning en Estelle /R

```

specification stenning;
const
    k = 6;      (* all numbers are modulo k *)
    k_minus_1 = 5;
    M = 2;      (* Capacity of the media *)
    TWS = 2;    (* Transmitter Window Size *)
    RWS = 2;    (* Receiver Window Size *)
    TOE = 5;    (* Transmit Time Out *)

channel data;
    message(val: integer);

module transmitter process(tm: data; mt: data);

body transmission for transmitter;
    var
        (* the transmitter has got (from the user) the messages numbered
           lowest_unacked .. lowest_unacked+number_entered-1 *)
        (* the transmitter has sent (on the line) the messages numbered
           lowest_unacked .. lowest_unacked+number_in_transit-1 *)
        lowest_unacked: 0 .. k_minus_1;
        number_in_transit: 0 .. k_minus_1;
        number_entered_message: 0 .. k_minus_1;
        in_transit: packed array[0..k_minus_1] of boolean;

    (* test if i is in the interval base<= <base+width (mod k) *)
    function in_window(i, base, width: integer): boolean;
    begin
        if (base+width) <= k then

```



```

        in_window := (base <= i) and (i < base+width)
    else
        in_window := (base <= i) or (i < base+width-k)
    end;

(* set to false in_transit[i] for low<=i<=high (mod k) *)
(* the interval low..high (mod k) is not empty *)
procedure cancel_timer(low, high: integer);
    var i: integer;
    begin
        if high < low then high := high + k;
        for i := low to high do in_transit[i mod k] := false;
    end;

initialize
    var i: 0..k_minus_1;
    begin
        number_in_transit := 0;
        number_entered_message := 0;
        lowest_unacked := 0;
        for i := 0 to k_minus_1 do in_transit[i] := false;
    end;

trans (* transmission of a new message *)
    provided (number_in_transit < TWS) and
        (number_in_transit >= number_entered_message)
    delay(1,*) begin
        {: mess_in } output tm.message(
            (lowest_unacked+number_in_transit) mod k);
        in_transit[(lowest_unacked+number_in_transit) mod k] := true;
        number_in_transit := (number_in_transit+1) mod k;
        number_entered_message := (number_entered_message+1) mod k;
    end;

trans (* retransmission of a message *)
    provided (number_in_transit < TWS) and
        (number_in_transit < number_entered_message)
    delay(1,*) begin
        output tm.message((lowest_unacked+number_in_transit) mod k);
        in_transit[(lowest_unacked+number_in_transit) mod k] := true;
        number_in_transit := (number_in_transit+1) mod k;
    end;

trans (* time out on a message *)

```

```

any j: 0..k_minus_1 do provided in_transit[j] delay(TOE)
begin
    cancel_timer(j, (lowest_unacked+number_in_transit-1+k) mod k);
    number_in_transit := (j - lowest_unacked +k) mod k;
end;

trans (* acknowledgement *)
when mt.message(j) begin
    if in_window(j, lowest_unacked, number_in_transit) then begin
        cancel_timer(lowest_unacked, j);
        number_entered_message := (number_entered_message -
            (j + 1 - lowest_unacked) + k) mod k;
        number_in_transit := (number_in_transit -
            (j + 1 - lowest_unacked) + k) mod k;
        lowest_unacked := (j+1) mod k
    end end;
end;

module receiver process(mr: data; rm: data);

body reception for receiver;
(* test if i is in the interval base<= <base+width (mod k) *)
function in_window(i, base, width: integer): boolean;
begin
    if (base+width) <= k then
        in_window := (base <= i) and (i < base+width)
    else
        in_window := (base <= i) or (i < base+width-k)
    end;
end;

state: (wait, deliver);

var
    next_required: 0.. k_minus_1; (* first message not received *)
    received: packed array[0..k_minus_1] of boolean;

initialize to wait
var i: integer;
begin
    for i:=0 to k_minus_1 do received[i]:= false;
    next_required:= 0;
end;

trans

```

```

    from wait when mr.message(i)
      provided in_window(i, next_required, RWS)
        and not received[i]
      to deliver
        begin
          received[i] := true;
        end;
      provided otherwise (* the message is out of sequence *)
      to wait
        begin
          output rm.message((next_required - 1 + k) mod k)
        end;
  trans {: mess_out } (* deliver to the user *)
    from deliver provided received[next_required] to deliver
    begin
      received[next_required] := false;
      next_required := (next_required+1) mod k;
    end;
  trans (* end of deliver, send an acknowledge *)
    from deliver provided not received[next_required] to wait
    begin
      output rm.message((next_required - 1 + k) mod k)
    end;
end;

module medium process(min, mout: data; param loss: boolean; dup: boolean);
body line for medium;
state: (wait, reset);
var mess: packed array[1..M] of -1..k_minus_1;
procedure shift;
  var i: integer;
  begin
    for i:= 2 to M do mess[i-1]:= mess[i]
  end;
initialize to wait
  var i: integer;
  begin
    for i:=1 to M do mess[i]:= -1;
  end;

trans (* receive a message *)
  from wait to wait when min.message(i) begin shift; mess[M]:= i end;
trans {: loss} (* receive a message and lose it *)
  provided loss from wait to wait when min.message(i)

```

```

begin shift; mess[M]:= -1 end;

trans (* try to send any message *)
  from wait to reset any j: 1..M do provided mess[j]<>-1 delay(1)
    begin output mout.message(mess[j]); mess[j]:= -1 end;
trans {: dup} (* try to send any message, with duplication *)
  provided dup from wait to reset any j: 1..M do
    provided mess[j]<>-1 delay(1)
      begin output mout.message(mess[j]) end;
trans
  from reset to wait begin end;
end;

var t: transmitter;
    r: receiver;
    t_to_r, r_to_t: medium;
initialize begin
  init t with transmission;
  init r with reception;
  init t_to_r with line(true, false);
  init r_to_t with line(true, false);
  connect t.tm to t_to_r.min;
  connect t.mt to r_to_t.mout;
  connect r.rm to r_to_t.min;
  connect r.mr to t_to_r.mout;
end;
end.

```



**TABLE DES MATIERES**

<b>Résumé</b>	<b>1</b>
<b>Introduction</b>	<b>3</b>
<b>Chapitre I Systèmes de transitions étiquetées</b>	<b>9</b>
1 Langage des processus réguliers	11
1.1 Syntaxe et sémantique opérationnelle du langage des processus réguliers	12
1.2 Relations de bisimulations	16
1.3 Relations d'équivalence sur <b>Trans</b>	20
1.4 Congruence forte	22
1.5 Congruence observationnelle	24
1.6 Equivalence observationnelle	28
1.7 Congruence par acceptation	29
1.8 Opérateur d'abstraction	34
2 Opérations de communication	36
2.1 Définition d'un opérateur de composition	37
2.2 Congruence	45
3 Conclusion	48
<b>Chapitre II : Transformations sur les systèmes de transitions</b>	<b>49</b>
1 Transformation globale	50
1.1 Présentation du problème	51
1.2 Existence et unicité de la solution	55
1.3 Solution 1 : un algorithme en $O(m n)$	56
1.4 Solution 2 : un algorithme en $O(m \log n)$	70
1.5 Applications	91
1.6 Discussion	94
2 Transformations locales	95
2.1 Représentation de la relation de transitions étiquetées	96
2.2 Transformations de la relation de transitions étiquetées	97
2.3 Discussion	105

3 Réduction de la composition	106
3.1 Graphe de communication	113
3.2 Définition de la stratégie comp1	115
3.3 Définition de la stratégie comp2	116
3.4 Exemple	119
3.5 Réalisation	123
3.6 Discussion	128
4 Conclusion	129
<b>Chapitre III : Le système ALDEBARAN</b>	<b>131</b>
1 Objectifs et contraintes	132
2 Description générale	134
3 Réalisation	135
Architecture du système ALDEBARAN	135
4 Exemples d'utilisation	145
4.1. Le Scheduler	145
4.2 Interface avec LUSTRE	147
4.3 Interface avec CÆSAR	151
4.4 Bilan et évaluation	155
5 Prolongements	159
<b>Conclusion :</b>	<b>161</b>
<b>Références</b>	<b>163</b>
<b>Annexe 1 : Présentation de LUSTRE</b>	<b>167</b>
<b>Annexe II : Description du Protocole du Bit Alterné en LOTOS</b>	<b>173</b>
<b>Annexe III : ALDEBARAN : Manuel de l'utilisateur</b>	<b>177</b>
<b>Annexe IV : Description du Protocole de Stenning</b>	<b>189</b>
<b>Table des matières</b>	<b>195</b>

AUTORISATION DE SOUTENANCE

DOCTORAT 3ème CYCLE, DOCTORAT-INGENIEUR, DOCTORAT USTMG

Vu les dispositions de l'Arrêté du 16 avril 1974,

Vu les dispositions de l'Arrêté du 5 juillet 1984,

Vu les rapports de M... Gérard Boudel, Directeur de Recherche

M. Laurent Trilling, Professeur.....

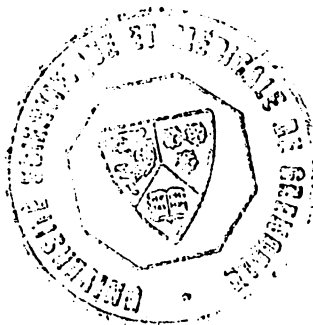
M. FERNANDEZ Jean- Claude..... est autorisé

à présenter une thèse en vue de l'obtention du DOCTORAT de.....

.. GRENOBLE.. 1... Mention Informatique.....

Grenoble, le.....

Le Président de l'Université Scientifique  
Technologique et Médicale



J. J. PAYAN



